

# สำนักหอสมุดกลาง พระจอมเกล้าลาดกระบัง

การพัฒนาตัวควบคุมแบบป้อนกลับในวงจรอินเวอร์เตอร์ที่ดับเบิลยูเอ็มสำหรับ  
แหล่งจ่ายไฟฟ้าแบบต่อเนื่องเฟสเดียว

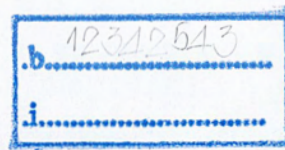
Development of a Feedback Controller of a Single Phase PWM Inverter for UPS



T117567



เลขหมู่.....  
เลขทะเบียน...117567  
วัน,เดือน,ปี...- 5 ต.ค. 2554'



ปฏิญานี้เป็นส่วนหนึ่งของการศึกษาตามหลักสูตรปริญญาวิศวกรรมศาสตรบัณฑิต  
สาขาวิชาวิศวกรรมไฟฟ้า คณะวิศวกรรมศาสตร์  
สถาบันเทคโนโลยีพระจอมเกล้าเจ้าคุณทหารลาดกระบัง  
ปีการศึกษา 2553

เอกสารนี้เป็นเอกสารที่สงวนไว้สำหรับการใช้งานเพื่อการศึกษาเท่านั้น ไม่อนุญาตให้นำไปใช้ประโยชน์ด้านการค้า  
ไม่ว่ากรณีใดๆ ทั้งสิ้น อีกทั้งห้ามมิให้ตัดแปลงเนื้อหา และต้องอ้างอิงถึงเจ้าของเอกสารทุกครั้งที่มีการนำไปใช้

ปีการศึกษา 2553

การพัฒนาตัวควบคุมแบบป้อนกลับในวงจรอินเวอร์เตอร์ที่ดับเบิลยูเอ็มสำหรับแหล่งจ่าย  
ไฟฟ้าแบบต่อเนื่องเฟสเดียว

Development of a Feedback Controller of a Single Phase PWM Inverter for UPS



ผศ.ดร. สมยศ เกียรติวนิชวิไล

อาจารย์ที่ปรึกษาร่วม

อ.วรกัลป์ ลี้มเจริญ

เอกสารนี้เป็นเอกสารที่สงวนไว้สำหรับการใช้งานเพื่อการศึกษาเท่านั้น ไม่อนุญาตให้นำไปใช้ประโยชน์ด้านการค้า  
ไม่ว่ากรณีใดๆ ทั้งสิ้น อีกทั้งห้ามมิให้ตัดแปลงเนื้อหา และต้องอ้างอิงถึงเจ้าของเอกสารทุกครั้งที่มีการนำไปใช้

ปริญญาโทปีการศึกษา 2553

ภาควิชาวิศวกรรมไฟฟ้า

คณะวิศวกรรมศาสตร์ สถาบันเทคโนโลยีพระจอมเกล้าเจ้าคุณทหารลาดกระบัง

เรื่อง การพัฒนาตัวควบคุมแบบป้อนกลับในวงจรอินเวอร์เตอร์พีดับเบิลยูเอ็มสำหรับ  
แหล่งจ่ายไฟฟ้าแบบต่อเนื่องเฟสเดียว

ผู้จัดทำ



1. นาย อธิปตย์ จันทร์ดี
2. นาย อภินันท์ จตุพรสมบัติ
3. นาย อานนท์ สันตชนะสุวรรณ

.....อาจารย์ที่ปรึกษา  
(ผู้ช่วยศาสตราจารย์ ดร. สมยศ เกียรติวนิชวิไล)

.....อาจารย์ที่ปรึกษาร่วม  
(อ.วรกุลป์ ลิ้มเจริญ)

เอกสารนี้เป็นเอกสารที่สงวนไว้สำหรับการใช้งานเพื่อการศึกษาเท่านั้น ไม่อนุญาตให้นำไปใช้ประโยชน์ด้านการค้า  
ไม่ว่ากรณีใดๆ ทั้งสิ้น อีกทั้งห้ามมิให้คัดลอกเนื้อหา และต้องอ้างอิงถึงเจ้าของเอกสารทุกครั้งที่มีการนำไปใช้

การพัฒนาตัวควบคุมแบบป้อนกลับในวงจรอินเวอร์เตอร์ฟีดแบ็คเบิลยูเอ็มสำหรับ  
แหล่งจ่ายไฟฟ้าแบบต่อเนื่องเฟสเดียว

นาย อธิปตย์ จันทร์ดี  
นาย อภินันท์ จตุพรสมบัติ  
นาย อานนท์ สันตชนะสุวรรณ  
ผศ.ดร.สมยศ เกียรติวนิชวิไล อาจารย์ที่ปรึกษา  
อ.วรกัลป์ ลี้มเจริญ อาจารย์ที่ปรึกษาร่วม  
ปีการศึกษา 2553

บทคัดย่อ

โครงการนี้นำเสนอผลการศึกษาการออกแบบระบบควบคุมเพื่อปรับปรุงคุณภาพของรูปคลื่นไฟฟ้าและระดับแรงดันไฟฟ้าของแหล่งจ่ายไฟฟ้าสำรองหรือ UPS (Uninterruptible Power Supply) และศึกษาโมเดลทางพลศาสตร์การควบคุมของแหล่งจ่ายไฟฟ้า ซึ่งจะถูกนำเสนอในโครงการนี้ โดยได้ทำการเปรียบเทียบระบบเปิดกับระบบที่มีการป้อนกลับโดยใช้วิธีการควบคุมระบบแบบพีไอ (Proportional and Integral controller) แบบดิจิตอลเพื่อการควบคุมแรงดันเอาต์พุทของระบบโดยการปรับเปลี่ยนค่าดัชนีการมอดูเลต ทำให้สามารถรักษาระดับแรงดันไฟฟ้าให้คงที่และมีคุณภาพรูปคลื่นที่เหมาะสม แม้ว่าภาระทางไฟฟ้าจะมีการเปลี่ยนแปลงไป

# Development of a Feedback Controller of a Single Phase PWM Inverter for UPS

Atip Jundee

Apinun Jatupornsombatt

Arnon Santasanasuwan

Asst.Prof.Dr.Somyot Kaitwanidvilai, Advisor

Worrakan Limcharoen, Co-Advisor

2010

## ABSTRACT

This Project presents the study of controller design for improving both the waveform quality and the voltage regulation of uninterruptible power supply (UPS). The results which are the dynamic model and control of UPS are studied and illustrated in this thesis. Digital PI controller is applied to control the output voltage by adjusting the modulation index, and the results is compared with the responses from the open loop system. By the proposed technique, the waveform quality and output voltage regulation are improved even the system load is changed.

Keywords: Uninterruptible Power Supply (UPS), PI Control, Load Changing.

## กิตติกรรมประกาศ

วิทยานิพนธ์ฉบับนี้คงไม่อาจเสร็จสิ้นได้ด้วยดีหากไม่ได้รับความช่วยเหลือ และร่วมมือจากหลายๆฝ่ายด้วยกัน บุคคลแรกที่ต้องกล่าวถึงเพราะเป็นส่วนสำคัญที่ทำให้วิทยานิพนธ์นี้เสร็จลงได้คือ ผศ.ดร. สมยศ เกียรติวนิชวิไล อาจารย์ที่ปรึกษาปริญญาโทและอาจารย์วรากรณ์ ลัมเจริญ อาจารย์ที่ปรึกษาพร้อม ที่ได้ให้คำแนะนำ ข้อคิดเห็น ให้ความกรุณาเอื้อเฟื้อสถานที่ อุปกรณ์การทดลอง และความช่วยเหลือแต่คณะผู้จัดทำ

นอกจากนั้นผู้จัดทำต้องขอขอบคุณ คุณบุญมี เจ้าหน้าที่ห้องปฏิบัติการที่ให้เบิกใช้เครื่องมือ ตลอดจนเจ้าหน้าที่ห้องธุรการที่ให้คำแนะนำเกี่ยวกับการเบิกใบเสร็จของโครงการและผู้จัดทำต้องขอบคุณพี่ๆและเพื่อนร่วมห้องปฏิบัติการทุกท่าน ที่คอยเอาใจใส่คอยถามไถ่ตลอดเวลา

สุดท้ายนี้ผู้จัดทำขอขอบพระคุณ บิดา มารดาของคณะผู้จัดทำที่ได้ให้การสนับสนุนให้โอกาสผู้จัดทำได้เล่าเรียนจนถึงทุกวันนี้และเป็นกำลังใจให้แก่ผู้จัดทำตลอดมา จนทำให้โครงการวิจัยและปริญญาโทฉบับนี้เสร็จสมบูรณ์ จึงขอขอบพระคุณไว้ ณ โอกาสนี้ด้วย

อธิปตย์ จันท์ดี  
อภิรักษ์ จตุพรสมบัติ  
อานนท์ สันทนะสุวรรณ

## สารบัญ

หน้าบทคัดย่อ .....	I
ABSTRACT .....	II
กิตติกรรมประกาศ .....	III
สารบัญ .....	IV
สารบัญภาพ.....	VI
สารบัญตาราง .....	VII
บทที่ 1 บทนำ.....	1
1.1 ความสำคัญและที่มาของปัญหา.....	1
1.2 วัตถุประสงค์ของโครงการ.....	2
1.3 ขอบเขตและข้อกำหนดของโครงการ.....	2
1.4 วิธีการที่ใช้ในโครงการ.....	2
1.5 แผนการดำเนินโครงการ .....	3
1.6 ประโยชน์ที่ได้รับจากการวิจัย .....	4
1.7 การจัดโครงสร้างของเนื้อหาภายในปฏิญานិพนธ์.....	4
บทที่ 2 ทฤษฎีที่เกี่ยวข้อง.....	5
2.1 ลักษณะการทำงานและชนิดของเครื่องสำรองไฟฟ้า.....	5
2.1.1 เครื่องสำรองไฟฟ้าในโหมดออนไลน์ (On Line mode).....	5
2.1.2 ยูพีเอสที่ทำงานในโหมดออฟไลน์ (Off Line mode) .....	5
2.1.3 ยูพีเอสที่ทำงานในโหมดออนไลน์จริง (True Online UPS) .....	6
2.2 ส่วนประกอบของเครื่องจ่ายไฟฟ้าสำรองแบบออฟไลน์.....	7
2.2.1 ฟูลบริดจ์อินเวอร์เตอร์ 1 เฟส.....	7
2.2.2 แบตเตอรี่.....	7
2.2.3 อุปกรณ์สวิตช์ (MOSFET) .....	8
2.2.4 การสวิตช์แรงดันแบบ (SPWM) .....	13
2.2.5 การหน่วงเวลา (Dead Time) .....	16
2.2.6 ตัวกรองความถี่สูง (High Frequency Filter).....	17
2.2.7 หม้อแปลงเพิ่มระดับแรงดัน.....	19
2.2.8 รีเลย์.....	20
2.3 ความสัมพันธ์ระหว่างฮาร์มอนิกกับดัชนีการมอดูเลต.....	21
2.4 การควบคุมแบบพีไอ (Proportional-Integral Controller).....	23

บทที่ 3 การออกแบบและการสร้างเครื่องสำรองไฟฟ้า.....	26
3.1 การออกแบบวงจรฟูลบริดจ์อินเวอร์เตอร์ 1 เฟส.....	26
3.2 การออกแบบวงจรหน่วงเวลา (Dead Time) .....	27
3.3 การออกแบบวงจรขับเคลื่อน (Gate Drive).....	27
3.4 การเลือกใช้หม้อแปลง.....	28
3.5 การเลือกใช้แบตเตอรี่.....	29
3.6 การเลือกใช้อุปกรณ์รีเลย์.....	30
3.7 การออกแบบตัวกรองความถี่ต่ำผ่าน (Low pass filter).....	30
3.8 การออกแบบตัวควบคุมแรงดันไฟฟ้าและวงจรตรวจจับ .....	31
บทที่ 4 การจำลองด้วยโปรแกรมคอมพิวเตอร์และผลการทดลองจริง.....	32
4.1 การจำลองอินเวอร์เตอร์ด้วยโปรแกรม MATLAB Simulink.....	32
4.2 ผลการจำลอง.....	33
4.2.1 จำลองการจ่ายโหลดขณะไม่มีตัวควบคุม .....	33
4.2.2 จำลองการจ่ายโหลดขณะมีตัวควบคุม.....	34
4.3 สรุปผลการจำลอง .....	36
4.4 ผลการทดลอง.....	37
4.4.1 รูปคลื่นสัญญาณเอสพีดับเบิลยูเอ็ม .....	38
4.4.2 ผลการวัดรูปคลื่นในวงจรหน่วงเวลาและวงจรขับเคลื่อน.....	39
4.4.3 รูปคลื่นเอาท์พุทแรงดันและกระแสก่อนเข้าวงจรฟิลเตอร์.....	41
4.4.4 รูปคลื่นเอาท์พุทแรงดันและกระแสหลังจากวงจรถ่ายฟิลเตอร์.....	42
4.4.5 รูปคลื่นเอาท์พุทแรงดันและกระแสหลังผ่านหม้อแปลง.....	43
4.4.6 สเปกตรัมและผลรวมความผิดพลาดของรูปคลื่นแรงดัน และกระแสหลังเข้าวงจรฟิลเตอร์ .....	44
4.4.7 สเปกตรัมและผลรวมความผิดพลาดของรูปคลื่นแรงดันและ กระแสหลังผ่านหม้อแปลง.....	45
4.4.8 รูปคลื่นขณะทำงานเปลี่ยนโหมดระหว่างการไฟฟ้ากับแรงดัน จากยูทีเอส .....	47
4.4.9 รูปคลื่นแรงดันและกระแสขณะไม่มีการควบคุม.....	48
4.4.10 รูปคลื่นแรงดันและกระแสขณะมีการควบคุม.....	53
4.4.11 รูปถ่ายวงจรที่ออกแบบ .....	56
4.4.12 สรุปผลการทดลอง .....	62
บทที่ 5 สรุปผลและเสนอแนวทางในการพัฒนา .....	63
5.1 สรุปผลของโครงการ.....	63
5.2 ข้อเสนอแนะ .....	63

5.3 แนวทางในการพัฒนา.....	63
ภาคผนวก.....	64
ภาคผนวก ก เครื่องสำรองไฟฟ้าที่สร้างขึ้นในโครงการนี้.....	65
ภาคผนวก ข ข้อมูลอุปกรณ์ที่ใช้ในการทดลอง.....	67
บรรณานุกรม.....	68
ประวัติผู้เขียน.....	69



## สารบัญญภาพ

ภาพที่	หน้า
2.1 ลักษณะการทำงานของยูพีเอสโหมตออนไลน์.....	5
2.2 ลักษณะการทำงานของยูพีเอสโหมตออฟไลน์.....	6
2.3 ลักษณะการทำงานของยูพีเอสโหมตทรูออนไลน์.....	7
2.4 แสดงโครงสร้างของมอสเฟตแบบ N และ P ชนิดดีพลีชัน .....	9
2.5 แสดงโครงสร้างของมอสเฟตแบบ N และ P ชนิดเอนฮานซ์เมนต์.....	10
2.6 แสดงกราฟคุณลักษณะในการถ่ายโอนของ อีมอสเฟต แบบแชลแนล N และคุณลักษณะเอ๊าท์พุท ของอีมอสเฟต แบบแชลแนล .....	11
2.7 แสดงรูปคลื่นแรงดันในการสวิตช์ของแรงดันเกท.....	12
2.8 วงจรการควบคุมการสวิตช์แบบเอสพีดับเบิลยูเอ็มของอินเวอร์เตอร์ 1 เฟส.....	13
2.9 อินเวอร์เตอร์เฟสเดียวแบบฟูลบริดจ์ .....	13
2.10 การสวิตช์แรงดันแบบไปโพลาร์.....	15
2.11 ชุดวงจรเดคท์ใหม่.....	16
2.12 สัญญาณที่ได้จากไมโครคอนโทรลเลอร์สำหรับขับมอสเฟต 2 ชุด .....	17
2.13 การตอบสนองความถี่ของวงจรฟิลเตอร์ชนิดต่างๆ .....	18
2.14 วงจรกรองความถี่สูง .....	18
2.15 กราฟผลตอบสนองทางความถี่ของวงจรกรองความถี่สูง.....	19
2.16 คอนแทกเตอร์ของรีเลย์.....	21
2.17 โครงสร้างการควบคุมระบบแบบพีไอ.....	24
2.18 การควบคุมแรงดันด้านออกของอินเวอร์เตอร์ .....	25
3.1 วงจรรวมของแหล่งจ่ายไฟฟ้าแบบต่อเนื่องเฟสเดียว .....	26
3.2 บล็อกไดอะแกรมการทำงานของอินเวอร์เตอร์.....	26
3.3 วงจรหน่วงเวลาที่ใช้ในโครงการ.....	27
3.4 วงจรขั้วเกิดของ IR2110 .....	28
4.1 การจำลองอินเวอร์เตอร์โดยใช้หม้อแปลงเพิ่มระดับแรงดัน.....	32
4.2 กราฟดัชนีการมอดูเลตและกราฟความผิดพลาดขณะไม่มีการควบคุม .....	33
4.3 กราฟแรงดันเอ๊าท์พุทขณะไม่มีการควบคุม .....	33
4.4 กราฟกระแสที่วงจรกรองความถี่สูงและกราฟกระแสที่หม้อแปลงขณะไม่มีการ ควบคุม .....	34
4.5 กราฟดัชนีการมอดูเลตและกราฟความผิดพลาดขณะมีการควบคุมพีไอ .....	34
4.6 กราฟแรงดันที่หม้อแปลงขณะมีการควบคุมพีไอ .....	35

## VII

เอกสารนี้เป็นเอกสารที่สงวนไว้สำหรับการใช้งานเพื่อการศึกษาเท่านั้น ไม่อนุญาตให้นำไปใช้ประโยชน์ด้านการค้า  
ไม่ว่ากรณีใดๆ ทั้งสิ้น อีกทั้งห้ามมิให้ตัดแปลงเนื้อหา และต้องอ้างอิงถึงเจ้าของเอกสารทุกครั้งที่มีการนำไปใช้

4.7 กราฟกระแสที่วงจรองความถี่สูงและกราฟกระแสที่หม้อแปลงขณะมี การควบคุมพีไอ .....	35
4.8 กราฟแสดงการเปรียบเทียบการควบคุมแบบพี และการควบคุมแบบพีไอ36	
4.9 วงจรแหล่งจ่ายไฟฟ้าแบบต่อเนื่องในโครงการงาน .....	37
4.10 สัญญาณเอสพีดับเบิลยูเอ็ม .....	38
4.11 สัญญาณที่ออกจากdead time (ขอบขาขึ้น).....	39
4.12 สัญญาณที่ออกจาก dead time (ขอบขาลง) .....	39
4.13 สัญญาณวงจรขั้วเกิด.....	40
4.14 รูปคลื่นเอาท์พุทแรงดันก่อนเข้าวงจรฟิลเตอร์ .....	41
4.15 รูปคลื่นเอาท์พุทกระแสก่อนเข้าวงจรฟิลเตอร์.....	41
4.16 รูปคลื่นเอาท์พุทแรงดันหลังออกจากวงจรฟิลเตอร์ .....	42
4.17 รูปคลื่นเอาท์พุทกระแสหลังออกจากวงจรฟิลเตอร์ .....	42
4.18 รูปคลื่นเอาท์พุทแรงดันหลังผ่านหม้อแปลง .....	43
4.19 สเปกตรัมของรูปคลื่นแรงดันหลังเข้าวงจรฟิลเตอร์.....	44
4.20 สเปกตรัมของรูปคลื่นกระแสหลังเข้าวงจรฟิลเตอร์ .....	44
4.21 สเปกตรัมของรูปคลื่นแรงดันหลังผ่านหม้อแปลง.....	45
4.22 สเปกตรัมของรูปคลื่นกระแสหลังผ่านหม้อแปลง .....	46
4.23 รูปคลื่นขณะทำงานเปลี่ยนโหมตระหว่างการไฟฟ้ากับแรงดันจากยูทีเอส ขณะไม่มีภาระ.....	47
4.24 รูปคลื่นขณะทำงานเปลี่ยนโหมตระหว่างการไฟฟ้ากับแรงดันจากยูทีเอสขณะ รับภาระ 25 W .....	48
4.25 รูปคลื่นแรงดันขณะจ่ายภาระที่ 25 W.....	48
4.26 สัญญาณกระแสขณะจ่ายภาระที่ 25 W.....	49
4.27 สัญญาณแรงดันขณะจ่ายภาระที่ 40 W.....	49
4.28 สัญญาณกระแสขณะจ่ายภาระที่ 40 W.....	50
4.29 สัญญาณแรงดันขณะจ่ายภาระที่ 60 W.....	50
4.30 สัญญาณกระแสขณะจ่ายภาระที่ 60 W.....	51
4.31 รูปคลื่นแรงดันและกระแส ขณะจ่ายภาระที่ 25 W .....	51
4.32 รูปคลื่นแรงดันและกระแส ขณะจ่ายภาระที่ 40 W .....	52
4.33 รูปคลื่นแรงดันและกระแส ขณะจ่ายภาระที่ 60 W .....	52
4.34 รูปคลื่นแรงดันขณะมีการควบคุมที่ภาระไฟฟ้า 25 W .....	53
4.35 รูปคลื่นกระแสขณะมีการควบคุมที่ภาระไฟฟ้า 25 W.....	53
4.36 รูปคลื่นแรงดันและกระแส ขณะมีการควบคุมที่ภาระไฟฟ้า 25 W .....	54

## VIII

เอกสารนี้เป็นเอกสารที่สงวนไว้สำหรับการใช้งานเพื่อการศึกษาเท่านั้น ไม่อนุญาตให้นำไปใช้ประโยชน์ด้านการค้า  
ไม่ว่ากรณีใดๆ ทั้งสิ้น อีกทั้งห้ามมิให้ตัดแปลงเนื้อหา และต้องอ้างอิงถึงเจ้าของเอกสารทุกครั้งที่มีการนำไปใช้

4.37 กราฟสเปกตรัมแรงดันขณะมีการควบคุมที่ภาระไฟฟ้า 25 W.....	54
4.38 รูปคลื่นสเปกตรัมกระแสขณะมีการควบคุมที่ภาระไฟฟ้า 25 W .....	55
4.39 แหล่งจ่ายจากแบตเตอรี่ 36 V .....	56
4.40 วงจรสวิตช์แยกฝั่งควบคุมและฝั่งกำลังหลัก .....	56
4.41 วงจรไฟเลี้ยง.....	57
4.42 วงจรไมโครคอนโทรลเลอร์ ( สร้าง SPWM ).....	57
4.43 วงจรหน่วงเวลา.....	58
4.44 วงจรขับเคลื่อน.....	58
4.45 วงจรฟูลบริดจ์อินเวอร์เตอร์.....	59
4.46 วงจรกรองความถี่สูง .....	59
4.47 หม้อแปลงเพิ่มแรงดันไฟฟ้า .....	60
4.48 สวิตช์เปิดปิดการเชื่อมต่อกับภาระทางไฟฟ้า.....	60
4.49 รีเลย์ที่เชื่อมต่อกับภาระทางไฟฟ้าระหว่างไฟฟู้ทเอสกับไฟจากการไฟฟ้า .....	61
4.50 ภาระทางไฟฟ้า .....	61
4.51 รูปวงจรรวมของโครงงาน.....	62



## สารบัญตาราง

ตารางที่	หน้า
2.2 ความสัมพันธ์ระหว่างฮาร์มอนิกกับอัตราการมอดูเลตด้านแอมพลิจูด .....	23
4.1 ตารางเปรียบเทียบการควบคุมแบบพีและการควบคุมแบบพีไอ .....	36
4.2 ตารางแสดงค่าแรงดันไฟฟ้า กระแสไฟฟ้า ค่าความผิดเพี้ยนทาง กระแสไฟฟ้าและค่า ความผิดเพี้ยนของแรงดันไฟฟ้าขณะก่อนผ่านและหลังผ่านหม้อแปลง .....	46
4.3 ตารางแสดงค่าแรงดันไฟฟ้า ค่าความผิดเพี้ยนทางกระแสไฟฟ้าและแรงดันไฟฟ้าขณะก่อน ผ่านและหลังผ่านตัวกรองความถี่สูง .....	47



# บทที่ 1

## บทนำ

### 1.1 ความสำคัญและที่มาของปัญหา

แหล่งจ่ายไฟฟ้าสำรองหรือยูพีเอส (UPS) เป็นอุปกรณ์ชนิดแหล่งจ่ายกำลังงานไฟฟ้าประเภทหนึ่งที่จะช่วยให้อุปกรณ์ไฟฟ้าสามารถมีกำลังงานไฟฟ้าใช้และทำงานได้อย่างต่อเนื่อง แม้ว่าไฟฟ้าจากระบบการไฟฟ้าจะขัดข้องก็ตาม ซึ่งได้มีการออกแบบใช้งานมาเป็นเวลานานแล้วในอดีตการใช้งานยูพีเอสจะใช้เป็นอุปกรณ์เสริมพิเศษ แก้ไขคุณภาพกำลังไฟฟ้า (Power Quality) โดยมีจะมีการใช้เฉพาะงานที่จำเป็น เช่น ในระบบเครื่องมินิคอมพิวเตอร์ เครื่องมือแพทย์ เครื่องมือวัดเพื่อทำงานเก็บค่าการวัดที่ใช้เวลาในการเก็บนาน เป็นต้น และยังไม่เป็นที่รู้จักแพร่หลายมากนักเนื่องจากมีราคาสูง แต่ในปัจจุบันซึ่งนับได้ว่าเป็นยุคไอทีได้มีการใช้งานยูพีเอสกับเครื่องคอมพิวเตอร์จำนวนมากทั้งในระบบบริษัทและเครื่องคอมพิวเตอร์ส่วนบุคคลตามบ้านอีกทั้งราคาของเครื่องสำรองไฟฟ้าในปัจจุบันมีราคาต่ำลงอย่างมากดังนั้นจึงมีความต้องการใช้เครื่องสำรองไฟฟ้างันมากขึ้น ดังนั้นเมื่อก้าวถึงเครื่องสำรองไฟฟ้าในปัจจุบันจึงแทบเป็นที่รู้จักกันอย่างแพร่หลาย สำหรับโครงสร้างและการทำงานของเครื่องสำรองไฟฟ้ายังไม่เป็นที่รู้จักมากนัก ดังนั้นในโครงการนี้จึงได้ศึกษาเกี่ยวกับโครงสร้างและการทำงานของเครื่องสำรองไฟฟ้าวรรวมถึงการออกแบบวงจรและสร้างเครื่องสำรองไฟฟ้าขึ้นมาเพื่อแก้ไขปัญหาความผิดปกติจากระบบไฟฟ้า ซึ่งปัญหาทางไฟฟ้าหรือเรียกว่ามลภาวะทางไฟฟ้า (Electrical Pollution) สามารถแยกออกตามลักษณะที่เกิดที่สำคัญได้ดังต่อไปนี้คือ

1. ไฟตก (Under Voltage) สาเหตุเกิดจากความต้องการใช้พลังงานไฟฟ้ามีมากหรืออยู่ช่วงปลายของแหล่งจ่ายไฟฟ้า ผลกระทบจะมีหลายรูปแบบเช่น อุปกรณ์จะทำงานหนักขึ้น หากเป็นจอภาพจะสั่นไหวและอายุการใช้งานสั้นลง
2. ไฟกระชาก (Surge) สาเหตุมักเกิดจากปรากฏการณ์ทางธรรมชาติ เช่น ฟ้าผ่าเข้ามาในระบบสายส่ง ผลกระทบถ้ามีความรุนแรงมากก็จะทำให้อุปกรณ์เสียหาย
3. ไฟตกชั่วขณะ (Sags) สาเหตุมักเกิดขึ้นเนื่องจากการใช้พลังงานไฟฟ้ามาก ๆ ในขณะหนึ่งผลกระทบอาจทำให้อุปกรณ์ประเภทคอมพิวเตอร์หยุดทำงาน (Hang) และอายุการใช้งานลดลง
4. ไฟดับ (Blackout) สาเหตุเกิดจากแหล่งจ่ายพลังงานได้รับความเสียหาย หรือสายส่งไฟฟ้าเสียหาย ผลกระทบจะทำให้อุปกรณ์หยุดทำงานทันที สำหรับอุปกรณ์ประเภทคอมพิวเตอร์อาจส่งผลให้ข้อมูลสูญหายได้

ปัญหาเหล่านี้เป็นปัญหาด้านคุณภาพกำลังไฟฟ้าที่สำคัญที่จะส่งผลกระทบต่อเสถียรภาพของระบบ โดยเฉพาะโหลดที่มีความสำคัญเช่นคอมพิวเตอร์ ซึ่งหากระบบไฟฟ้าเกิด

ขัดข้องไม่สามารถจ่ายกระแสไฟฟ้าหรือภาวะที่ระบบไฟฟ้าตกหรือเกินเกิดขึ้นที่อุปกรณ์ไฟฟ้าได้ อาจทำให้อุปกรณ์ไฟฟ้านั้นเกิดความเสียหายขึ้น ซึ่งสามารถแก้ไขปัญหานั้นได้โดยการใช้แหล่งจ่ายไฟแบบต่อเนื่องหรือที่เรียกกันว่า ยูพีเอส (Uninterruptible Power Supply) ซึ่งเป็นอุปกรณ์ที่ใช้สำหรับจ่ายพลังงานไฟฟ้าที่มีคุณภาพและเสถียรภาพอย่างต่อเนื่อง สามารถลดปัญหาทางไฟฟ้าและทำให้ระบบมีเสถียรภาพในการทำงานอยู่ตลอดเวลาแม้ว่าแหล่งจ่ายไฟฟ้าหลักจะดับไป

อย่างไรก็ตามนอกจากการทำงานปกติของเครื่องยูพีเอสแล้ว การควบคุมขนาดแรงดันไฟฟ้าเอาท์พุทของยูพีเอสนับว่ามีความสำคัญ เนื่องจากโวลต์ของยูพีเอสมีการเปลี่ยนแปลงตลอดเวลา โครงการนี้จึงนำเสนอวิธีการควบคุมแบบพีไอ ที่สามารถใช้กับยูพีเอส เพื่อให้มีคุณลักษณะทางไดนามิกส์ที่คงทนต่อการเปลี่ยนแปลงพารามิเตอร์และการรบกวนได้

การใช้แรงดันควบคุมเป็นการควบคุมที่ง่ายกว่าแบบกระแสควบคุม โดยเมื่อทำการจ่ายภาระทางไฟฟ้าจะพบว่าจะทำให้แรงดันตกลง ซึ่งจะสามารถควบคุมแรงดันให้คงค่าได้ตลอด โดยใช้วิธีการควบคุมแบบพีไอแม้ในกรณีไม่มีภาระทางไฟฟ้าก็สามารถควบคุมได้ แต่ในทางกลับกันกรณีกระแสควบคุมถ้าใช้การควบคุมแบบพีไอจะเกิดปัญหากรณีที่ไม่มีภาระทางไฟฟ้า เนื่องจากจะไม่มีกระแสไหลทำให้ไม่สามารถควบคุมกระแสได้ ดังนั้นแรงดันควบคุมจึงเป็นการควบคุมที่ง่ายกว่านั่นเอง

## 1.2 วัตถุประสงค์ของโครงการ

1. เพื่อศึกษาวงจรและระบบการทำงานของแหล่งจ่ายกำลังไฟฟ้าต่อเนื่องชนิดออฟไลน์ (Off-Line UPS)
2. เพื่อทำการพัฒนา UPS ให้มีความสมบูรณ์และมีประสิทธิภาพโดยนำเทคโนโลยีด้านไมโครคอนโทรลเลอร์มาควบคุมการทำงาน
3. เพื่อที่สามารถจ่ายภาระไฟฟ้าได้อย่างต่อเนื่องและมีการควบคุมระดับแรงดันไฟฟ้า

## 1.3 ขอบเขตและข้อกำหนดของโครงการ

1. แหล่งจ่ายกำลังไฟฟ้าต่อเนื่องขนาดพิกัด 300 VA
2. แรงดันไฟฟ้ากระแสสลับแบบลูกคลื่นไซน์เวฟ 220 Vrms
3. ใช้แบตเตอรี่ขนาด 36 V แบบแห้งในเครื่องสำรองไฟฟ้า

## 1.4 วิธีการดำเนินงาน

1. ทำการศึกษาโครงสร้างและองค์ประกอบของโครงการ และทำการศึกษาในรายละเอียดของส่วนประกอบต่าง ๆ ของยูพีเอส พร้อมทั้งศึกษาการใช้งานไมโครคอนโทรลเลอร์ (PIC 16F877A)
2. ทำการสร้างชุดการทดลองในส่วนต่าง ๆ ของยูพีเอส ประกอบด้วย

เอกสารนี้เป็นเอกสารที่สงวนไว้สำหรับการใช้งานเพื่อการศึกษาเท่านั้น ไม่อนุญาตให้นำไปใช้ประโยชน์ด้านการค้าไม่ว่ากรณีใดๆ ทั้งสิ้น อีกทั้งห้ามมิให้ตัดแปลงเนื้อหา และต้องอ้างอิงถึงเจ้าของเอกสารทุกครั้งที่มีการนำไปใช้

- 2.1 ชุดอินเวอร์เตอร์
- 2.2 ชุดวงจรไมโครคอนโทรลเลอร์ พร้อมวงจรขับและแสดงผลการทำงาน
- 2.3 ชุดสวิตช์สับเปลี่ยน
- 2.4 ชุดวงจรตรวจสอบสภาวะการทำงาน
- 2.5 ชุดวงจรป้อนกลับ
3. ทำการรวบรวมส่วนประกอบทุก ๆ ส่วนเข้าด้วยกัน เพื่อสร้างชุดต้นแบบ
4. ทำการสร้างยูพีเอสที่สมบูรณ์พร้อมทั้งทำการทดลองและบันทึกผล
5. จำลองผลการทำงานและออกแบบการควบคุมแบบพีไอคอนโทรลเลอร์ในยูพีเอส พร้อมแก้ไขปัญหาและหาข้อสรุป
6. เรียบเรียงเนื้อหาข้อมูลทั้งหมดเพื่อการทำปริญญานิพนธ์

### 1.5 แผนการดำเนินโครงการ

การดำเนินงาน	เดือน							
	มี.ย.	ก.ค.	ส.ค.	ก.ย.	ต.ค.	พ.ย.	ธ.ค.	ม.ค.
1. ศึกษาหาข้อมูล และงานวิจัยที่เกี่ยวข้องกับยูพีเอส								
2. ศึกษาวงจรและอุปกรณ์ต่างๆ ที่เกี่ยวข้อง								
3. สร้างวงจรฟูลบริดจ์อินเวอร์เตอร์และทดลอง								
4. จำลองการควบคุมแรงดันเมื่อภาระทางไฟฟ้ามีการเปลี่ยนแปลง								
5. ออกแบบวงจรควบคุมแรงดัน								
6. ทดสอบการทำงานของวงจรและบันทึกผล								
7. สรุปผลที่ได้และนำเสนอโครงการ								

เอกสารนี้เป็นเอกสารที่สงวนไว้สำหรับการใช้งานเพื่อการศึกษาเท่านั้น ไม่อนุญาตให้นำไปใช้ประโยชน์ด้านการค้าไม่ว่ากรณีใดๆ ทั้งสิ้น อีกทั้งห้ามให้ตัดแปลงเนื้อหา และต้องอ้างอิงถึงเจ้าของเอกสารทุกครั้งที่มีการนำไปใช้

## 1.6 ประโยชน์ที่ได้รับจากการวิจัย

1. เข้าใจหลักการทำงานของเครื่องแหล่งจ่ายกำลังไฟฟ้าต่อเนื่องได้มากขึ้นและได้รับความรู้ทางด้านอิเล็กทรอนิกส์กำลัง
2. รู้จักการทำงานร่วมกันและการแก้ปัญหาต่าง ๆ ในการดำเนินโครงการ
3. มีการนำความรู้ที่ได้เรียนมาใช้ประโยชน์อย่างเต็มที่และเกิดประโยชน์
4. สามารถนำความรู้ที่ได้มาเผยแพร่ให้แก่ผู้สนใจ
5. สามารถสร้างยูทิวทิวที่ควบคุมระดับแรงดันแบบป้อนกลับได้

## 1.7 การจัดโครงสร้างเนื้อหาภายในปฏิญญาพันธ

บทที่ 1 บทนำเป็นบทที่กล่าวถึงความเป็นมาและความสำคัญของปฏิญญาพันธวัตถุประสงค์ ขอบเขต ประโยชน์ที่ได้รับจากการทำปฏิญญาพันธและขั้นตอนการดำเนินงาน

บทที่ 2 นำทฤษฎีข้อมูลของเนื้อหาที่เกี่ยวข้องกับปฏิญญาพันธฉบับนี้มารวบรวมไว้เพื่อเป็นพื้นฐานในการศึกษาหรือการทดลองตามปฏิญญาพันธนี้

บทที่ 3 การออกแบบการทดลองเป็นการออกแบบโครงสร้างทั้งด้านซอฟต์แวร์และด้านฮาร์ดแวร์ เพื่อให้ชุดอุปกรณ์ที่ออกแบบพร้อมใช้งานได้จริง

บทที่ 4 เป็นการนำเสนอข้อมูลผลการทดลองรวมถึงการวิเคราะห์ผลที่ได้

บทที่ 5 บทสุดท้ายที่นำผลการทดลองในบทที่ 4 มาสรุปผลแล้ววิเคราะห์หาข้อสรุปและปัญหาและอุปสรรคที่เกิดขึ้นระหว่างการออกแบบและสร้างชุดอุปกรณ์หรือระหว่างการทดลองพร้อมสรุปแนวทางการศึกษาและพัฒนาชุดต่อไป

## บทที่ 2

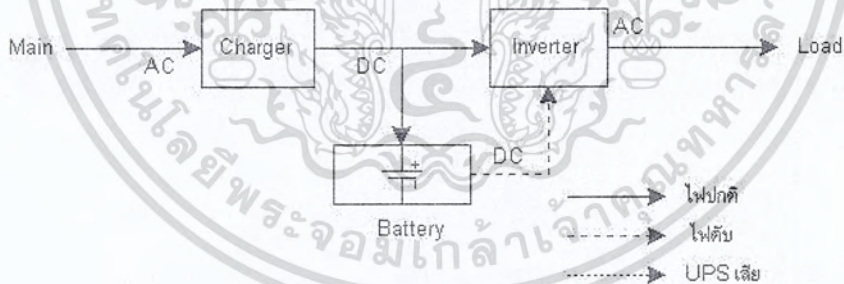
### ทฤษฎีพื้นฐาน

#### 2.1 ลักษณะการทำงานและชนิดของเครื่องสำรองไฟฟ้า

ระบบแหล่งจ่ายไฟสำรองสามารถแบ่งออกตามลักษณะของการทำงานได้ 3 ชนิดคือ Online UPS แบบ Offline UPS และแบบ True Online UPS โดยมีรายละเอียดดังนี้

##### 2.1.1 เครื่องสำรองไฟฟ้าในโหมดออนไลน์ (Online UPS)

เป็นยูพีเอสที่ทำงานในลักษณะที่ชุดอินเวอร์เตอร์จะทำงานอยู่ตลอดเวลา ลักษณะการทำงานแสดงได้ดังรูปที่ 2.1 โดยในสภาวะปกติจะรับพลังงานมาจากการไฟฟ้าเข้าสู่วงจรเรกติไฟไปยังอินเวอร์เตอร์เข้าสู่โหลดและอัดประจุเข้าสู่แบตเตอรี่ด้วย แต่เมื่อเกิดสภาวะผิดปกติ (Brownout) จะรับพลังงานมาจากแบตเตอรี่และเข้าสู่ชุดอินเวอร์เตอร์แทนและจ่ายไปยังโหลด โดยมีรีเลย์เป็นตัวตัดต่อเมื่อเกิดสภาวะการทำงานที่ปกติและไม่ปกติขึ้น จากหลักการนี้ จะทำให้กระแสไฟฟ้าสลับที่จ่ายให้กับโหลดจะมีสัญญาณไฟฟ้าที่คงที่ไม่มีการเปลี่ยนแปลงหรือสัญญาณไฟฟ้าขาดหายไปทั้งในสภาวะปกติและไม่ปกติ

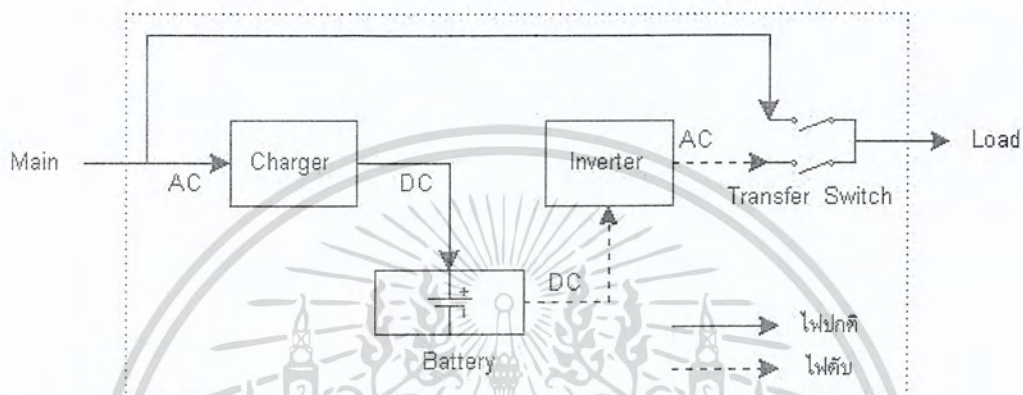


รูปที่ 2.1 ลักษณะการทำงานของยูพีเอสโหมดออนไลน์

##### 2.1.2 เครื่องสำรองไฟฟ้าในโหมดออฟไลน์ (Offline UPS)

เป็นยูพีเอสที่ทำงานในลักษณะเมื่อมีสภาวะระบบปกติโหลดจะได้รับกระแสไฟฟ้าจากการไฟฟ้าโดยตรงและในขณะนั้นจะมีการอัดประจุเข้าแบตเตอรี่ด้วย แต่เมื่อระบบมีสภาวะที่ผิดปกติเกิดขึ้นในระบบ สวิตช์สับเปลี่ยนจะเป็นตัวเลือกกระแสไฟฟ้าที่จ่ายให้กับโหลดที่ได้มา

จากแบตเตอรี่ โดยกระแสตรงจากแบตเตอรี่จะจ่ายให้กับชุดอินเวอร์เตอร์และปรับแรงดันขึ้นโดยใช้หม้อแปลงและจ่ายไปยังโหลดแทนซึ่งแรงดันไฟฟ้าที่โหลดได้รับจะมีการเปลี่ยนแปลงตามการทำงานของระบบยูพีเอสโดยสภาวะปกติจะรับแรงดันจากการไฟฟ้าและสภาวะไม่ปกติจะรับแรงดันจากยูพีเอสนั่นเอง ข้อดีของยูพีเอสชนิดนี้คือมีประสิทธิภาพสูงอีกทั้งมีขนาดเล็ก น้ำหนักเบาและราคาถูกแต่มีข้อเสียซึ่งเกิดจากการใช้สวิตช์ถ่ายโอนกำลังงานทำให้เกิดระยะเวลาในการถ่ายโอนกำลังงาน (Transfer Time) ขึ้นทำให้ไม่สามารถป้องกันมลภาวะทางไฟฟ้าที่เกิดในระยะเวลาสั้นๆ ได้จึงเหมาะสมที่จะใช้กับแหล่งพลังงานหลักที่มีมลภาวะทางไฟฟ้าไม่มากนัก



รูปที่ 2.2 ลักษณะการทำงานของยูพีเอสโหมดออฟไลน์

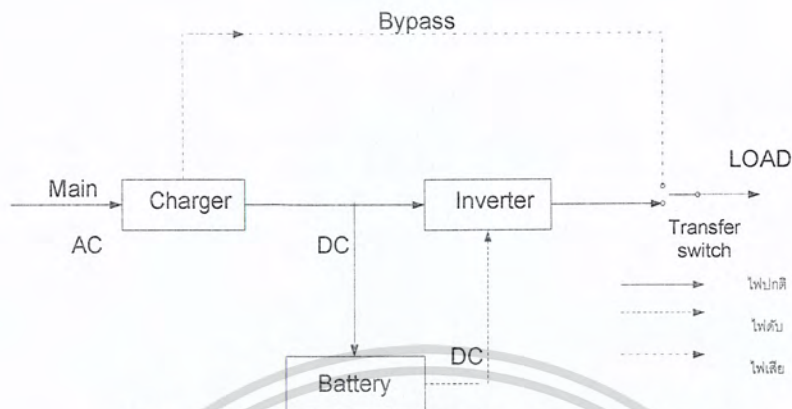
### 2.1.3 เครื่องสำรองไฟฟ้าในโหมดทรูออนไลน์ (True Online UPS)

เครื่องสำรองไฟฟ้าในโหมดทรูออนไลน์เป็นยูพีเอสที่มีศักยภาพสูงสุดกล่าวคือ เครื่องประจุกระแสไฟฟ้า (Charger) และเครื่องแปลงกระแสไฟฟ้า (Inverter) จะทำงานตลอดเวลา ไม่ว่าคุณภาพไฟฟ้าจะเป็นอย่างไรก็สามารถจ่ายพลังงานไฟฟ้าให้กับอุปกรณ์ไฟฟ้า (Load) ได้ตามปกติยกเว้นกรณีเครื่องแปลงกระแสไฟฟ้าเสียจึงจะจ่ายพลังงานไฟฟ้าจากระบบจ่ายพลังงานไฟฟ้า (Main) จากการไฟฟ้าไปยังอุปกรณ์ไฟฟ้า. (แต่ไม่ควรใช้งานต่อไปหากเครื่องแปลงกระแสไฟฟ้าเสีย)

เครื่องสำรองไฟฟ้าในโหมดทรูออนไลน์เป็นยูพีเอส ที่มีศักยภาพสูงที่สุดเมื่อเทียบกับยูพีเอสที่มีใช้งานอยู่ สามารถป้องกันปัญหาทางไฟฟ้าได้ทุกกรณีไม่ว่าจะเป็น ไฟดับ ไฟตก ไฟเกิน หรือสัญญาณรบกวนใดๆ และให้คุณภาพไฟฟ้าที่ดี ด้วยเหตุนี้จึงทำให้ยูพีเอสชนิดนี้มีราคาสูงกว่ายูพีเอสชนิดอื่นๆ รูปที่ 2.3 แสดงการทำงานของยูพีเอสชนิดนี้จากรูปจะพบว่าเมื่อจ่ายไฟปกติจะส่งผ่านทางเครื่องประจุกระแสไฟฟ้าโดยแปลงไฟฟ้ากระแสสลับเป็นไฟฟ้ากระแสตรงแล้วค่อยแปลงกลับจากไฟฟ้ากระแสตรงเป็นไฟฟ้ากระแสสลับโดยใช้อินเวอร์เตอร์แล้วจึงจ่ายโหลด แต่เมื่อเกิดไฟดับก็จะรับพลังงานจากแบตเตอรี่แทนแล้วผ่านอินเวอร์เตอร์

เอกสารนี้เป็นเอกสารที่สงวนไว้สำหรับการใช้งานเพื่อการศึกษาเท่านั้น ไม่อนุญาตให้นำไปใช้ประโยชน์ด้านการค้าไม่ว่ากรณีใดๆ ทั้งสิ้น อีกทั้งห้ามมิให้ตัดแปลงเนื้อหา และต้องอ้างอิงถึงเจ้าของเอกสารทุกครั้งที่มีการนำไปใช้

แปลงเป็นไฟฟ้ากระแสสลับแล้วจ่ายโหลด ส่วนกรณีที่เกิดไฟเสียบก็จะมีไฟฟ้ากระแสสลับเข้าสู่โหลดทันที



รูปที่ 2.3 ลักษณะการทำงานของยูพีเอสโหมดทรูออนไลน์

## 2.2 ส่วนประกอบของเครื่องจ่ายไฟฟ้าสำรองแบบออฟไลน์

ยูพีเอสที่ใช้ในโครงงานนี้เป็นระบบที่ทำงานในโหมดออฟไลน์ (Offline Mode) รายละเอียดของส่วนประกอบและการทำงานของยูพีเอสในโครงงานนี้แสดงได้ดังต่อไปนี้

### 2.2.1 ฟูลบริดจ์อินเวอร์เตอร์ 1 เฟส

อินเวอร์เตอร์หมายถึงอุปกรณ์ชุดหนึ่งที่ทางด้านอินพุตของอินเวอร์เตอร์เป็นกระแสตรง โดยอินเวอร์เตอร์จะทำหน้าที่เปลี่ยนจากกระแสตรงเป็นกระแสสลับ โดยปกติอินเวอร์เตอร์สามารถปรับระดับแรงดันและความถี่ของแรงดันเอาต์พุตได้และมีทั้งแบบ 1 และ 3 เฟส

สำหรับยูพีเอสในโครงงานนี้จะใช้มอสเฟตเป็นอุปกรณ์สวิตซ์ซึ่งโดยอาศัยหลักการสร้างสัญญาณเอสพีดับเบิลยูเอ็มจากตัวไมโครคอนโทรลเลอร์ (PIC 16F877) แล้วนำไปเข้าวงจรหน่วงเวลา (Deadtime) เพื่อไม่ให้เกิดการลัดวงจรของมอสเฟตในกึ่งเดี่ยวกั้นหลังจากนั้นจึงนำสัญญาณไปขับมอสเฟตต่อไป อย่างไรก็ตามเอาต์พุตของวงจรอินเวอร์เตอร์จะเป็นรูปคลื่นไซน์ในทางไฟฟ้าต้องการรูปคลื่นไซน์เป็นแหล่งจ่าย ดังนั้นเพื่อลดองค์ประกอบของส่วนฮาร์โมนิกส์ที่มากับรูปคลื่นของยูพีเอสซึ่งจะเป็นการทำให้แรงดันเอาต์พุตคล้ายไซน์มากขึ้นจึงต้องทำการออกแบบวงจรกรองความถี่สูงหรือเรียกว่า Low pass Filter ซึ่งอาจจะใช้ค่าตัวเหนี่ยวนำกับคาปาซิเตอร์ในการกรองฮาร์โมนิกออกไปทำให้เหลือแต่ความถี่หลักมูล (Fundamental )

### 2.2.2 แบตเตอรี่

แบตเตอรี่ที่ใช้ในโครงงานนี้เป็นแบตเตอรี่แบบตะกั่ว-กรด แบ่งเป็น 2 ชนิดคือ Non spill lead – acid Battery และ Recombining seal – acid battery โดย Non spill lead – acid

เอกสารนี้เป็นเอกสารที่สงวนไว้สำหรับการใช้งานเพื่อการศึกษาเท่านั้น ไม่อนุญาตให้นำไปใช้ประโยชน์ด้านการค้า ไม่ว่าจะกรณีใดๆ ทั้งสิ้น อีกทั้งห้ามมิให้ตัดแปลงเนื้อหา และต้องอ้างอิงถึงเจ้าของเอกสารทุกครั้งที่มีการนำไปใช้

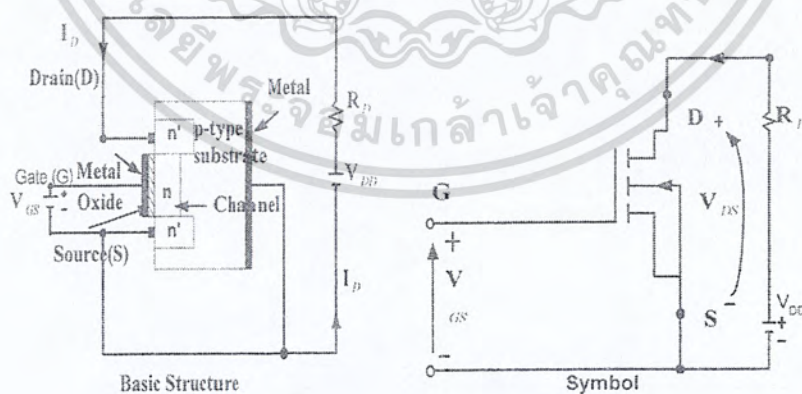
Battery สามารถแบ่งย่อยเป็นอีกสองชนิดคือ Standard Battery แบตเตอรี่ชนิดนี้เมื่อไม่ใช้งาน จะมี self - discharge ที่ขึ้นอยู่กับอุณหภูมิของสิ่งแวดล้อมจึงต้องมีการอัดประจุใหม่ทุก 4-6 สัปดาห์ และ Self - discharge ซึ่งแบตเตอรี่นี้เหมาะสำหรับการใช้งานช่วงเวลาสั้นๆ ส่วน Permanent Battery แบตเตอรี่ชนิดนี้เมื่อไม่ใช้งาน สามารถเก็บในอุณหภูมิ 20 องศาเซลเซียส ได้เป็นเวลานานหลายเดือนโดยไม่ต้องมีวิธีดูแลรักษา และสามารถอัดประจุทุก 10 เดือน และมี Self -discharge ต่ำเนื่องจากใช้ Lead-alloy ชนิดพิเศษเหมาะสำหรับใช้ในงานพิเศษที่ต้องการอายุการใช้งานมากกว่า standard-battery ส่วน Recombining seal - acid battery ปกติแล้วเมื่อแบตเตอรี่อัดประจุถึงระดับ Overcharge กระแสฟูลิกที่เป็นอิเล็กโทรไลต์จะทำปฏิกิริยาเป็น ก๊าซ  $H_2$  และ  $O_2$  ทำให้ความเข้มข้นของอิเล็กโทรไลต์เพิ่มขึ้นจึงเป็นสาเหตุให้ต้องการการเติมน้ำ กลับ มิฉะนั้นแบตเตอรี่จะเสื่อมคุณภาพได้ การเติมน้ำกลับเป็นการจำกัดวงในการใช้แบตเตอรี่ ฉะนั้นจึงมีการพัฒนาแบตเตอรี่ให้ใช้งานโดยไม่ต้องเติมน้ำกลับ

### 2.2.3 อุปกรณ์สวิตช์ (MOSFET)

มอสเฟตเป็นอุปกรณ์ประเภทใช้แรงดันในการควบคุมกล่าวคือต้องใช้แรงดัน  $V_{GS}$  ควบคุมการไหลของกระแสเดรน ( $I_D$ )

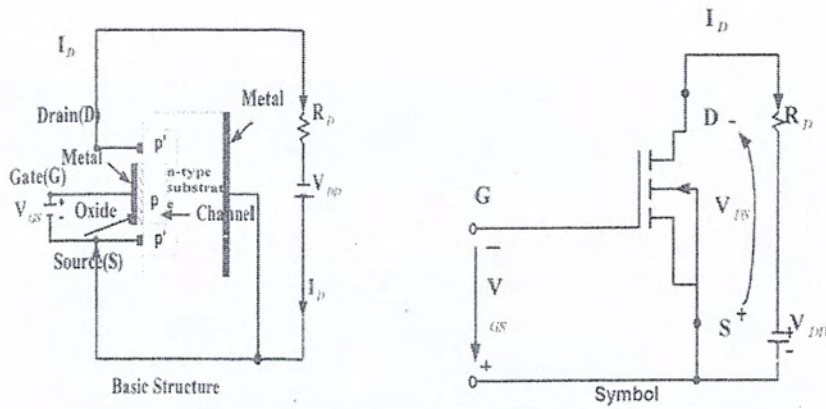
#### 2.2.3.1 ประเภทของมอสเฟต

มอสเฟตเป็นอุปกรณ์ที่มีสามขั้วคือ ขั้วซอร์ส ( Source ; S ) เดรน ( Drain ; D ) และ เกต ( Gate ; G ) แบ่งออกเป็น 2 ประเภทคือ มอสเฟตแบบดีพลีชัน ( Depletion MOSFET ) เรียกสั้นๆว่า ดิมอสเฟตและมอสเฟตแบบเอนฮานซ์เมนต์ ( Enhancement MOSFET ) หรือเรียกอีกมอสเฟต แต่ละประเภทยังแบ่งออกเป็น 2 แบบคือ แชนแนล N ( N-Channel ) และ แชนแนล P ( P-Channel )



(a) n-channel depletion - type Mosfet

เอกสารนี้เป็นเอกสารที่สงวนไว้สำหรับการใช้งานเพื่อการศึกษาเท่านั้น ไม่อนุญาตให้นำไปใช้ประโยชน์ด้านการค้า ไม่ว่ากรณีใดๆ ทั้งสิ้น อีกทั้งห้ามมิให้ตัดแปลงเนื้อหา และต้องอ้างอิงถึงเจ้าของเอกสารทุกครั้งที่มีการนำไปใช้



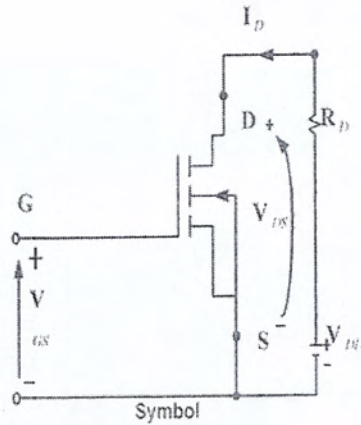
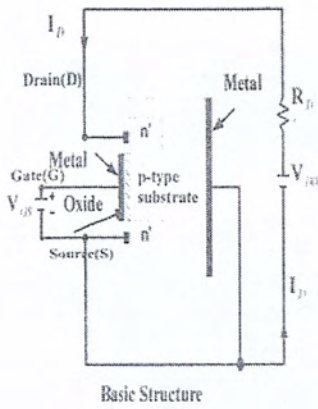
(b) p-channel depletion – type Mosfet

รูปที่ 2.4 แสดงโครงสร้างของมอสเฟตแบบ N และ P ชนิดดีพลีชัน

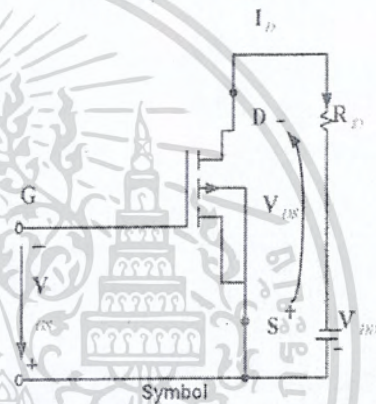
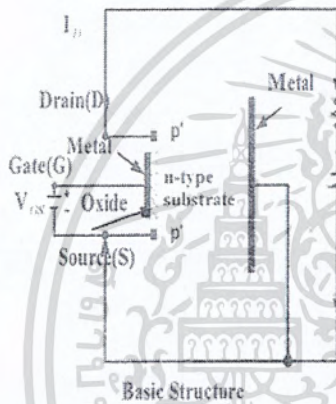
โครงสร้างของดีมอสเฟตแบบแซนแนล N ในรูปที่ 2.4 ประกอบด้วยสารกึ่งตัวนำชนิด P ซึ่งสร้างขึ้นจากซิลิคอนและเรียกว่าแผ่นผืนึกฐาน P ( P-type Substrate ) โดยขั้ว D และขั้ว S ต่อกับบริเวณที่มีสารกระตุ้นหรือโด๊ปให้เป็นบริเวณสารกึ่งตัวนำ N ( N-Doped Region ; N ) บริเวณสารกึ่งตัวนำ N ทั้งสองส่วนนี้ต่อกับวัสดุผิวนอกที่เป็นโลหะ โดยมีซิลิกอนไดออกไซด์กั้นระหว่างแซนแนล N กับขั้ว G ซิลิกอนไดออกไซด์เป็นฉนวนประเภทไดอิเล็กตริก ถ้าแรงดันเกตซอร์ส (  $V_{GS}$  ) มีค่าเป็นลบ อิเล็กตรอนบางส่วนในแซนแนล N สร้างบริเวณปลอดพาหะ ( Depletion Region ) ภายในขั้วออกไซด์ทำให้แซนแนลแคบลงความต้านทานจากขั้วเดรนไปซอร์ส  $R_{DS}$  เริ่มมีค่าสูง เมื่อ  $V_{GS}$  มีค่าเพียงพอ แซนแนลจะหายไป  $R_{DS}$  จึงมีค่าสูงมากและไม่มีกระแสไหลจากขั้วเดรนไปซอร์ส นั่นคือ  $I_{DS}$  เท่ากับศูนย์ระดับ  $V_{GS}$  นี้เรียกว่าแรงดันพินชออฟ ( Pinch – Off Voltage ;  $V_p$  )

ในทางตรงกันข้าม ถ้า  $V_{GS}$  เป็นบวกแซนแนลจะกว้างขึ้นเป็นผลให้  $I_{DS}$  มีค่าเพิ่มขึ้นเนื่องจาก  $R_{DS}$  มีค่าลดลง

หลักการที่กล่าวมานี้ใช้ได้กับมอสเฟตแบบแซนแนล P โดยขั้วของ  $V_{DS}$ ,  $I_{DS}$  และ  $V_{GS}$  เปลี่ยนเป็นขั้วตรงข้ามกับกรณีดีมอสเฟตแบบแซนแนล N



(a) n-channel enhancement-type Mosfet



(b) p-channel enhancement-type Mosfet

รูปที่ 2.5 แสดงโครงสร้างของมอสเฟตแบบ N และ P ชนิดเอนฮานซ์ที่เม้นต์

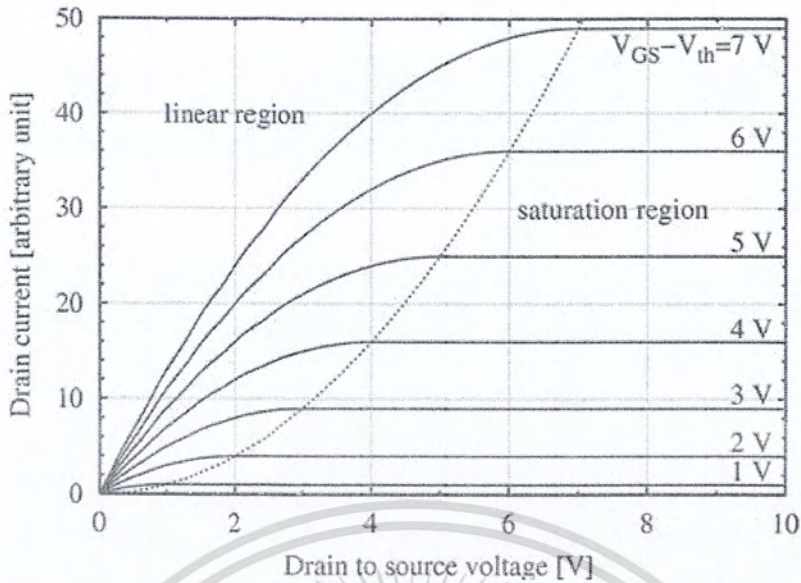
อีมอสเฟตแบบแชนแนล N ดังรูปที่ 2.4 ถ้า  $V_{GS}$  เป็นบวกแรงดันเหนี่ยวนำจะดึงดูดอิเล็กตรอนจากแผ่นพินิกฐาน P และรวบรวมไว้ที่ผิวภายในชั้นออกไซด์ ถ้า  $V_{GS}$  มากกว่าหรือเท่ากับค่าแรงดันเทรสต์โฮลด์ (Threshold Voltage ;  $V_T$ ) จึงมีกระแสไหลจากเดรนไปซอร์ส ( $I_{DS}$ )

หลักการที่กล่าวมานี้ใช้ได้กับมอสเฟตแบบแชนแนล P โดยชี้ของ  $V_{DS}$ ,  $I_{DS}$  และ  $V_{GS}$  เปลี่ยนเป็นชี้ตรงข้ามกับกรณีอีมอสเฟตแบบแชนแนล N

2.2.3.2 คุณสมบัติของมอสเฟต ( Mosfet Characteristic )

ได้กล่าวในตอนต้นแล้วว่า มอสเฟตเป็นอุปกรณ์ประเภทใช้แรงดัน ในการควบคุมอิมพีแดนซ์อินพุตสูงมากชี้เขตจะดึงกระแสรั่วไหลต่ำมาก และเราทราบว่ ทรานส์คอนดักแตนซ์ (Transconductance ;  $g_m$ )

เอกสารนี้เป็นเอกสารที่สงวนไว้สำหรับการใช้งานเพื่อการศึกษาเท่านั้น ไม่อนุญาตให้นำไปใช้ประโยชน์ด้านการค้า ไม่ว่ากรณีใดๆ ทั้งสิ้น อีกทั้งห้ามมิให้ตัดแปลงเนื้อหา และต้องอ้างอิงถึงเจ้าของเอกสารทุกครั้งที่มีการนำไปใช้



รูปที่ 2.6 กราฟคุณลักษณะในการถ่ายโอนของอิมอสเฟทแบบแชลแนล N และคุณลักษณะ  
เอาก์พุดของอิมอสเฟทแบบแชลแนล N

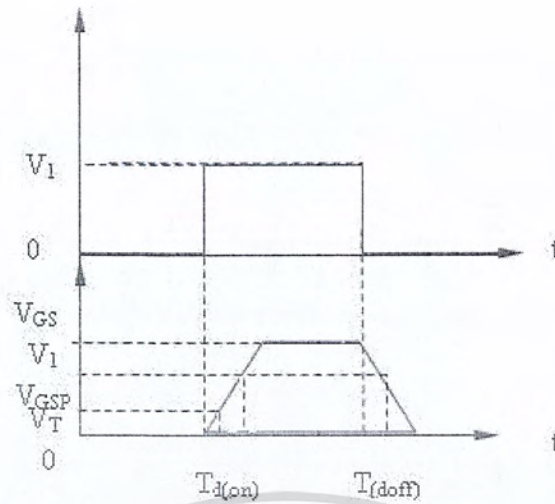
คุณลักษณะในการถ่ายโอนของอิมอสเฟทแบบแชลแนล N และแบบแชลแนล P แสดง  
ดังรูป แสดงคุณลักษณะ ของอิมอสเฟทแบบ แชลแนล N ซึ่งมีทั้งสามบริเวณคือ

1. บริเวณคัตออฟ เกิดขึ้นเมื่อ  $V_{GS}$  น้อยกว่าหรือเท่ากับ  $V_T$
  2. บริเวณพินช์ออฟ หรือบริเวณเอมต์ัว (Pinch – off or saturation Region) เกิดขึ้นเมื่อ  $V_{DS}$  มากกว่าหรือเท่ากับ  $V_{GS} - V_T$
  3. บริเวณที่เป็นเชิงเส้น (Linear Region) เกิดขึ้นเมื่อ  $V_{DS}$  น้อยกว่าหรือเท่ากับ  $V_{GS} - V_T$
- ในบริเวณเชิงเส้น  $I_D$  จะเปลี่ยนแปลงตามสัดส่วนของ  $V_{DS}$  และเนื่องจากมี  $I_D$  สูงขณะที่  $V_D$  มีค่า  
ต่ำอิมอสเฟทจึงใช้บริเวณที่เป็นเชิงเส้นแสดงปฏิกิริยาในการสวิตช์ สำหรับอิมอสเฟทแรงดันเกท  
(หรือแรงดันอินพุท) อาจเป็นบวกรหรือลบก็ได้แต่อิมอสเฟทตอบสนองกับแรงดันที่เป็นบวกอย่าง  
เดียวตามปกติมอสเฟทกำลังเป็นประเภทอิมอสเฟทในปริณูณานิพนธ์

### 2.2.3.3 คุณลักษณะในการสวิตช์ (Switching Characteristics)

ผลกระทบที่เกิดจากคาปาซิเตอร์ บริเวณรอยต่อของสารกึ่งตัวนำในอิมอสเฟท ทำให้  
เขียนรูปคลื่นในการสวิตช์ได้ดังรูปที่ 2.7

เอกสารนี้เป็นเอกสารที่สงวนไว้สำหรับการใช้งานเพื่อการศึกษาเท่านั้น ไม่อนุญาตให้นำไปใช้ประโยชน์ด้านการค้า  
ไม่ว่ากรณีใดๆ ทั้งสิ้น อีกทั้งห้ามมิให้ตัดแปลงเนื้อหา และต้องอ้างอิงถึงเจ้าของเอกสารทุกครั้งที่มีการนำไปใช้



รูปที่ 2.7 แสดงรูปคลื่นแรงดันในการสวิตช์ของแรงดันเกต

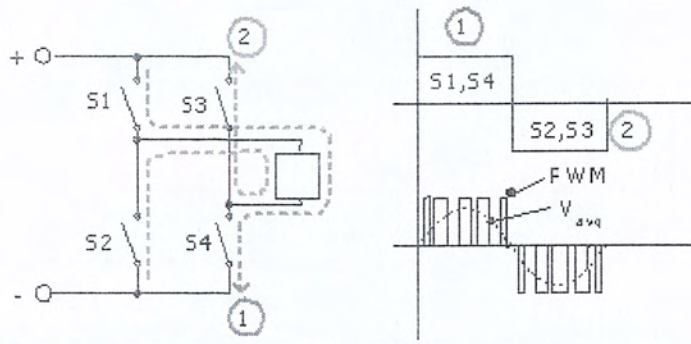
เมื่อป้อนแรงดันเกตเพิ่มจากศูนย์ถึง  $V_1$  เวลาที่ใช้ในการอัดประจุคาปาซิเตอร์ (ภายในตัวของอีเอ็มอสเฟต) ให้มีค่าถึงระดับแรงดันธรสโวลต์  $V_R$  ซึ่งเรียกว่าช่วงเวลาดีเลย์ในการเปิด (Turn – On Delay Time;  $t_{d(ON)}$ ) และช่วงเวลาดำเนิน (t<sub>r</sub>) เป็นเวลาอัดประจุจากระดับ ( $V_R$ ) จนกระทั่งมีค่าถึงระดับแรงดันเกตเต็มที่ (Full Gate Voltage;  $V_{GSF}$ ) ซึ่งใช้ในการขับมอสเฟตไปสู่บริเวณเชิงเส้น

เวลาที่คาปาซิเตอร์คายประจุจาก  $V_1$  ไปจนถึงบริเวณพินชออฟเรียกว่าช่วงเวลาดีเลย์ในการปิด (Turn – Off Delay Time;  $t_{d(OFF)}$ ) และช่วงเวลาลดลง (t<sub>r</sub>) เป็นเวลาที่คาปาซิเตอร์ใช้ในการคายประจุจากบริเวณพินชออฟถึง  $V_R$  (ถ้า  $V_{GS} < V_R$  มอสเฟตจะปิด)

#### 2.2.3.4 ประโยชน์และการใช้งานมอสเฟตกำลัง

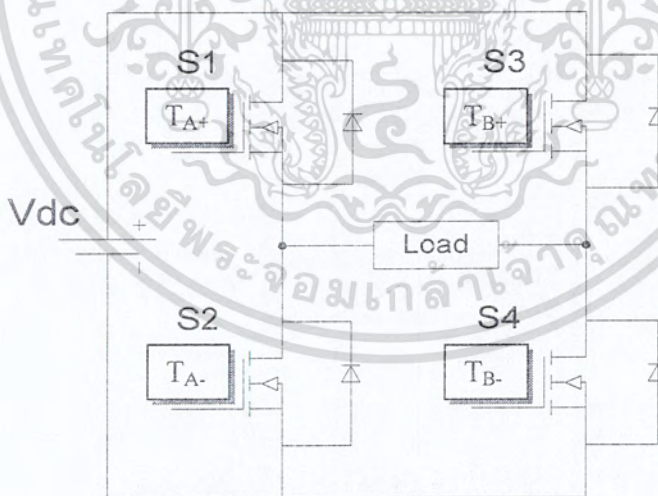
เนื่องจากมอสเฟตกำลัง มีความเร็วในการสวิตช์สูงมากเป็นนาโนวินาทีจึงเหมาะกับการแปลงผันที่มีความถี่และมีกำลังไฟฟ้าต่ำแต่อย่างไรก็ตามอีเอ็มอสเฟตจะมีปัญหาในการคายประจุไฟฟ้าสถิตภายในตัวเองจึงต้องดูแลรักษาเป็นพิเศษนอกจากนี้การป้อนมอสเฟตขณะที่เกิดฟลอร์ดแบบลัดวงจรทำได้ค่อนข้างยาก

## 2.2.4 การสวิตช์แรงดันแบบเอสพีดับเบิลยูเอ็ม (SPWM)



รูปที่ 2.8 วงจรการควบคุมการสวิตช์แบบ SPWM ของอินเวอร์เตอร์ 1 เฟส

จากรูปที่ 2.8 วงจรอินเวอร์เตอร์แบบฟูลบริดจ์เฟสเดียวจะประกอบไปด้วยสองกึ่งคือ กิ่ง A และ กิ่ง B โดยแบบฟูลบริดจ์จะให้กำลังไฟฟ้าสูงกว่าแบบฮาร์ฟบริดจ์สองเท่าที่เงื่อนไขแรงดันด้านเข้า ( $V_d$ ) เท่ากันจึงเหมาะที่จะเลือกใช้เมื่อต้องการจ่ายกำลังไฟฟ้าโหลดสูงขึ้น เงื่อนไขสำคัญที่อินเวอร์เตอร์เฟสเดียวแบบฟูลบริดจ์คือการทำงานของสวิตช์ซึ่งของ  $T_{A+}$  และ  $T_{A-}$  ต้องไม่นำกระแสทำงานพร้อมกัน มิฉะนั้นแล้วจะเกิดการลัดวงจรระหว่างบัสบวกกับบัสลบ ในอุดมคติเวลาการสวิตช์ของ  $T_{A+}$  และ  $T_{A-}$  จะตรงข้ามกัน แต่ในทางปฏิบัติจะต้องการช่วงเวลาที่ไม่สวิตช์ซึ่งทั้งคู่ไม่นำกระแสเรียกว่า เดดไทม์ (Deadtime) โดยเดดไทม์จะอยู่ในช่วงเวลาก่อนจะเปลี่ยนสถานะการสวิตช์จากนำกระแสเป็นไม่นำกระแส และจากไม่นำกระแสเป็นนำกระแส



รูปที่ 2.9 อินเวอร์เตอร์เฟสเดียวแบบฟูลบริดจ์

เอกสารนี้เป็นเอกสารที่สงวนไว้สำหรับการใช้งานเพื่อการศึกษาเท่านั้น ไม่อนุญาตให้นำไปใช้ประโยชน์ด้านการค้า ไม่ว่าจะกรณีใดๆ ทั้งสิ้น อีกทั้งห้ามมิให้ตัดแปลงเนื้อหา และต้องอ้างอิงถึงเจ้าของเอกสารทุกครั้งที่มีการนำไปใช้

การสวิตช์แรงดันไฟฟ้าแบบไบโพลาร์ (Bipolar voltage switching) คือการควบคุมให้สวิตช์แบบบริดจ์ทำงานพร้อมกันเป็นคู่เช่นในรูปที่ 2.9 การทำงานของสวิตช์  $T_{A+}$  และ  $T_{A-}$  จะถูกควบคุมให้ทำงานพร้อมกันในแต่ละช่วงเวลา อีกคู่หนึ่งคือการทำงานของสวิตช์  $T_{A+}$  และ  $T_{A-}$  ดังนั้นแรงดันไฟฟ้าต้านออกของกึ่ง A จะเท่ากับดังสมการ 2.1 และ 2.2

$$V_{Ao} = \frac{1}{2}V_d \text{ เมื่อ } V_{control} > V_{tri} \text{ , สวิตช์ } T_{A+} \text{ และ } T_{A-} \text{ จะนำกระแส} \quad (2.1)$$

$$V_{Ao} = -\frac{1}{2}V_d \text{ เมื่อ } V_{control} < V_{tri} \text{ , สวิตช์ } T_{A+} \text{ และ } T_{A-} \text{ จะนำกระแส} \quad (2.2)$$

เมื่อ

$V_{control}$  คือ แรงดันอ้างอิงโดยที่นี้หมายถึงรูปคลื่นไซน์

$V_{tri}$  คือ แรงดันพาหะโดยที่นี้หมายถึงรูปคลื่นสามเหลี่ยม

จากรูปที่ 2.9 อินเวอร์เตอร์เฟสเดียวแบบหนึ่งกึ่งจะได้แรงดันไฟฟ้าต้านออกของกึ่ง B เท่ากับค่าลบของแรงดันไฟฟ้าต้านออกของกึ่ง A คือ  $V_{Bo} = -V_{Ao}$  ดังนั้นแรงดันไฟฟ้าต้านออกของอินเวอร์เตอร์หรือแรงดันไฟฟ้าระหว่างกึ่ง A กับกึ่ง B คือ

$$V_o = V_{Ao} - V_{Bo} = V_{Ao} - (-V_{Ao}) = 2V_{Ao} = 2\left(\frac{1}{2}V_d\right) = V_d$$

โดยที่

$$\hat{V}_{o1} = m_a \cdot V_d \text{ เมื่อ } m_a \leq 1.0 \quad (2.3)$$

เมื่อ

$\hat{V}_{o1}$  คือ แรงดันไฟฟ้ายอดต้านออก

$m_a$  คือ ดัชนีการมอดูเลต

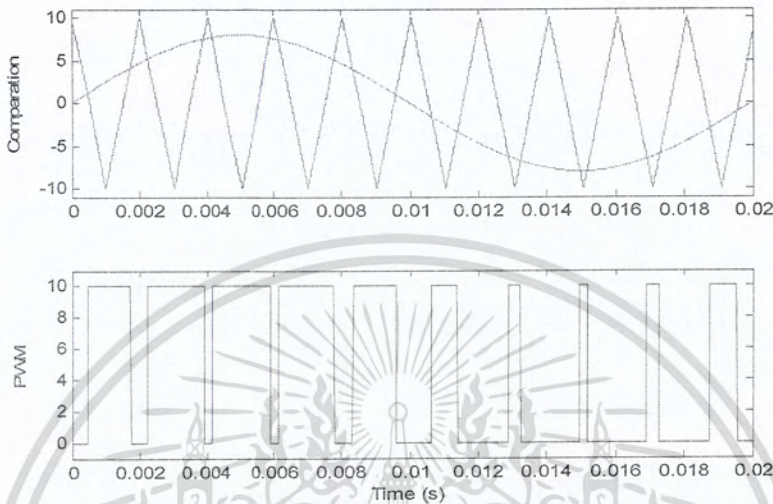
$V_d$  คือ แรงดันกระแสตรง

และเทียบเคียงกับสมการที่ 2.3 จะได้

$$V_d < \hat{V}_{o1} < \frac{4}{\pi} V_d \text{ เมื่อ } m_a > 1.0 \quad (2.4)$$

หรืออาจจะสรุปได้ว่าแรงดันไฟฟ้ายอดต้านออกจะเท่ากับสมการที่ 2.3 เมื่อดัชนีการมอดูเลต  $m_a$  อยู่ในย่านเชิงเส้น และแรงดันไฟฟ้ายอดต้านออกจะเท่ากับสมการที่ 2.4 อยู่ในช่วงโอเวอร์มอดูเลชัน โดยที่แรงดันไฟฟ้าต้านออกจะสวิตช์อยู่ระหว่าง  $+V_d$  กับ  $-V_d$  ดังแสดงในรูปที่ 2.10 ส่วนไซด์แบนฮาร์โมนิกส์จะเกิดขึ้นรอบๆ  $m_f, 2m_f, 3m_f, \dots$  เช่น หากความถี่สวิตช์

เท่ากับ 20 kHz ไซต์แบนฮาร์โมนิกส์ก็จะเกิดขึ้นที่ 20 kHz, 40 kHz และ 60 kHz เป็นต้น ดังเช่นที่ได้อธิบายในสมการที่ 2.6 ส่วนรูปคลื่นไซน์จะอยู่ในช่วง  $0 < m_a \leq 1$  โดยจะมีความสัมพันธ์เป็นลักษณะเชิงเส้น โดยเพิ่มค่า  $m_a$  มากขึ้นจะทำให้แรงดันไฟฟ้ามากขึ้นตามและ ถ้าวัด  $m_a$  ลงจะทำให้แรงดันไฟฟ้าลดตาม



รูปที่ 2.10 การสวิตซ์แรงดันแบบไบโพลาร์

### 2.1.3 ผลของเดดไทม์ต่อแรงดันไฟฟ้าด้านออกของอินเวอร์เตอร์

ในทางปฏิบัติกึ่งใดๆของอินเวอร์เตอร์ สวิตซ์ตัวบนและตัวล่างต้องไม่นำกระแสพร้อมกัน ดังนั้นจึงต้องการช่วงเวลาที่ยาวขึ้นที่สวิตซ์ทั้งคู่หยุดนำกระแสก่อนที่สวิตซ์จะเปลี่ยนสถานะเพื่อป้องกันการลัดวงจรระหว่างบัสบวกกับบัสลบช่วงเวลานี้จะเรียกว่าเดดไทม์ (Dead time หรือ Blanking time) ซึ่งเวลาเดดไทม์ดังกล่าวจะต้องมีความเหมาะสมคือหากมีค่าน้อยเกินไปอาจทำให้มีโอกาสลัดวงจรได้ง่าย หรือถ้าหากมีค่ามากเกินไปก็อาจจะทำให้แรงดันไฟฟ้าด้านออกของอินเวอร์เตอร์ผิดเพี้ยนไปได้

#### 2.2.5.1 Sinusoidal Pulse-Width Modulation

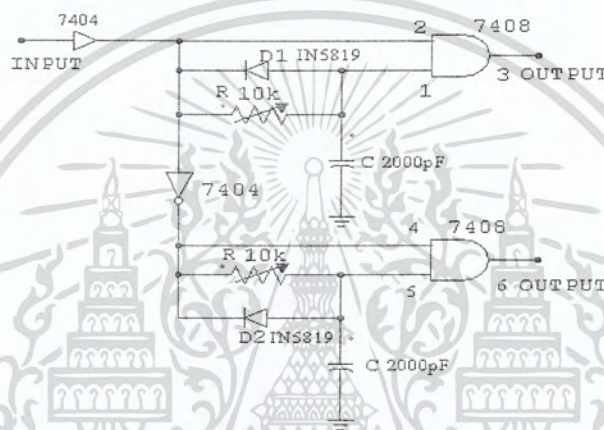
ด้วยวิธีการสร้างสัญญาณควบคุม PWM ดังกล่าวข้างต้นจะทำให้ความกว้างของพัลส์แต่ละพัลส์มีค่าเท่ากันจึงมีข้อจำกัดในการกำจัดฮาร์โมนิกส์ที่ความถี่ต่างๆเพื่อลดข้อจำกัดดังกล่าวจึงได้มีการสร้างสัญญาณควบคุมที่ทำให้ความกว้างของแต่ละพัลส์แตกต่างกันแต่ที่นิยมมากได้แก่ Sinusoidal Pulse-Width Modulation (SPWM) ซึ่งจะสร้างสัญญาณควบคุมจากการเปรียบเทียบสัญญาณอ้างอิงรูปสามเหลี่ยมซึ่งมีแอมพลิจูด (Ar) กับพาหะรูปคลื่นเรียงกระแสแบบเต็มคลื่นของสัญญาณขาเข้าที่มีแอมพลิจูด (Ac) และมีเฟสตรงกับสายกำลังดังรูปที่ 2.10 ความกว้างของแต่ละพัลส์จะเปลี่ยนไปตามดัชนีการมอดูเลตด้านแอมพลิจูด (M) โดยที่

เอกสารนี้เป็นเอกสารที่สงวนไว้สำหรับการใช้งานเพื่อการศึกษาเท่านั้น ไม่อนุญาตให้นำไปใช้ประโยชน์ด้านการค้าไม่ว่ากรณีใดๆ ทั้งสิ้น อีกทั้งห้ามมิให้ตัดแปลงเนื้อหา และต้องอ้างอิงถึงเจ้าของเอกสารทุกครั้งที่มีการนำไปใช้

$$M = \frac{A_c}{A_s} \quad (2.5)$$

### 2.2.5 การหน่วงเวลา (Dead Time)

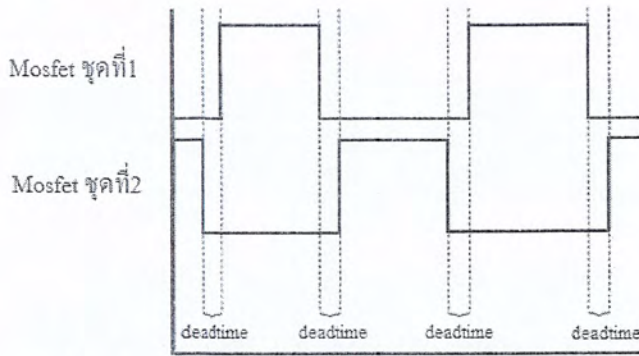
ชุดวงจรเดดไทม์เป็นชุดวงจรที่สร้างขึ้นเพื่อป้องกันการลัดวงจรของการสวิตช์กำลังของ มอสเฟตทั้งสองตัวเพื่อไม่ให้ทำงานพร้อมกันและเกิดการลัดวงจรโดยสร้าง 2 ชุด และยังเป็นชุดที่ ทำการแบ่งสัญญาณพัลส์ออกเป็น 2 ซีก เป็นสัญญาณพัลส์ที่มีสัญญาณตรงข้ามกัน เพื่อนำไป บ้อนให้กับขาเกตของชุดวงจรกำลัง ผู้จัดทำได้เลือกใช้ ไอซี แอนด์เกต นีอทเกต และบัฟเฟอร์ ในการสร้างสัญญาณพัลส์ 2 ซีก และทำการปรับค่าหน่วงเวลาของการชับเกตให้ได้ตามที่ ต้องการคือประมาณ 3-5 ไมโครวินาที และทำการประกอบเข้ากับวงจรการทำงาน



รูปที่ 2.11 ชุดวงจรเดดไทม์

จากวงจรชุดเดดไทม์ทำการบ้อนสัญญาณอินพุตที่ได้จากวงจรสร้างสัญญาณพัลส์เข้า ผ่านไอซี ซึ่งใช้เป็นบัฟเฟอร์ให้กับสัญญาณ ซึ่งสัญญาณตัวนำได้ถูกแบ่งออกเป็นสองสัญญาณ เพื่อเข้าขาอินพุตของแอนเกตทั้งสองขา โดยที่สัญญาณแรกผ่านเข้าขาอินพุตของแอนเกต โดยตรง ส่วนขาที่สองต่อเข้ากับไดโอดซึ่งทำหน้าที่ในการกรองไฟลบไม่มีสัญญาณรบกวนผ่าน มายังความต้านทาน 10 กิโลโห์ม ที่ถูกต่อขนานกับตัวไดโอด ซึ่งตัวต้านทานตัวนี้ทำหน้าที่ใน การปรับค่าของเดดไทม์ให้อยู่ในช่วง 3-5 ไมโครวินาที เพื่อป้องกันการลัดวงจรในส่วนของ วงจรกำลัง ส่วนด้านหลังของความต้านทานและไดโอด โดยคาปาซิเตอร์ต่ออีกข้างจะต่ออยู่กับ กราวด์ก่อนเข้าขาอินพุตของแอนเกตอีกขาหนึ่ง ซึ่งคาปาซิเตอร์ตัวนี้จะทำหน้าที่ในการช่วยปรับ ค่าของเดดไทม์ซึ่งมีผลในช่วงขอบขาขึ้นของสัญญาณพัลส์ เนื่องจากสัญญาณที่ได้นำไปต่อยัง วงจรชับเกตนั้น ต้องประกอบด้วยสัญญาณพัลส์สองสัญญาณที่ตรงข้ามกัน ดังนั้นผู้จัดทำจึงได้ สร้างอีกหนึ่งชุดโดยต่อ นอทเกต (7404) ไว้ด้านหน้าก่อนเข้าแอนเกตเพื่อให้ได้สัญญาณพัลส์อีก หนึ่งสัญญาณที่ตรงข้ามกัน เพื่อที่ให้ได้เอาต์พุตสองเอาต์พุตเพื่อจ่ายให้กับวงจรชับเกตต่อไป

เอกสารนี้เป็นเอกสารที่สงวนไว้สำหรับการใช้งานเพื่อการศึกษาเท่านั้น ไม่อนุญาตให้นำไปใช้ประโยชน์ด้านการค้า ไม่ว่ากรณีใดๆ ทั้งสิ้น อีกทั้งห้ามมิให้ตัดแปลงเนื้อหา และต้องอ้างอิงถึงเจ้าของเอกสารทุกครั้งที่มีการนำไปใช้



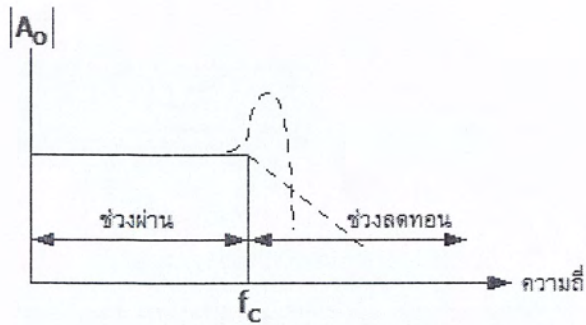
รูปที่ 2.12 สัญญาณที่ได้จากไมโครคอนโทรลเลอร์สำหรับขับ Mosfet 2 ชุด

### 2.2.6 ตัวกรองความถี่สูง (High frequency filter)

วงจรฟิลเตอร์คือวงจรที่ใช้สำหรับกรองสัญญาณให้ความถี่เฉพาะที่ต้องการใช้ผ่านออกมาได้เท่านั้นส่วนความถี่อื่นๆที่ไม่ต้องการผ่านจะถูกลดทอน (Attenuate) จนหมดไปวงจรฟิลเตอร์ที่ใช้งานกันมีอยู่ 2 ลักษณะคือแบบที่เป็นวงจรพาสซีฟ (Passive) และแบบแอคทีฟ (Active) วงจรในแบบที่เป็นพาสซีฟนั้นจะใช้เพียงอุปกรณ์ประเภทความต้านทาน ตัวเก็บประจุ และตัวเหนี่ยวนำเท่านั้น แต่ในวงจรประเภทแอคทีฟจะรวมถึงทรานซิสเตอร์และออปแอมป์ด้วย

แบ่งตามหน้าที่การทำงานของวงจรฟิลเตอร์เราสามารถแบ่งออกเป็น 4 ชนิดด้วยกัน คือ แบบกรองความถี่ต่ำผ่าน (Low-pass) แบบกรองความถี่สูงผ่าน (High-pass) แบบกรองความถี่ผ่านเฉพาะบางช่วง (Band-pass) และแบบที่กันไม่ให้ความถี่ผ่านเฉพาะบางช่วง (Band-eliminate หรือ Band-reject หรือ Notch) ในที่นี้จะขอกกล่าวแค่วงจรฟิลเตอร์กรองความถี่ต่ำผ่าน (Low-pass) ซึ่งเป็นวงจรที่ใช้ในโครงการ

วงจรแบบกรองความถี่ต่ำผ่านจะยอมให้ความถี่ผ่านได้ในช่วงตั้งแต่สัญญาณที่เป็นแรงดัน DC ไปจนถึงความถี่คัตออฟ (Cut-off frequency) แทนด้วยเครื่องหมาย  $f_c$  ความถี่คัตออฟคือความถี่ ณ ขณะที่อัตราขยายของวงจรมีค่าลดลงเป็น 0.707 เท่าของอัตราขยายปกติ (-3 เดซิเบล) บางครั้งอาจเรียกความถี่นี้ได้ว่า ความถี่มุม (Corner frequency) ถ้ามีความถี่ที่สูงเกิน  $f_c$  ผ่านวงจรจะลดทอนขนาดความถี่นั้นจนมีค่าน้อยมากๆ จากในรูปเส้นทึบแสดงถึงผลในทางอุดมคติ ส่วนเส้นประแสดงถึงผลของวงจรในทางความเป็นจริงในช่วงที่ยอมให้ความถี่ผ่านได้เราเรียกว่า ช่วงผ่าน ( Pass band ) และช่วงที่ไม่ยอมให้ความถี่ผ่านเรียกว่า ช่วงลดทอน (Stop band) แสดงได้ในรูปที่ 2.13



(ก) แบบกรองความถี่ต่ำผ่าน

รูปที่ 2.13 การตอบสนองความถี่ของวงจรฟิลเตอร์แบบกรองความถี่ต่ำผ่าน

### 2.2.6.1 การกรองความถี่สูง (Low-pass filter)

ไฟฟ้ากระแสสลับที่ได้หลังจากผ่านฟูลบริดจ์อินเวอร์เตอร์นั้นจะมีความถี่ที่สูงกว่า 50Hz ประปนอยู่จึงต้องทำการกรองออกด้วยซึ่งจะใช้วงจรกรองความถี่แบบกรองความถี่สูง (LC filter) การหาค่าขนาดค่าตัวเหนี่ยวนำ  $L$  และขนาดค่าตัวเก็บประจุ  $C$  นั้นจะคำนวณได้จาก



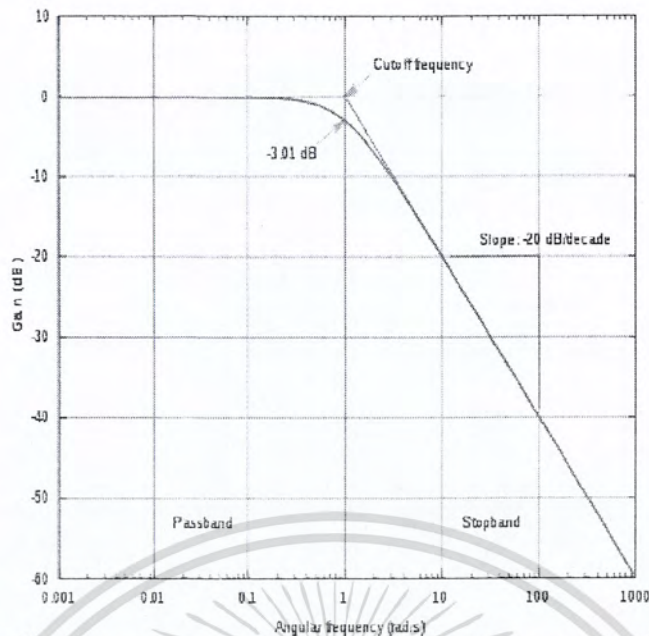
รูปที่ 2.14 วงจรกรองความถี่สูง

การคำนวณตัวกรองความถี่สูงเลือก LC ที่ใช้จาก

$$f_o = \frac{1}{2\pi\sqrt{LC}} \quad (2.6)$$

ตัวอย่างการออกแบบ หากต้องการความถี่คัทออฟ ( $f_o$ ) ที่ 1 kHz  
ตั้งนั้น เลือก  $C = 50 \mu\text{F}$  จะได้  $L = 0.59 \text{ mH}$

เอกสารนี้เป็นเอกสารที่สงวนไว้สำหรับการใช้งานเพื่อการศึกษาเท่านั้น ไม่อนุญาตให้นำไปใช้ประโยชน์ด้านการค้า  
ไม่ว่ากรณีใดๆ ทั้งสิ้น อีกทั้งห้ามมิให้ตัดแปลงเนื้อหา และต้องอ้างอิงถึงเจ้าของเอกสารทุกครั้งที่มีการนำไปใช้



รูปที่ 2.15 กราฟ Frequency response ของวงจรกรองความถี่สูง

### 2.2.7 หม้อแปลงเพิ่มระดับแรงดัน

หม้อแปลงไฟฟ้าเป็นอุปกรณ์ที่ใช้สำหรับแปลงพลังงานไฟฟ้ากระแสสลับจากวงจรหนึ่งไปยังอีกวงจรหนึ่งโดยวิธีทางวงจรแม่เหล็กซึ่งไม่มีจุดต่อไฟฟ้าถึงกันและไม่มีชิ้นส่วนทางกลเคลื่อนที่ โดยทั่วไปเราใช้หม้อแปลงไฟฟ้าเพื่อแปลงแรงเคลื่อนไฟฟ้าให้มีขนาดลดลงหรือเพิ่มขึ้นจากเดิมโดยมีความถี่ไฟฟ้าไม่เปลี่ยนแปลงหม้อแปลงไฟฟ้าจะประกอบไปด้วยโครงสร้างที่สำคัญ 2 ส่วนคือขดลวดและแกนเหล็กขดลวดจะมีสองขดหรือมากกว่าขึ้นอยู่กับชนิดของหม้อแปลงไฟฟ้า โดยขดที่หนึ่งคือขดลวดรับไฟหรือขดลวดปฐมภูมิขดที่สองคือขดลวดจ่ายไฟหรือขดลวดทุติยภูมิ

หลักการพื้นฐานของหม้อแปลงไฟฟ้าการแปลงแรงดันไฟฟ้าโดยใช้หม้อแปลงไฟฟ้านั้นใช้หลักการเหนี่ยวนำระหว่างเส้นแรงแม่เหล็กระหว่างขดลวดทั้งสองของหม้อแปลงไฟฟ้าโดยที่ขดลวดปฐมภูมิซึ่งต่อกับแหล่งจ่ายไฟฟ้าสลับนั้นจะทำให้เกิดกระแสไฟฟ้าไหลเข้าขดลวดเกิดเป็นเส้นแรงแม่เหล็กขึ้นที่ขดลวดปฐมภูมิและเส้นแรงแม่เหล็กนี้จะขยายตัวไปตัดกับขดลวดทุติยภูมิแรงดันที่เกิดขึ้นนี้จะมากหรือน้อยขึ้นอยู่กับจำนวนรอบของขดลวดทั้งสองกล่าวคือถ้าจำนวนรอบของขดลวดปฐมภูมิน้อยกว่าจำนวนรอบของขดลวดทุติยภูมิจะเป็นหม้อแปลงไฟฟ้าชนิดเพิ่มแรงดัน แต่ในทางตรงกันข้ามถ้าจำนวนรอบของขดปฐมภูมิมากกว่าทุติยภูมิจะเป็นหม้อแปลงไฟฟ้าชนิดลดแรงดัน

โดยหม้อแปลงเพิ่มระดับแรงดันจะทำหน้าที่ในการเพิ่มแรงดันให้ด้านขาออกโดยจะแปรผันกับอัตราส่วนหม้อแปลง (a) จากสมการที่ 2.7

$$a = \frac{V_1}{V_2} = \frac{N_1}{N_2} = \frac{I_2}{I_1} \quad (2.7)$$

เมื่อ

$V_1$  คือ แรงดันไฟฟ้าฝั่งปฐมภูมิ

$V_2$  คือ แรงดันไฟฟ้าฝั่งทุติยภูมิ

$N_1$  คือ จำนวนขดลวดฝั่งปฐมภูมิ

$N_2$  คือ จำนวนขดลวดฝั่งทุติยภูมิ

$I_1$  คือ กระแสไฟฟ้าฝั่งปฐมภูมิ

$I_2$  คือ กระแสไฟฟ้าฝั่งทุติยภูมิ

### 2.2.8 รีเลย์ (Relay)

รีเลย์เป็นอุปกรณ์ทำหน้าที่เป็นสวิตช์โดยมีหลักการทำงานคล้ายกับ ขดลวดแม่เหล็กไฟฟ้าหรือโซลินอยด์ (Solenoid) รีเลย์ใช้ในการควบคุมวงจร ไฟฟ้าได้อย่างหลากหลาย รีเลย์เป็นสวิตช์ควบคุมที่ทำงานด้วยไฟฟ้า แบ่งออกตามลักษณะการใช้งานได้เป็น 2 ประเภทคือ

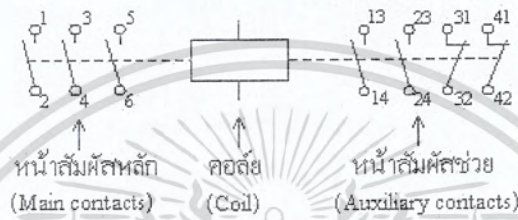
1. รีเลย์กำลัง (Power relay) หรือมักเรียกกันว่าคอนแทกเตอร์ (Contactor or Magnetic contactor) ใช้ในการควบคุมไฟฟ้ากำลังมีขนาดใหญ่กว่ารีเลย์ธรรมดา

2. รีเลย์ควบคุม (Control Relay) มีขนาดเล็กกำลังไฟฟ้าต่ำ ใช้ในวงจรควบคุมทั่วไปที่มีกำลังไฟฟ้าไม่มากนัก หรือเพื่อการควบคุมรีเลย์หรือคอนแทกเตอร์ขนาดใหญ่ รีเลย์ควบคุมบางที่เรียกกันง่าย ๆ ว่า "รีเลย์"

หน้าที่ของคอนแทกเตอร์ คือ การใช้กำลังไฟฟ้าจำนวนน้อยเพื่อไปควบคุมการตัดต่อกำลังไฟฟ้าจำนวนมาก คอนแทกเตอร์ ทำให้เราสามารถควบคุมกำลังไฟฟ้าในตำแหน่งอื่นๆ ของระบบไฟฟ้าได้ สายไฟควบคุมให้รีเลย์กำลังหรือคอนแทกเตอร์ทำงานเป็นสายไฟขนาดเล็กต่เข้ากับสวิตช์ควบคุมและคอยล์ของคอนแทกเตอร์ กำลังไฟฟ้าที่ป้อนเข้าคอยล์อาจจะเป็นไฟฟ้ากระแสตรง หรือไฟฟ้ากระแสสลับก็ได้ขึ้นอยู่กับวิธีการออกแบบการใช้คอนแทกเตอร์ทำให้สามารถควบคุมวงจรจากระยะไกล (Remote) ได้ ซึ่งทำให้เกิดความปลอดภัยกับผู้ปฏิบัติงานในการควบคุมกำลังไฟฟ้าคอนแทกเตอร์ (Contactors) นอกจากนี้จะมีหน้าสัมผัสทั้งส่วนเคลื่อนที่และหน้าสัมผัสส่วนที่อยู่กับที่แล้วหน้าสัมผัสภายในของคอนแทกเตอร์ยังแบ่งออกเป็น 2 ส่วนตามลักษณะของการทำงานซึ่งแบ่งออกเป็น 2 ส่วนดังนี้คือ

1. หน้าสัมผัสหลัก (Main Contacts) โดยปกติแล้วหน้าสัมผัสหลักมี 3 อัน สำหรับส่งผ่านกำลังไฟฟ้า 3 เฟสเข้าไปสู่มอเตอร์ หรือโหลดที่ใช้แรงดันไฟฟ้า 3 เฟส หน้าสัมผัสหลักของคอนแทกเตอร์มีขนาดใหญ่ทนแรงดันและกระแสได้สูง หน้าสัมผัสหลักเป็นชนิดปกติเปิด (Normally open; N.O. contact) อักษรกำกับหน้าสัมผัสด้านแหล่งจ่ายคือ 1, 3, 5 หรือ L1, L2, L3 และด้านโหลดคือ 2, 4, 6 หรือ T1, T2, T3 ดังรูปที่ 2.16

2. หน้าสัมผัสช่วย (Auxiliary Contacts) หน้าสัมผัสชนิดนี้ติดตั้งอยู่ด้านข้างทั้งสองด้านของตัวคอนแทกเตอร์ มีขนาดเล็กทนกระแสได้ต่ำทำหน้าที่ช่วยการทำงานของวงจร เช่น เป็นหน้าสัมผัสที่ทำให้คอนแทกเตอร์ทำงานได้ตลอดเวลา หรือเรียกว่า "Holding" หรือ "Maintaining contact " หน้าสัมผัสช่วยนี้จะเป็นหน้าสัมผัสแบบโยกได้สองทาง โดยจะถูกดึงขึ้น-ลงไปตามจังหวะการดูด-ปล่อยของคอนแทกเตอร์ อักษรกำกับหน้าสัมผัสช่วย จะเป็น 13, 14 สำหรับคอนแทกเตอร์ที่มีหน้าสัมผัสช่วยแบบปกติเปิด 1 ชุด ถ้ามี N.O.ชุดที่ 2จะเป็น 23 , 24 และหน้าสัมผัสช่วยแบบปกติปิดจะมีอักษรกำกับเป็น 31 , 32 และ 41 , 42



รูปที่ 2.16 คอนแทกเตอร์ของรีเลย์

2.3 ความสัมพันธ์ระหว่างฮาร์มอนิกส์กับดัชนีการมอดูเลต

ในวงจรอินเวอร์เตอร์ ต้องการจะสร้างแรงดันไฟฟ้าต้านออกเป็นรูปคลื่นไซน์ที่สามารถปรับขนาดและความถี่ตามต้องการได้ โดยอัตราการส่วนการมอดูเลต  $m_a$  จะเป็นส่วนเพิ่มแรงดันจากสมการ

$$V_{A0} = \frac{V_{control} V_d}{\hat{V}_{tri} 2} \tag{2.8}$$

$$V_{control} = \hat{V}_{control} \sin \omega_1 t \tag{2.9}$$

$$(V_{A0})_1 = \left( \frac{\hat{V}_{control} V_d}{\hat{V}_{tri} 2} \right) \sin(\omega_1 t) \tag{2.10}$$

$$(V_{A0})_1 = m_a \frac{V_d}{2} \sin(\omega_1 t) \tag{2.11}$$

$$(\hat{V}_{A0})_1 = m_a \frac{V_d}{2} \tag{2.12}$$

เมื่อ

$V_{A0}$  คือ แรงดันไฟฟ้าขาออก

$V_{control}$  คือ แรงดันไฟฟ้าของรูปคลื่นไซน์

$V_d$  คือ แรงดันไฟฟ้ากระแสตรง

เอกสารนี้เป็นเอกสารที่สงวนไว้สำหรับการใช้งานเพื่อการศึกษาเท่านั้น ไม่อนุญาตให้นำไปใช้ประโยชน์ด้านการค้าไม่ว่ากรณีใดๆ ทั้งสิ้น อีกทั้งห้ามมิให้ตัดแปลงเนื้อหา และต้องอ้างอิงถึงเจ้าของเอกสารทุกครั้งที่มีการนำไปใช้

$\hat{V}_{iri}$  คือ ค่ายอดของแรงดันไฟฟ้ารูปคลื่นสามเหลี่ยมที่เป็นตัวกำหนดความถี่  
สวิตซ์

$\hat{V}_{control}$  คือ ค่ายอดของแรงดันไฟฟ้าของรูปคลื่นไซน์

$\omega_1$  คือ ความเร็วเชิงมุมของความถี่หลักมูล

$(V_{A0})_1$  คือ แรงดันไฟฟ้าที่ความถี่หลักมูล

$(\hat{V}_{A0})_1$  คือ ค่ายอดของแรงดันไฟฟ้าที่ความถี่หลักมูล

$m_a$  คือ ดัชนีการมอดูเลตด้านแอมพลิจูด

ส่วนค่าไซด์แบนด์ฮาร์โมนิก (Sideband harmonic) จะเกิดขึ้นรอบ ๆ  $1m_f, 2mf, 3mf, \dots$

ดังแสดงในสมการ

$$f_h = (jm_f \pm k) f_1 \quad (2.13)$$

$$h = j(m_f) \pm k \quad (2.14)$$

เมื่อ

$h=1$  คือความถี่หลักมูล (Fundamental frequency)

ถ้าค่า  $j$  เป็นเลขคู่ ค่าฮาร์โมนิกจะเท่ากับค่า  $k$  ที่เป็นเลขคู่

ถ้าค่า  $j$  เป็นเลขคี่ ค่าฮาร์โมนิกจะเท่ากับค่า  $k$  ที่เป็นเลขคี่

ในกรณีที่  $m_a > 1$  จะเป็นช่วงการควบคุมแบบโอเวอร์มอดูเลต ซึ่งผลของแรงดันไฟฟ้าด้านออกจะมีองค์ประกอบฮาร์โมนิกสูงกว่าช่วงการมอดูเลตเชิงเส้น แต่มีข้อดีคือขนาดแรงดันไฟฟ้าของความถี่หลักมูลจะมีค่าสูงกว่าในกรณีที่  $m_a \leq 1$  แต่การเพิ่มขึ้นของแรงดันไฟฟ้าจะไม่เป็นเชิงเส้นจนถึงค่าคงที่ค่าหนึ่ง แต่อย่างไรก็ตามข้อเสียของกรณีโอเวอร์มอดูเลชันก็คือทำให้เกิดฮาร์โมนิกอันดับต่ำ ๆ ที่อยู่ใกล้กับฮาร์โมนิกอันดับหนึ่งหรือความถี่หลักมูล เช่นฮาร์โมนิกอันดับที่ 3, 5, 7 เป็นต้น

ส่วนอัตราการมอดูเลตด้านความถี่ ( $m_f$ ) ฮาร์โมนิกควรจะเป็นเลขคี่ เพราะถ้ากำหนดให้ค่า  $m_f$  เป็นเลขคี่ก็จะทำให้เกิดการสมมาตรเลขคี่ ผลที่ได้คือจะมีเพียงฮาร์โมนิกเลขคี่เท่านั้นที่ยังปรากฏอยู่ใน  $V_{A0}$  ส่วนฮาร์โมนิกเลขคู่จะหักล้างกัน โดยที่ช่วง  $m_f > 21$  จะถือว่า  $m_f$  มีค่ามาก โดยที่ขนาดของฮาร์โมนิกย่อย (Sub-harmonics) จะมีค่าน้อยเมื่อเทียบกับค่า  $m_f$  โดยมีความสัมพันธ์ระหว่าง ฮาร์โมนิกกับอัตราการมอดูเลตด้านแอมพลิจูด  $m_a$  ดังตารางที่ 2.2

ตารางที่ 2.2 ความสัมพันธ์ระหว่างฮาร์มอนิกกับอัตราการผลิตด้านแอมพลิจูด

harmonic	Ma=0.2	Ma=0.4	Ma=0.6	Ma=0.8	Ma=1
Fundamental	0.2	0.4	0.6	0.8	1
$M_f$	1.242	1.15	1.006	0.818	0.601
$M_{f\pm 2}$	0.016	0.061	0.131	0.220	0.318
$M_{f\pm 4}$					0.018
$2M_{f\pm 1}$	0.19	0.326	0.37	0.314	0.181
$2M_{f\pm 3}$		0.024	0.071	0.139	0.212
$2M_{f\pm 5}$				0.013	0.033
$3M_f$	0.335	0.123	0.083	0.171	0.113
$3M_{f\pm 2}$	0.044	0.139	0.203	0.176	0.062
$3M_{f\pm 4}$		0.012	0.047	0.104	0.157
$3M_{f\pm 6}$				0.016	0.44
$4M_{f\pm 1}$	0.163	0.157	0.008	0.105	0.068
$4M_{f\pm 3}$	0.012	0.07	0.132	0.115	0.009
$4M_{f\pm 5}$			0.034	0.084	0.119
$4M_{f\pm 7}$				0.017	0.05

#### 2.4 การควบคุมแบบพีไอ (Proportional-Integral Controller)

การควบคุมแบบพีไอโดยควบคุมแรงดันไฟฟ้า ซึ่งใช้การควบคุมแบบระบบควบคุมแบบสัดส่วนและปริพันธ์ (PI controller) เป็นระบบควบคุมแบบป้อนกลับ ซึ่งค่าที่นำไปใช้ในการคำนวณเป็นค่าความผิดพลาดที่หามาจากความแตกต่างของตัวแปรในกระบวนการและค่าที่ต้องการ ตัวควบคุมจะพยายามลดค่าผิดพลาดให้เหลือน้อยที่สุดด้วยการปรับค่าสัญญาณขาเข้าของกระบวนการ ค่าตัวแปรของ พีไอ ที่ใช้จะปรับเปลี่ยนตามธรรมชาติของระบบ โดยพี คือ เทอมของสัดส่วน จะเปลี่ยนแปลงเป็นสัดส่วนของค่าความผิดพลาด การตอบสนองของสัดส่วนสามารถทำได้โดยการคูณค่าความผิดพลาดด้วยค่าคงที่ ( $K_p$ ) หรือที่เรียกว่าอัตราขยายสัดส่วน ดังสมการที่ 2.8

$$P_{out} = K_p e(t) \quad (2.8)$$

เอกสารนี้เป็นเอกสารที่สงวนไว้สำหรับการใช้งานเพื่อการศึกษาเท่านั้น ไม่อนุญาตให้นำไปใช้ประโยชน์ด้านการค้า ไม่ว่าจะกรณีใดๆ ทั้งสิ้น อีกทั้งห้ามมิให้ตัดแปลงเนื้อหา และต้องอ้างอิงถึงเจ้าของเอกสารทุกครั้งที่มีการนำไปใช้

$P_{out}$  คือ สัญญาณขาออกของเทอมสัดส่วน

$K_p$  คือ อัตราขยายสัดส่วน

$e(t)$  คือ ค่าความผิดพลาด

โดยถ้าอัตราขยายสัดส่วนที่สูงค่าความผิดพลาดก็จะเปลี่ยนแปลงลดลงมากเช่นกันอย่างไรก็ตาม หากค่านี้สูงเกินไประบบจะไม่มีเสถียรภาพได้ ในทางตรงกันข้ามหากอัตราขยายสัดส่วนที่ต่ำ ระบบควบคุมจะมีผลตอบสนองต่อกระบวนการช้า และเทอมไอ คือผลจากเทอมอินทิเกรต เป็นสัดส่วนของขนาดความผิดพลาดและระยะเวลาของความผิดพลาด ผลรวมของความผิดพลาดในทุกช่วงเวลา จะให้ออฟเซตสะสมที่ควรจะเป็นในค่าก่อนหน้า ความผิดพลาดสะสมจะถูกคูณโดยอัตราขยายปริพันธ์ โดยที่ขนาดของเทอมปริพันธ์จะกำหนดโดยอัตราขยายปริพันธ์ ( $K_i$ ) ดังสมการที่ 2.9

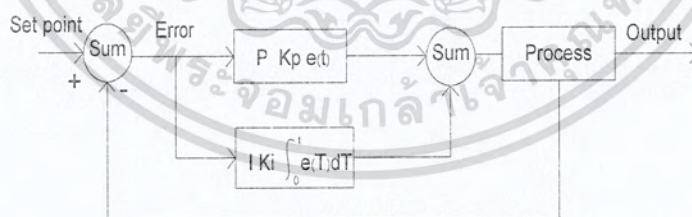
$$I_{out} = K_i \int_0^T e(T) dT \quad (2.9)$$

$I_{out}$  คือ สัญญาณขาออกของเทอมปริพันธ์

$K_i$  คือ อัตราขยายปริพันธ์

$e(T)$  คือ ค่าความผิดพลาด

เทอมปริพันธ์ (เมื่อรวมกับเทอมสัดส่วน) จะเร่งกระบวนการให้เข้าสู่จุดที่ต้องการและขจัดความผิดพลาดที่เหลืออยู่ที่เกิดจากการใช้เพียงเทอมสัดส่วน แต่อย่างไรก็ตาม เทอมปริพันธ์เป็นการตอบสนองต่อความผิดพลาดสะสมในอดีต จึงอาจทำให้เกิดโอเวอร์ชูตได้ โดยที่เทอมสัดส่วนและปริพันธ์ จะนำมารวมกันเป็นสัญญาณขาออกของการควบคุมแบบพีไอ ดังรูปที่ 2.17



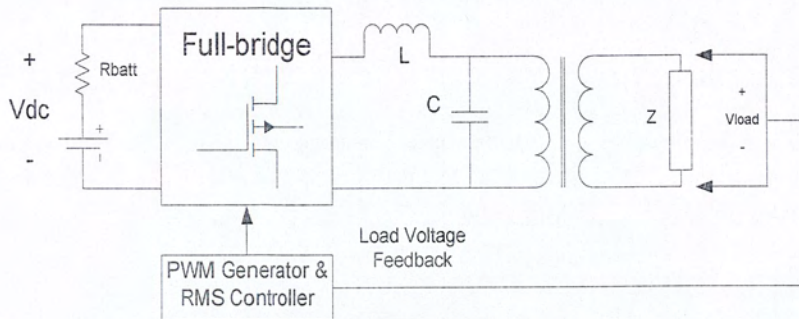
รูปที่ 2.17 โครงสร้างการควบคุมระบบแบบพีไอ

ซึ่งสามารถแสดงสมการ การรวมของสัญญาณขาออกในการควบคุมสวิตซ์ได้ดังสมการที่ 2.10

$$u(t) = K_p e(t) + K_i \int_0^T e(T) dT \quad (2.10)$$

เอกสารนี้เป็นเอกสารที่สงวนไว้สำหรับการใช้งานเพื่อการศึกษาเท่านั้น ไม่อนุญาตให้นำไปใช้ประโยชน์ด้านการค้า ไม่ว่ากรณีใดๆ ทั้งสิ้น อีกทั้งห้ามมิให้ตัดแปลงเนื้อหา และต้องอ้างอิงถึงเจ้าของเอกสารทุกครั้งที่มีการนำไปใช้

โดยสัญญาณควบคุมสวิตช์นี้ได้มาจากการตรวจจับสัญญาณแรงดันไฟฟ้า และผ่านวงจรควบคุมเพื่อสั่งการสวิตช์ให้เหมาะสม และสามารถรักษาระดับแรงดันอาร์เอ็มเอสด้านออกให้คงที่ได้ ซึ่งจะมีระบบการทำงานดังรูปที่ 2.18



รูปที่ 2.18 การควบคุมแรงดันด้านออกของอินเวอร์เตอร์



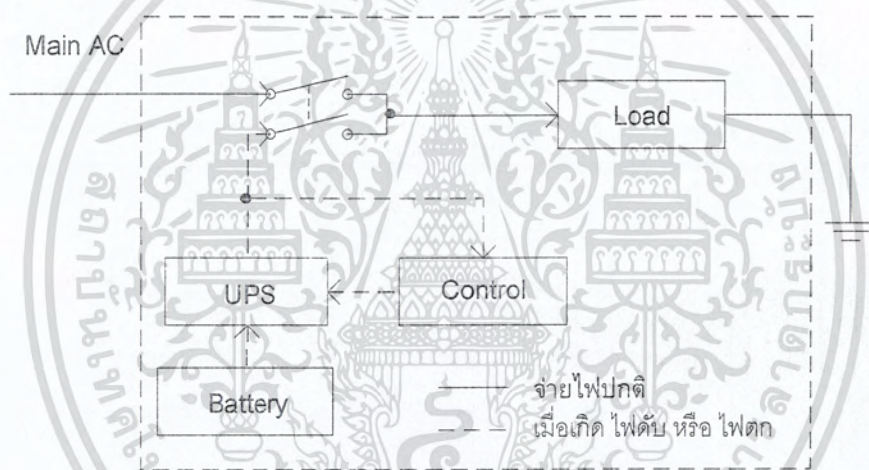
เอกสารนี้เป็นเอกสารที่สงวนไว้สำหรับการใช้งานเพื่อการศึกษาเท่านั้น ไม่อนุญาตให้นำไปใช้ประโยชน์ด้านการค้า ไม่ว่าจะกรณีใดๆ ทั้งสิ้น อีกทั้งห้ามมิให้ตัดแปลงเนื้อหา และต้องอ้างอิงถึงเจ้าของเอกสารทุกครั้งที่มีการนำไปใช้

### บทที่ 3

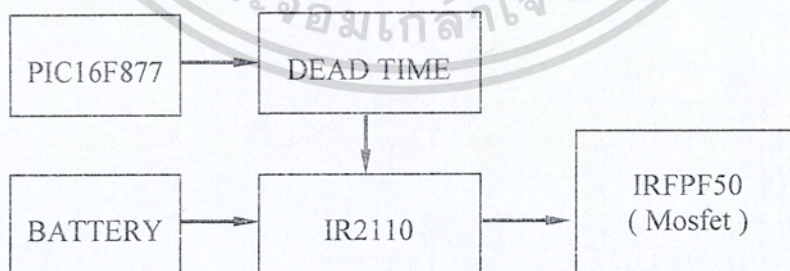
## การออกแบบและการสร้างเครื่องสำรองไฟฟ้า

### 3.1 การออกแบบวงจรอินเวอร์เตอร์

ในการออกแบบวงจรอินเวอร์เตอร์นั้น จะใช้ Mosfet เบอร์ IRFPF50 ที่สามารถทนกระแสได้ 6.7 A และทนแรงดันได้ 900 V ในการสวิตช์ซึ่ง โดยใช้ IR2110 เป็นตัวไดรฟ์ ซึ่งสัญญาณขับจะได้อาจมาจาก PIC16F877 แบบ PWM โดยผ่าน วงจรเดดไทม์ที่เวลา Dead Time ประมาณ 2  $\mu$ s ก่อนจึงจะมาใช้ขับ Mosfet ได้โดยวงจรรวมของแหล่งจ่ายไฟฟ้าแบบต่อเนื่องเฟสเดียวที่ใช้ในโครงการและบล็อกไดอะแกรมการทำงานของอินเวอร์เตอร์ดังรูปที่ 3.1 และรูปที่ 3.2 ตามลำดับ



รูปที่ 3.1 วงจรรวมของแหล่งจ่ายไฟฟ้าแบบต่อเนื่องเฟสเดียว

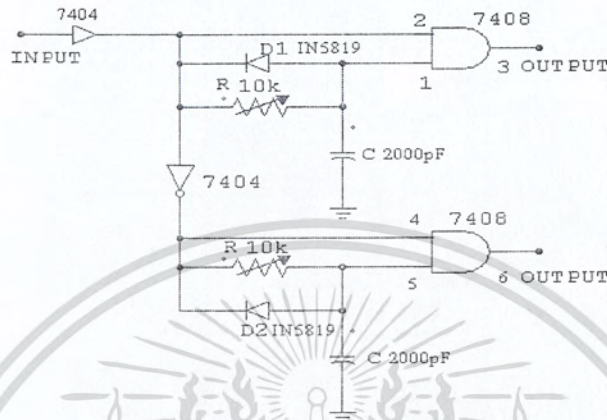


รูปที่ 3.2 บล็อกไดอะแกรมการทำงานของอินเวอร์เตอร์

เอกสารนี้เป็นเอกสารที่สงวนไว้สำหรับการใช้งานเพื่อการศึกษาเท่านั้น ไม่อนุญาตให้นำไปใช้ประโยชน์ด้านการค้า ไม่ว่าจะกรณีใดๆ ทั้งสิ้น อีกทั้งห้ามมิให้ตัดแปลงเนื้อหา และต้องอ้างอิงถึงเจ้าของเอกสารทุกครั้งที่มีการนำไปใช้

### 3.2 การออกแบบวงจรหน่วงเวลา (Dead Time)

การขั้มอสเฟสของอินเวอร์เตอร์จำเป็นต้องใช้วงจรหน่วงเวลา (Dead Time) เพื่อให้ทำให้การทริก (trig) ของมอสเฟตไม่ให้อินเฟสกันเพื่อป้องกันการลัดวงจร ในโครงงานนี้จะออกแบบให้วงจรหน่วงเวลามีค่า 2  $\mu\text{s}$  จากรูปที่ 2.11จะเป็นวงจรหน่วงเวลาที่ใช้ในโครงงานและจากวงจรก็สามารถคำนวณหาเวลาหน่วงจากสมการที่ 3.1



รูปที่ 2.11 วงจรหน่วงเวลาที่ใช้ในโครงงาน

$$\tau = RC$$

(3.1)

เมื่อ

R คือ ค่าความต้าน

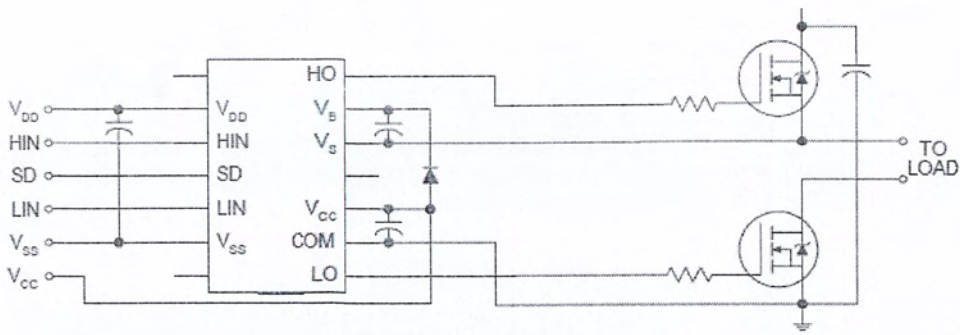
C คือ ค่าความเก็บประจุ

ในโครงงานนี้ ใช้ ค่าความต้านทาน 20  $\Omega$  ค่าความเก็บประจุ 0.1  $\mu\text{F}$  โดยโครงงานนี้จะใช้ไอซี 4081 เป็นแอนแกต 4069 เป็นน็อตเกต และ 74HC541 เป็นบัฟเฟอร์

### 3.3 การออกแบบวงจรขับเกต (Gate Drive)

ในโครงงานนี้ได้ใช้ IR2110 เป็นตัวขับตัวสวิตซ์ซิ่ง ซึ่งมีความกระฉับเพราะตัวขับสัญญาณตัวนี้สามารถขั้มมอสเฟตได้ถึง 2 ตัว

เอกสารนี้เป็นเอกสารที่สงวนไว้สำหรับการใช้งานเพื่อการศึกษาเท่านั้น ไม่อนุญาตให้นำไปใช้ประโยชน์ด้านการค้าไม่ว่ากรณีใดๆ ทั้งสิ้น อีกทั้งห้ามมิให้ตัดแปลงเนื้อหา และต้องอ้างอิงถึงเจ้าของเอกสารทุกครั้งที่มีการนำไปใช้



รูปที่ 2.12 วงจรขับเคลื่อนของ IR2110

### 3.4 การเลือกใช้หม้อแปลง

สำหรับหม้อแปลงที่ใช้ในโครงงานนี้จะทำการแปลงสัญญาณสี่เหลี่ยมด้านนอกของอินเวอร์เตอร์ให้มีแรงดันสูงขึ้นและจะให้สัญญาณสี่เหลี่ยมทางด้านทุติยภูมิของหม้อแปลงที่มีความถี่ 50 Hz ไปใช้ในการทำงาน

#### 3.4.1 ค่าโวลต์แอมป์ (VA) ของหม้อแปลง

สำหรับแหล่งจ่ายกำลังไฟฟ้าสำรองในโครงงานนี้จะกำหนดขนาดไว้ที่ 500 VA

#### 3.4.2 พิกัดทางด้านแรงดันและกระแส

ด้านปฐมภูมิ จะเป็นด้านที่รับแรงดันรูปสี่เหลี่ยมมาจากการขับมอสเฟสทั้ง 2 ชุดซึ่งจะมีขนาดแรงดันประมาณ 36 V

ดังนั้นหากระแสจากสมการ

$$VA = V_p \times I_p = V_s \times I_s \quad (3.2)$$

เมื่อ

VA คือโวลต์แอมป์ของหม้อแปลง

$V_p$  คือแรงดันไฟฟ้าฝั่งปฐมภูมิ

$V_s$  คือแรงดันไฟฟ้าฝั่งทุติยภูมิ

$I_p$  คือกระแสไฟฟ้าฝั่งปฐมภูมิ

$I_s$  คือกระแสไฟฟ้าฝั่งทุติยภูมิ

ดังนั้น

$$\begin{aligned} I_p &= \frac{1 \text{ VA}}{36 V_p} \\ I_p &= \frac{500}{36} \\ &= 13.88 \text{ A.} \end{aligned}$$

เอกสารนี้เป็นเอกสารที่สงวนไว้สำหรับการใช้งานเพื่อการศึกษาเท่านั้น ไม่อนุญาตให้นำไปใช้ประโยชน์ด้านการค้า ไม่ว่าจะกรณีใดๆ ทั้งสิ้น อีกทั้งห้ามมิให้ตัดแปลงเนื้อหา และต้องอ้างอิงถึงเจ้าของเอกสารทุกครั้งที่มีการนำไปใช้

ส่วนด้านทุติยภูมิจะเป็นด้านแรงดันด้านออกซึ่งจะมีขนาดแรงดัน 220 โวลต์

$$\begin{aligned} \text{ดังนั้นกระแสจะมีค่า } I_s &= \frac{VA}{V_s} \\ I_s &= \frac{500}{220} \\ &= 2.27 \text{ A.} \end{aligned}$$

### 3.5 การเลือกใช้แบตเตอรี่

ในส่วนของแหล่งจ่ายไฟสำรองนี้ แบตเตอรี่ที่เลือกใช้นั้นจะเป็นชนิดตะกั่ว-กรด ปิดผนึก แบบ Free maintenance ขนาด 7.5 แอมแปร์-ชั่วโมง โดยที่แบตเตอรี่นี้ไม่มีก๊าซเกิดขึ้นซึ่งเป็นผลดีในการช่วยแก้ปัญหาอายุการใช้งานแหล่งจ่ายไฟฟ้าสำรองสั้น เนื่องจากการเกิดก๊าซในการอัดประจุมากเกินไป ส่วนการอัดประจุแบตเตอรี่จะเป็นแบบแรงดันคงที่ เนื่องจากแบตเตอรี่ในแหล่งจ่ายไฟฟ้าสำรองจะทำงานแบบแบ็คอัพ หรือ standby ซึ่งแบตเตอรี่เป็นแหล่งพลังงานสำรองที่ต้องนำมาใช้ในสภาวะเกิดความผิดปกติของระบบการไฟฟ้า ฉะนั้นแบตเตอรี่จะต้องถูกอัดประจุตลอดเวลา โดยในช่วงที่แบตเตอรี่เต็มแล้วจะต้องอัดประจุให้กับแบตเตอรี่ด้วยอัตราการอัดประจุต่ำ ๆ เพื่อชดเชยค่าแรงดันเนื่องจากความต้านทานภายในแบตเตอรี่โดยแรงดันที่จ่ายให้แบตเตอรี่เพื่ออัดประจุเป็นแบบ Float charge ที่ 14 โวลต์

#### 3.5.1 การคำนวณเพื่อเลือกใช้ขนาดของแบตเตอรี่

กำหนดค่าต่าง ๆ ดังนี้

1. กำลังไฟฟ้าพิกัดของแหล่งจ่ายไฟฟ้าสำรอง 500 VA ที่ PF = 0.8
2. เวลาสำรอง 10 นาทีที่ภาระโหลดคอมพิวเตอรื
3. ประสิทธิภาพของอินเวอร์เตอร์คือ 0.9
4. แรงดันปกติของแบตเตอรี่ 24 โวลต์

ในการคำนวณหาขนาดแบตเตอรี่ จะกำหนดให้

VA = โวลต์แอมป์พิกัดของภาระ

PF = ค่าเพาเวอร์แฟกเตอร์ของภาระ

N = ประสิทธิภาพของอินเวอร์เตอร์

$V_b$  = แรงดันปกติของแบตเตอรี่

$$\begin{aligned} \text{กำลังไฟฟ้าจากแบตเตอรี่} &= VA \times PF \times \text{Efficiency of Inverter} \\ &= 500 \times 0.8 \times \frac{1}{0.9} \\ &= 444.4 \text{ Watt} \end{aligned}$$

เอกสารนี้เป็นเอกสารที่สงวนไว้สำหรับการใช้งานเพื่อการศึกษาเท่านั้น ไม่อนุญาตให้นำไปใช้ประโยชน์ด้านการค้า ไม่ว่าจะกรณีใดๆ ทั้งสิ้น อีกทั้งห้ามมิให้ตัดแปลงเนื้อหา และต้องอ้างอิงถึงเจ้าของเอกสารทุกครั้งที่มีการนำไปใช้

$$\begin{aligned} \text{กระแสจากแบตเตอรี่} &= \frac{W}{EV_{\text{battery}}} \\ &= 20.8 \text{ A} \end{aligned}$$

$$\begin{aligned} \text{ค่าแอมแปร์ - ชั่วโมง} &= W \times \left(\frac{t}{60}\right) \times \left(\frac{1}{V_{\text{battery}}}\right) \\ &= 444.4 \times \left(\frac{10}{60}\right) \times \left(\frac{1}{24}\right) \\ &= 3.08 \text{ Ah} \end{aligned}$$

ดังนั้นขนาดของแอมแปร์ - ชั่วโมง จะใช้ขนาด 7.2 Ah ที่พิกัดของแหล่งจ่ายไฟฟ้าสำรองนี้สรุป แบตเตอรี่ที่ใช้ในโครงการ

1. ชนิด Sealed lead – Acid Battery ขนาด 7.2 Ah
2. การใช้งานแบบ standby สำรองไฟได้นาน 10 นาทีที่ภาระโหลดคอมพิวเตอร์
3. การทำงานเป็นแบบ float charge
4. เครื่องอัดประจุแบตเตอรี่เป็นแบบแรงดันคงที่
5. การอัดประจุใช้กระแสเท่ากับ  $0.13 \times 7.2 \text{ Ah} = 936 \text{ mA}$

### 3.6 การเลือกใช้อุปกรณ์รีเลย์

ในส่วนของรีเลย์ได้ใช้รีเลย์ที่สามารถรับแรงดันได้ 250Volt แล้วสับสวิทช์ที่ประมาณ 70% ของโวลต์ ซึ่งจะประมาณ ได้ภายในเวลา 1 ลูกคลื่นหรือเท่ากับ 0.05 วินาที

### 3.7 การออกแบบตัวกรองความถี่สูง (Low pass filter)

ในส่วนของตัวกรองความถี่สูงได้ใช้ความถี่ที่ 10 kHz เพราะฉะนั้นการออกแบบตัวกรองความถี่ต่ำผ่านควรใช้ความถี่คัตออฟให้ต่ำกว่า 10 kHz ซึ่งวงจรในโครงการได้ใช้ค่าของตัวเหนี่ยวนำขนาด  $47 \mu\text{H}$  และค่าของตัวเก็บประจุขนาด  $4.7 \mu\text{F}$  ซึ่งในโครงการตัวเหนี่ยวนำและตัวเก็บประจุซึ่งต่อแบบอนุกรมกันเมื่อวิเคราะห์วงจรจะพบว่าค่าความเหนี่ยวนำของตัวเหนี่ยวนำ ( $X_L$ ) จะเพิ่มขึ้นเมื่อความถี่เพิ่มขึ้นซึ่งจะตรงข้ามกับค่าความเหนี่ยวนำของตัวเก็บประจุ ( $X_C$ ) ซึ่งจะลดลงเมื่อความถี่เพิ่มขึ้น ดังนั้นที่ความถี่เดียวกันจะได้ดังสมการที่ 3.3

$$X_L = -X_C \quad (3.3)$$

$$\omega L = \frac{1}{\omega C} \quad (3.4)$$

$$\text{จาก } \omega = 2\pi f$$

เอกสารนี้เป็นเอกสารที่สงวนไว้สำหรับการใช้งานเพื่อการศึกษาเท่านั้น ไม่อนุญาตให้นำไปใช้ประโยชน์ด้านการค้า ไม่ว่ากรณีใดๆ ทั้งสิ้น อีกทั้งห้ามมิให้ตัดแปลงเนื้อหา และต้องอ้างอิงถึงเจ้าของเอกสารทุกครั้งที่มีการนำไปใช้

$$2\pi fL = \frac{1}{2\pi fC} \quad (3.5)$$

$$f = \frac{1}{2\pi\sqrt{LC}} \quad (3.6)$$

จะได้ความถี่คัตออฟเท่ากับ

$$f = \frac{1}{2\pi\sqrt{(47 \times 10^{-6}) \times (4.7 \times 10^{-6})}}$$

$$f = 5.354 \text{ kHz}$$

### 3.8 การออกแบบตัวควบคุมแรงดันไฟฟ้า

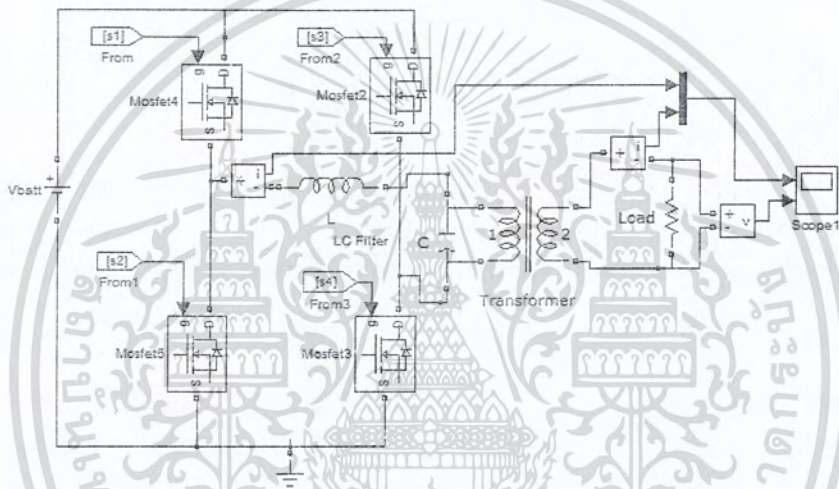
ในส่วนของการควบคุมแรงดันไฟฟ้า เป็นการควบคุมแบบพีคคอนโทรล โดยจะทำการป้อนกลับโดยใช้บริดจ์ไดโอด จากนั้นก็มาผ่านวงจรแบ่งแรงดัน (Divider) ซึ่งออกแบบให้แรงดันลดลง 110 เท่า เพื่อให้พีคตแรงดันที่จะเข้าไมโครคอนโทรลเลอร์ไม่เกิน 5V และมีวงจรมัลติเพล็กซ์ โดยการต่อออปแอมป์ซึ่งจะทำหน้าที่แยกไม่ให้อุปกรณ์มารบกวนกัน อีกทั้งออปแอมป์ใช้ไฟเลี้ยง 5V กับ 0V จึงทำให้เป็นตัวลิมิตไม่ให้แรงดันเกินเข้าไมโครคอนโทรลเลอร์ และระหว่างออปแอมป์ได้ทำการออกแบบใส่ตัวเก็บประจุชานกับตัวต้านทานเพื่อกรองแรงดันให้เรียบและตอบสนองเร็วขึ้นอีกด้วย

## บทที่ 4

### การจำลองด้วยโปรแกรมคอมพิวเตอร์และผลการทดลองจริง

#### 4.1 การจำลองอินเวอร์เตอร์ด้วยโปรแกรม MATLAB Simulink

โครงการนี้กำหนดค่าพารามิเตอร์ที่ใช้ในการจำลองของวงจรคือ  $V_{batt} = 36V$ ,  $L = 0.1mH$ ,  $C = 1000\mu F$ , อัตราส่วนหม้อแปลง 1:10, ความถี่สวิตชิง 10kHz, ใช้มอสเฟตเป็นอุปกรณ์ในการสวิตช์ จ่ายโหลดแบบเชิงเส้นขนาด 300 Watt แรงดันขณะไม่มีโหลดต้านเอาท์พุทเท่ากับ 220V ดังรูปที่ 4.1



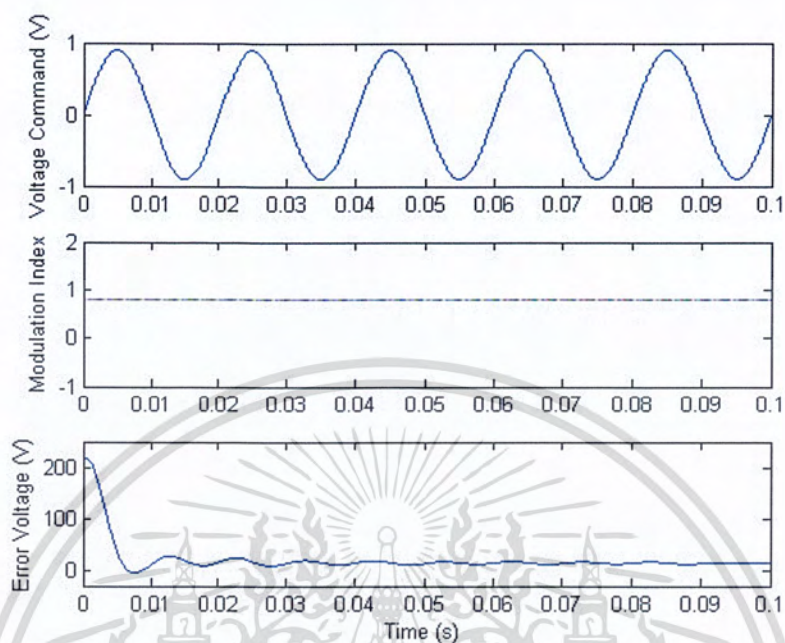
รูปที่ 4.1 การจำลองอินเวอร์เตอร์โดยใช้หม้อแปลงเพิ่มระดับแรงดัน

โดยทำการจำลองเปรียบเทียบระบบเปิดกับระบบที่มีการป้อนกลับไปควบคุมการสวิตช์ โดยใช้การควบคุมแบบพีไอ ซึ่งสามารถควบคุมค่าดัชนีการมอดูเลตได้ จากผลการจำลองอินเวอร์เตอร์ พบว่าระบบที่มีการควบคุมจะสามารถรักษาระดับแรงดันได้ดีกว่าระบบที่ไม่มีการป้อนกลับ โดยเฉพาะกรณีที่มีการเปลี่ยนแปลงโหลด จากรูปที่ 4.1 จะพบว่าสัญญาณควบคุมการสวิตช์จะมีการเปลี่ยนแปลงตามภาระทางไฟฟ้าที่เปลี่ยนไป โดยควบคุมการเปลี่ยนแปลงค่าดัชนีการมอดูเลตทำให้สามารถควบคุมแรงดันไฟฟ้าทางต้านเอาท์พุทให้ตรงตามค่าที่ต้องการได้อย่างมีประสิทธิภาพ โดยสังเกตได้จากกราฟค่าความผิดพลาดของแรงดัน ซึ่งเมื่อมีการควบคุมจะส่งผลให้ระบบลดค่าความผิดพลาดได้

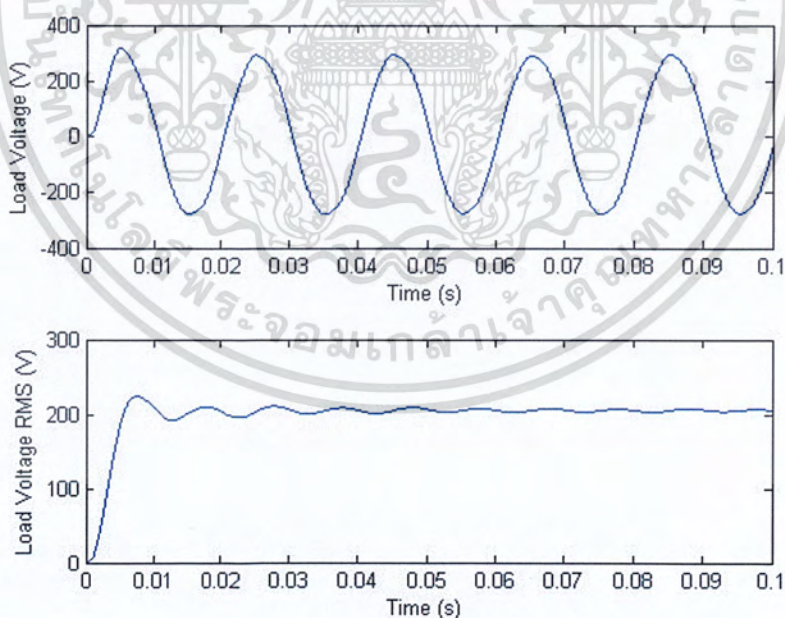
เอกสารนี้เป็นเอกสารที่สงวนไว้สำหรับการใช้งานเพื่อการศึกษาเท่านั้น ไม่อนุญาตให้นำไปใช้ประโยชน์ด้านการค้า ไม่ว่าจะกรณีใดๆ ทั้งสิ้น อีกทั้งห้ามมิให้ตัดแปลงเนื้อหา และต้องอ้างอิงถึงเจ้าของเอกสารทุกครั้งที่มีการนำไปใช้

## 4.2 ผลการจำลอง

### 4.2.1 จำลองการจ่ายโหลดขณะไม่มีตัวควบคุม

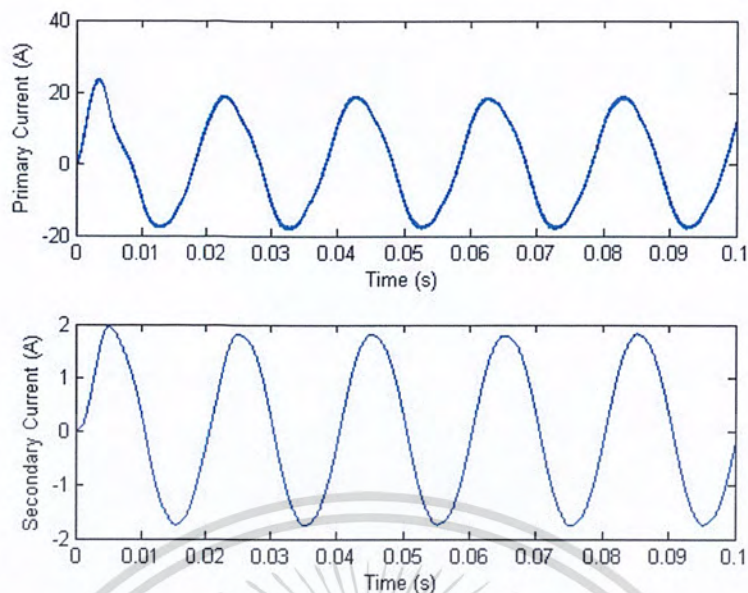


รูปที่ 4.2 กราฟดัชนีการมอดูเลตและกราฟความผิดพลาดขณะไม่มีการควบคุม



รูปที่ 4.3 กราฟแรงดันเอาต์พุทขณะไม่มีการควบคุม

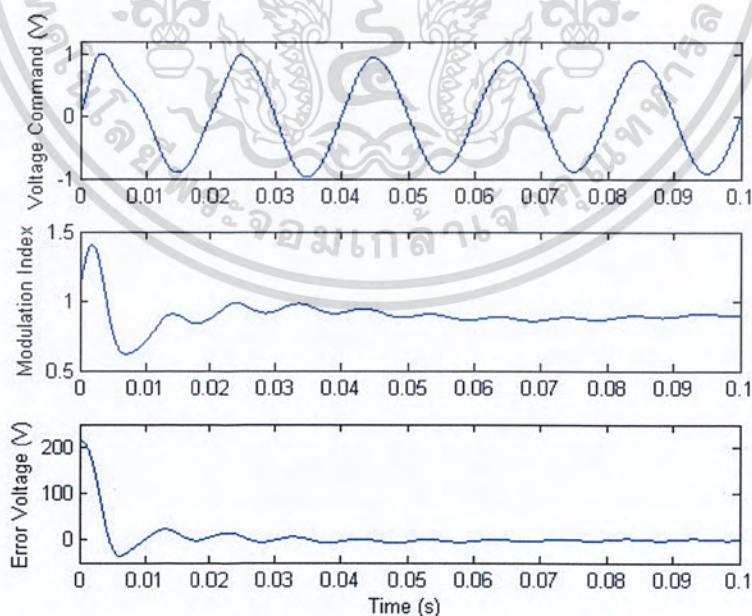
เอกสารนี้เป็นเอกสารที่สงวนไว้สำหรับการใช้งานเพื่อการศึกษาเท่านั้น ไม่อนุญาตให้นำไปใช้ประโยชน์ด้านการค้า ไม่ว่ากรณีใดๆ ทั้งสิ้น อีกทั้งห้ามมิให้ตัดแปลงเนื้อหา และต้องอ้างอิงถึงเจ้าของเอกสารทุกครั้งที่มีการนำไปใช้



รูปที่ 4.4 กราฟกระแสที่วงจรรองความถี่สูงและกราฟกระแสที่หม้อแปลงขณะไม่มีการควบคุม

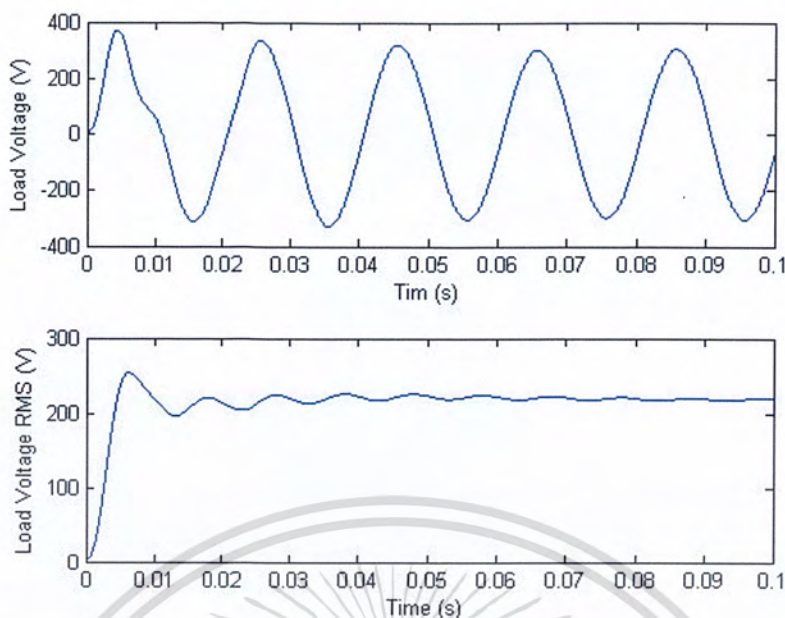
จากรูปเมื่อทำการประมวลผลวิเคราะห์ข้อมูลโดยปรับค่าดัชนีการมอดูเลตประมาณ 0.85 เพื่อให้แรงดันไฟฟ้าด้านออกมีค่า 220 V จะพบว่ามีค่าความผิดพลาดของแรงดันจากการประมวลผลวิเคราะห์จะมีค่าประมาณ 8% และสามารถสังเกตได้จากกระแสที่วงจรรองความถี่สูงและกระแสที่หม้อแปลงมีความผิดเพี้ยนอีกด้วย

#### 4.2.2 จำลองการจ่ายโหลดขณะมีตัวควบคุม

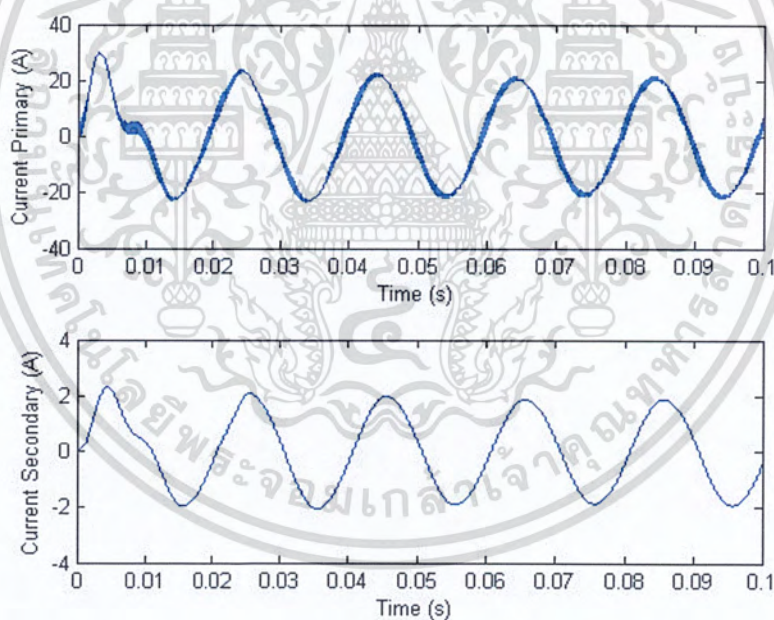


รูปที่ 4.5 กราฟดัชนีการมอดูเลตและกราฟความผิดพลาดขณะมีการควบคุมพีไอ

เอกสารนี้เป็นเอกสารที่สงวนไว้สำหรับการใช้งานเพื่อการศึกษาเท่านั้น ไม่อนุญาตให้นำไปใช้ประโยชน์ด้านการค้าไม่ว่ากรณีใดๆ ทั้งสิ้น อีกทั้งห้ามมิให้ตัดแปลงเนื้อหา และต้องอ้างอิงถึงเจ้าของเอกสารทุกครั้งที่มีการนำไปใช้



รูปที่ 4.6 กราฟแรงดันที่หม้อแปลงขณะมีการควบคุมฟิว

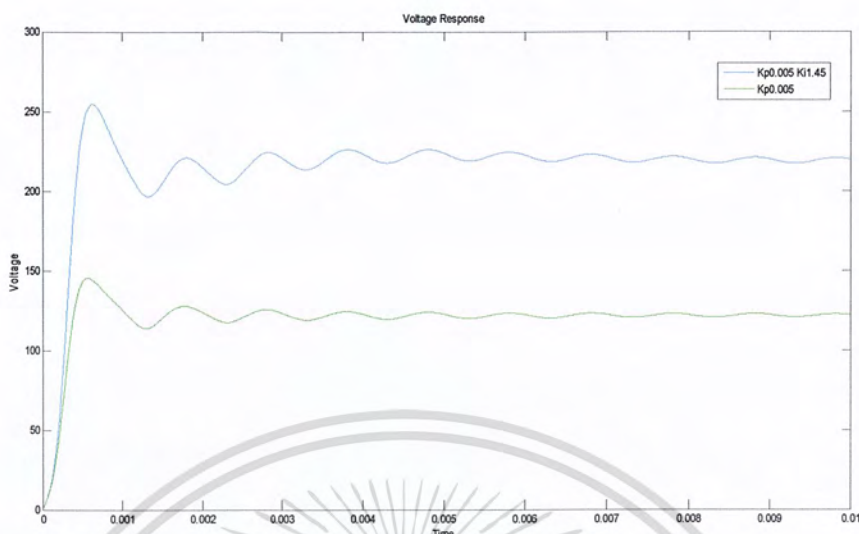


รูปที่ 4.7 กราฟกระแสที่วงจรรองความถี่สูงและกราฟกระแสที่หม้อแปลงขณะมีการควบคุมฟิว

จากรูปเมื่อทำการประมวลผลวิเคราะห์ข้อมูลโดยมีการควบคุมแบบฟิวใช้ในการปรับค่าดัชนีการมอดูเลตเพื่อให้แรงดันไฟฟ้าด้านออกมีค่า 220 V จะพบว่ามีค่าความผิดพลาดของแรงดันจากการประมวลผลวิเคราะห์จะน้อยกว่าแบบที่ไม่มีการควบคุมจะพบว่ามีค่า 0% และ

เอกสารนี้เป็นเอกสารที่สงวนไว้สำหรับการใช้งานเพื่อการศึกษาเท่านั้น ไม่อนุญาตให้นำไปใช้ประโยชน์ด้านการค้าไม่ว่ากรณีใดๆ ทั้งสิ้น อีกทั้งห้ามมิให้ตัดแปลงเนื้อหา และต้องอ้างอิงถึงเจ้าของเอกสารทุกครั้งที่มีการนำไปใช้

สามารถสังเกตได้จากกระแสที่วงจรรองความถี่สูงและกระแสที่หม้อแปลงมีลักษณะเป็นรูปคลื่นไซน์ขึ้นอีกด้วย



รูปที่ 4.8 กราฟแสดงการเปรียบเทียบการควบคุมแบบพีและการควบคุมแบบพีไอ

จากกราฟเส้นล่างจะเป็นการควบคุมแบบพีอย่างเดียวซึ่งใช้ค่า  $K_p = 0.005$  ซึ่งแรงดันไฟฟ้าจะสามารถเข้าสู่สถานะคงตัวประมาณ 122 V ส่วนการควบคุมแบบพีไอซึ่งใช้ค่า  $K_p = 0.005$ ,  $K_i = 1.45$  แรงดันไฟฟ้าจะสามารถเข้าสู่สถานะคงตัวประมาณ 219.6 V ซึ่งใกล้เคียงกับแรงดันไฟฟ้าที่ตั้งไว้คือ 220 V

ตารางที่ 4.1 ตารางเปรียบเทียบการควบคุมแบบพีและการควบคุมแบบพีไอ

	แบบพี	แบบพีไอ
ช่วงเวลาเพิ่มขึ้น (Rise Time)	$2.65 \times 10^{-4}$	$2.83 \times 10^{-4}$
Steady state error (Volt) เทียบกับ 220V	98	0.4

จากตารางพบว่าเมื่อเปรียบเทียบการคำนวณค่าช่วงเวลาเพิ่ม (Rise time) ระหว่างแบบการควบคุมแบบพีและการควบคุมแบบพีไอ พบว่าการควบคุมแบบพีไอจะมีช่วงเวลาเข้าสู่ค่าคงที่ (Steady state) มากกว่าการควบคุมแบบพี

#### 4.3 สรุปผลการจำลองที่ได้

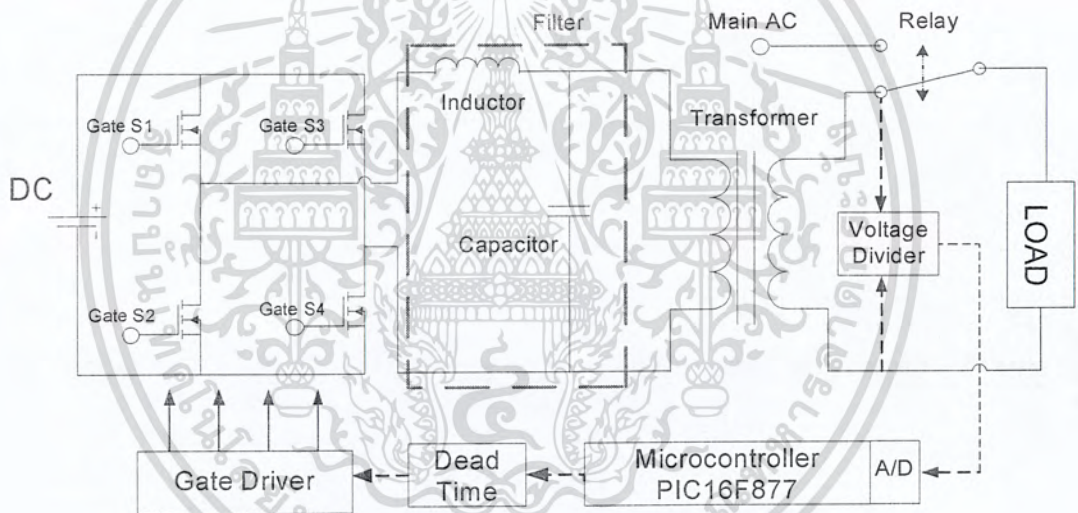
จากการจำลองวงจรอินเวอร์เตอร์โดยใช้โปรแกรมคอมพิวเตอร์ MATLAB Simulink ซึ่งทำการเปรียบเทียบผลการจำลองวงจรในสองกรณีคือ ระบบที่ไม่มีมีการป้อนค่ากลับมาควบคุม

เอกสารนี้เป็นเอกสารที่สงวนไว้สำหรับการใช้งานเพื่อการศึกษาเท่านั้น ไม่อนุญาตให้นำไปใช้ประโยชน์ด้านการค้าไม่ว่ากรณีใดๆ ทั้งสิ้น อีกทั้งห้ามมิให้ตัดแปลงเนื้อหา และต้องอ้างอิงถึงเจ้าของเอกสารทุกครั้งที่มีการนำไปใช้

หรือระบบเปิด กับระบบที่มีการป้อนกลับค่ามาควบคุมโดยใช้การควบคุมแบบพีไอ ซึ่งเป็นระบบควบคุมแบบป้อนกลับที่ใช้กันอย่างกว้างขวาง โดยค่าที่นำไปใช้ในการคำนวณเป็นค่าความผิดพลาดที่หามาจากความแตกต่างของตัวแปรในระบบการกับค่าที่ต้องการ โดยที่ตัวควบคุมจะพยายามลดค่าผิดพลาดให้เหลือน้อยที่สุดด้วยการปรับค่าสัญญาณขาเข้าของกระบวนการจากการจำลองพบว่าระบบที่มีการควบคุมจะมีเสถียรภาพในการรักษาระดับแรงดันให้คงที่ได้ ขณะมีภาระโหลดต่างๆ และจากผลการจำลองที่ได้นั้นสามารถยืนยันได้ว่าระบบการควบคุมนี้มีประสิทธิภาพในการทำงานได้อย่างชัดเจน โดยที่ผลในการตอบสนองของระบบจะขึ้นอยู่กับ ค่าอัตราขยายสัดส่วน ( $K_p$ ) และค่าอัตราขยายปริพันธ์ ( $K_i$ ) ซึ่งเป็นตัวแปรที่สามารถกำหนดค่าได้

#### 4.4 ผลการทดลอง

ผลการทดลองจะแบ่งออกเป็นสองส่วนคือ ส่วนวงจรควบคุม (Control circuit) และส่วนวงจรหลัก (Main circuit) โดยรูปวงจรแหล่งจ่ายไฟฟ้าแบบต่อเนื่องที่ใช้ในโครงงานดังรูป 4.3 ซึ่งประกอบด้วยส่วนวงจรหลักและส่วนวงจรควบคุมตามรูปที่ 4.9

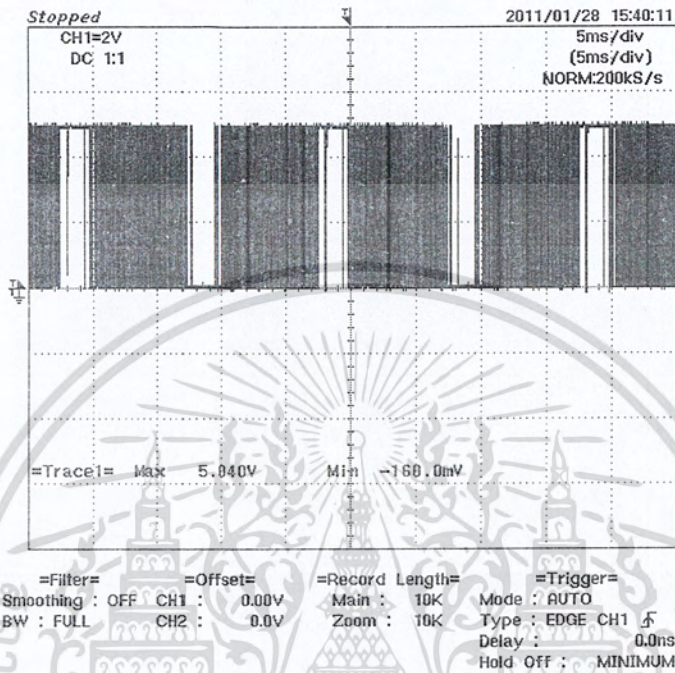


รูปที่ 4.9 วงจรแหล่งจ่ายไฟฟ้าแบบต่อเนื่องในโครงงาน

โดยรับสัญญาณขับแบบ SPWM จากชุดวงจรไมโครคอนโทรลเลอร์ แล้วไปผ่านวงจรหน่วงเวลาเพื่อป้องกันไม่ให้สวิตช์มอสเฟตนั้นทำงานพร้อมกัน และรับแหล่งจ่ายไฟฟ้ากระแสตรงจากแบตเตอรี่เพื่อแปลงเป็นไฟฟ้ากระแสสลับ จากนั้นนำสัญญาณไปผ่านวงจรกรองความถี่สูงเพื่อให้แต่ความถี่ที่ต้องการผ่านไปได้ จากนั้นเข้าหม้อแปลงไฟฟ้าเพิ่มแรงดันเพื่อเพิ่มแรงดันให้ได้ตามที่ภาระทางไฟฟ้าต้องการ และที่หม้อแปลงไฟฟ้าฝั่งทุติยภูมิได้ทำการป้อนกลับโดยใช้การควบคุมสูงสุด (Peak control) โดยทำการลดแรงดันไฟฟ้าให้อยู่ที่ 0Volt ถึง 5Volt

เพื่อเข้าหน้าล็อกสู่ดิจิทัล (A/D) เข้าสู่ตัวจรรยาไมโครคอนโทรลเลอร์เพื่อควบคุมโดยการควบคุมแบบพีไอ

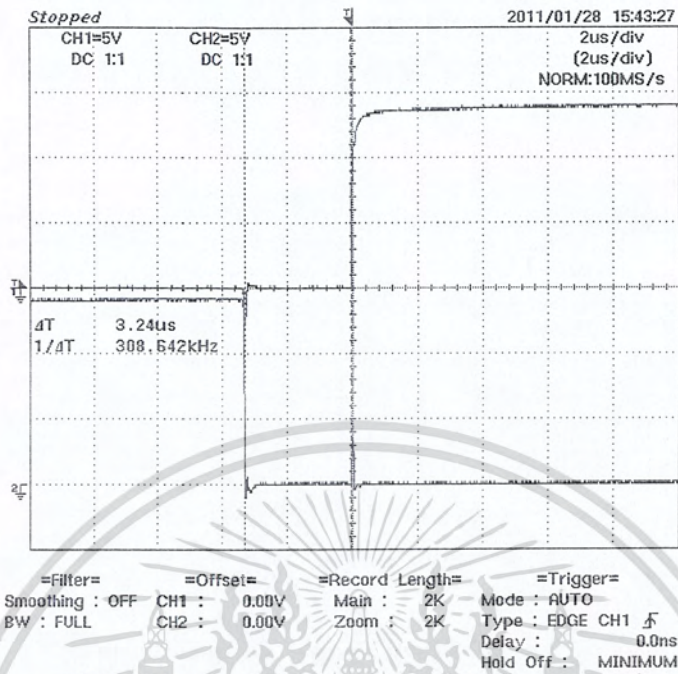
#### 4.4.1 รูปคลื่นสัญญาณเอสพีดับเบิลยูเอ็ม



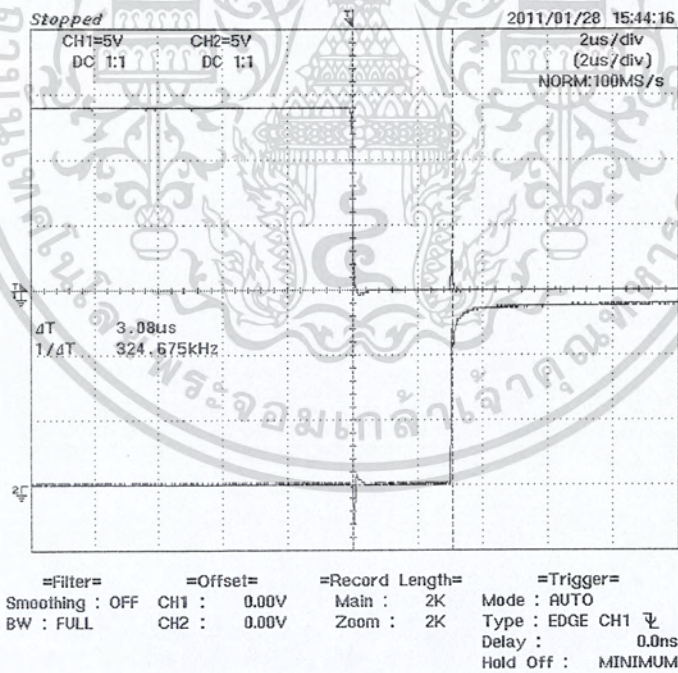
รูปที่ 4.10 สัญญาณขับ SPWM

จากรูปจะเป็นสัญญาณ SPWM โดยใช้ไมโครคอนโทรลเลอร์ในการสร้างสัญญาณ ซึ่งสัญญาณมีค่าความถี่อยู่ที่ 10 kHz ความต่างศักย์ระหว่างจุดสูงสุดอยู่ที่ 5V ซึ่งสัญญาณที่ได้นี้จะนำไปเข้าสู่ตัวจรรยาไมโครคอนโทรลเลอร์ (Dead time) ดังที่แสดงในหัวข้อถัดไป

#### 4.2.2 ผลการวัดรูปคลื่นในวงจรหน่วงเวลาและวงจรขั้วเกต



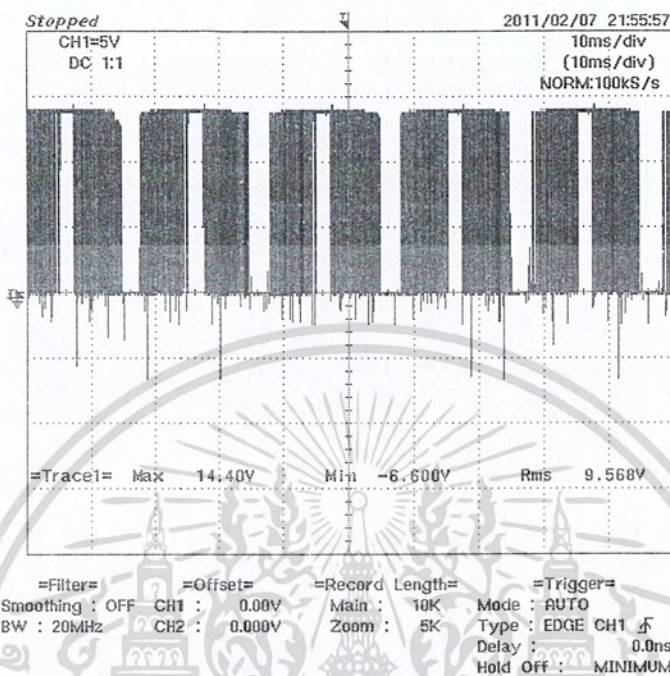
รูปที่ 4.11 สัญญาณที่ออกจากวงจรหน่วงเวลา (ขอบขาขึ้น)



รูปที่ 4.12 สัญญาณที่ออกจากวงจรหน่วงเวลา (ขอบขาลง)

เอกสารนี้เป็นเอกสารที่สงวนไว้สำหรับการใช้งานเพื่อการศึกษาเท่านั้น ไม่อนุญาตให้นำไปใช้ประโยชน์ด้านการค้า ไม่ว่าจะกรณีใดๆ ทั้งสิ้น อีกทั้งห้ามมิให้ตัดแปลงเนื้อหา และต้องอ้างอิงถึงเจ้าของเอกสารทุกครั้งที่มีการนำไปใช้

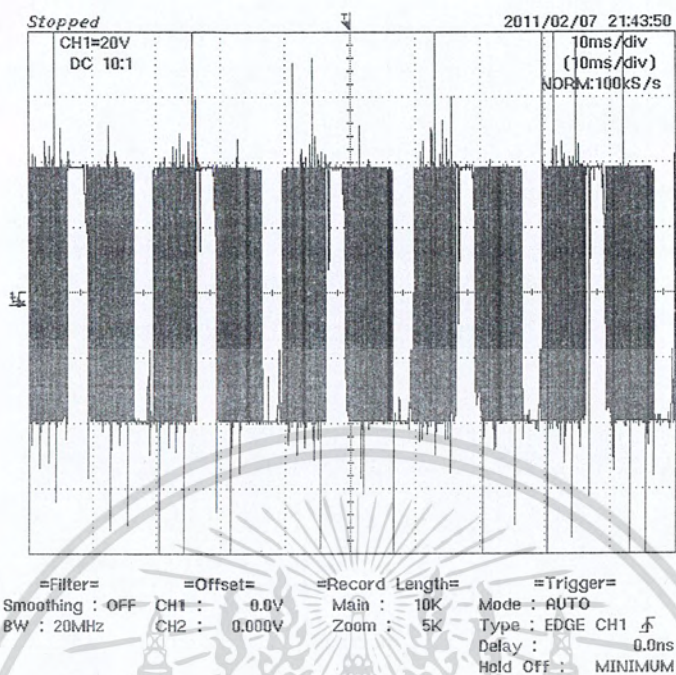
โดยรูปที่ 4.11 และ 4.12 มีระยะห่างระหว่างขอบขาขึ้นและขอบขาลง ห่างกัน  $2 \mu\text{s}$  ถ้าใช้ระยะห่างที่ต่ำกว่านี้อาจจะทำให้มอสเฟตเกิดการลัดวงจร เนื่องจากกระแสตัวมอสเฟต ยังคงคายประจุได้ไม่หมด จึงทำให้การ On-Off ของมอสเฟตไม่สนิทอาจเกิดการลัดวงจรได้



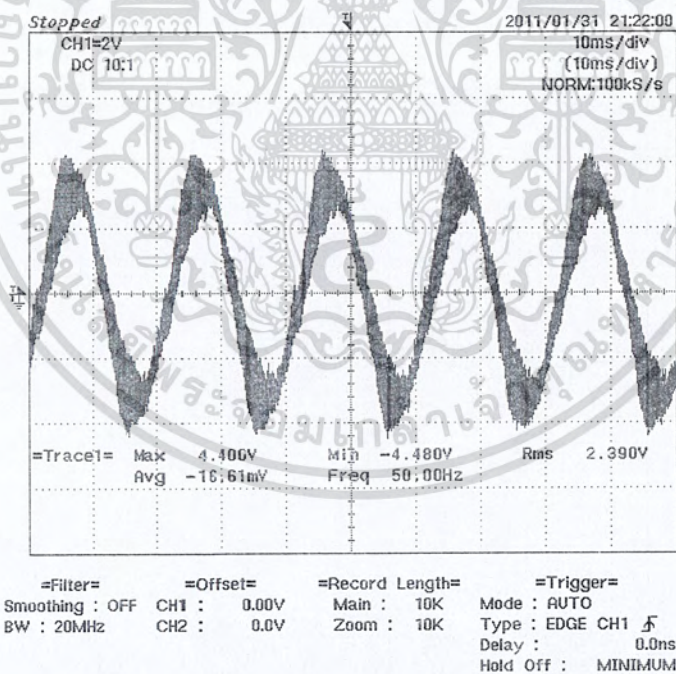
รูปที่ 4.13 สัญญาณวงจรขั้วเกิด

รูปที่ 4.13 แสดงถึงสัญญาณที่ขาเกิด โดยมีแรงดันประมาณ 15V และความถี่ประมาณ 10 kHz ที่จะนำไปขับมอสเฟตต่อไป

#### 4.4.3 รูปคลื่นเอาต์พุตแรงดันและกระแสก่อนเข้าวงจรฟิลเตอร์



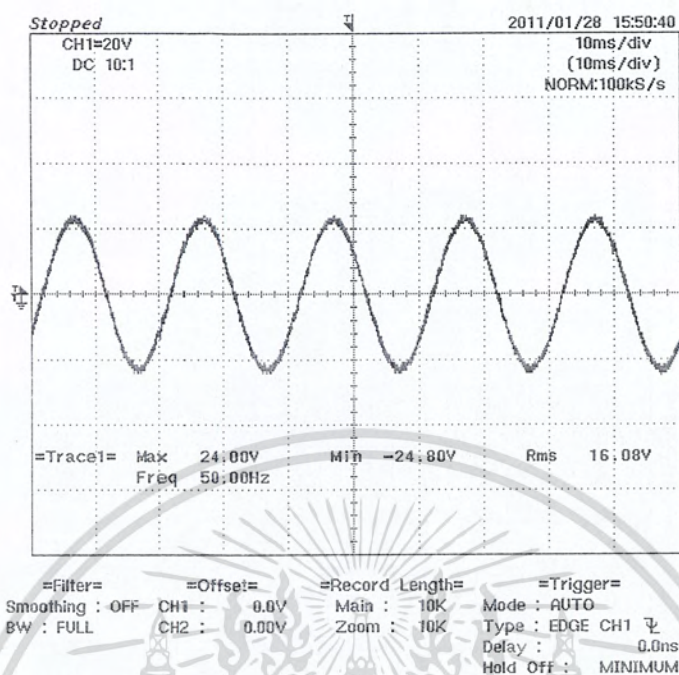
รูปที่ 4.14 รูปคลื่นเอาต์พุตแรงดันก่อนเข้าวงจรฟิลเตอร์



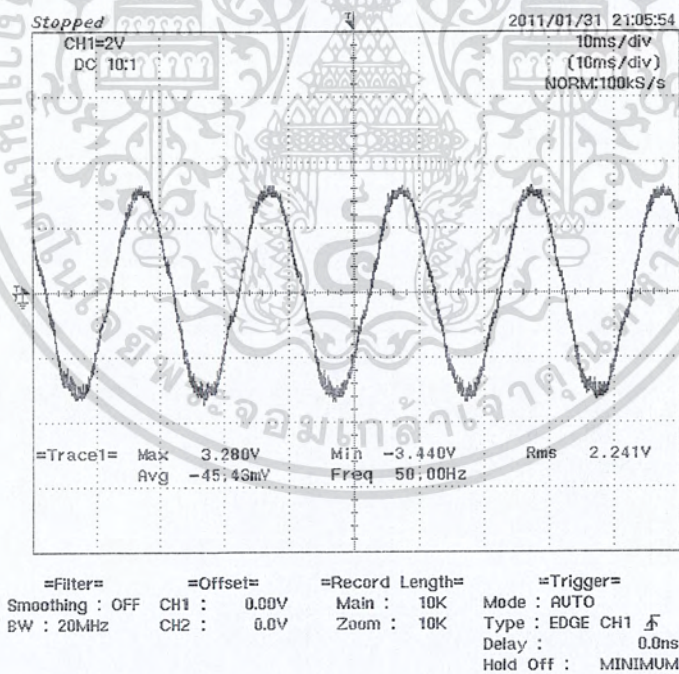
รูปที่ 4.15 รูปคลื่นเอาต์พุตกระแสก่อนเข้าวงจรฟิลเตอร์

เอกสารนี้เป็นเอกสารที่สงวนไว้สำหรับการใช้งานเพื่อการศึกษาเท่านั้น ไม่อนุญาตให้นำไปใช้ประโยชน์ด้านการค้า ไม่ว่าจะกรณีใดๆ ทั้งสิ้น อีกทั้งห้ามมิให้ตัดแปลงเนื้อหา และต้องอ้างอิงถึงเจ้าของเอกสารทุกครั้งที่มีการนำไปใช้

#### 4.4.4 รูปคลื่นเอาต์พุตแรงดันและกระแสหลังจากวงจรฟิลเตอร์



รูปที่ 4.16 รูปคลื่นเอาต์พุตแรงดันหลังจากวงจรฟิลเตอร์

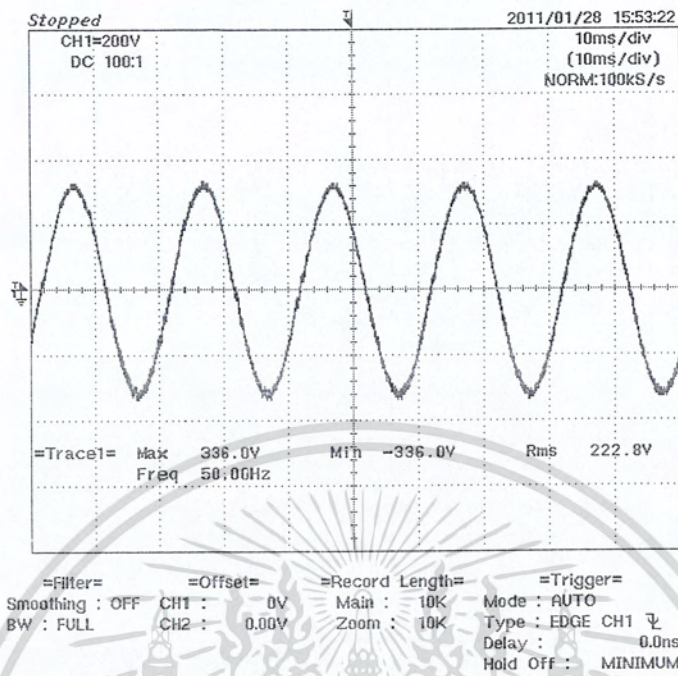


รูปที่ 4.17 รูปคลื่นเอาต์พุตกระแสหลังจากวงจรฟิลเตอร์

โดยใช้แบตเตอรี่ขนาด 12V (ต่ออนุกรมกัน 3 ก้อน) โดยสัญญาณที่ออกจากตัวกรองความถี่สูงจะใกล้เคียงความเป็นรูปคลื่นไซน์มากยิ่งขึ้น เนื่องจากกรองความถี่ลำดับสูงออกไป

เอกสารนี้เป็นเอกสารที่สงวนไว้สำหรับการใช้งานเพื่อการศึกษาเท่านั้น ไม่อนุญาตให้นำไปใช้ประโยชน์ด้านการค้าไม่ว่ากรณีใดๆ ทั้งสิ้น อีกทั้งห้ามมิให้ตัดแปลงเนื้อหา และต้องอ้างอิงถึงเจ้าของเอกสารทุกครั้งที่มีการนำไปใช้

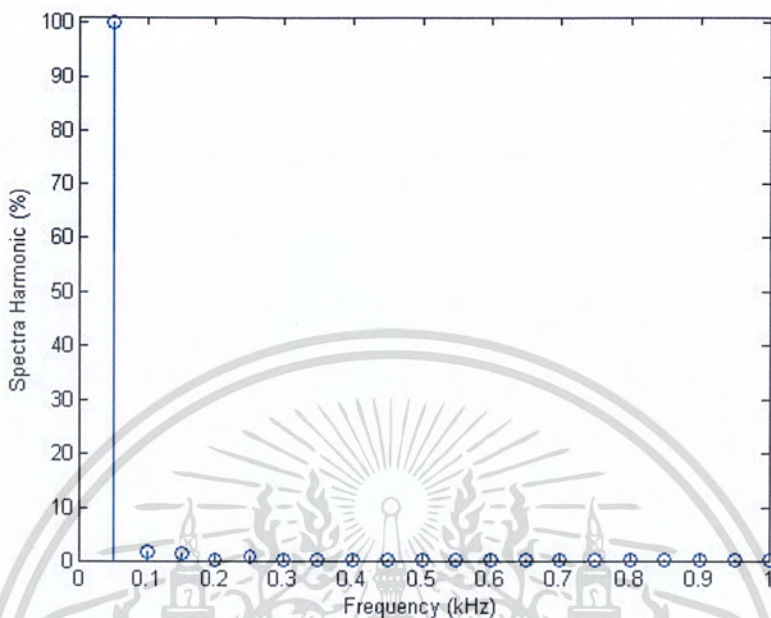
#### 4.4.5 รูปคลื่นเอาต์พุตแรงดันและกระแสหลังผ่านหม้อแปลง



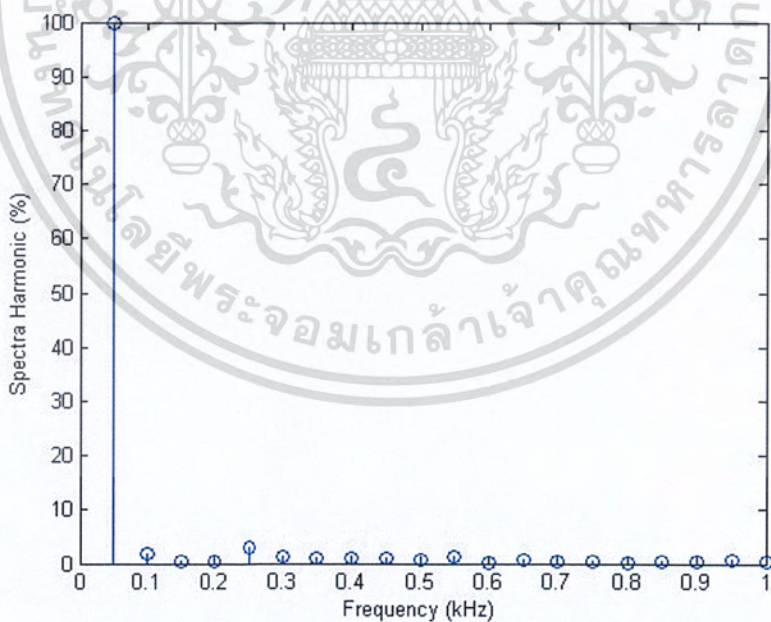
รูปที่ 4.18 รูปคลื่นเอาต์พุตแรงดันหลังผ่านหม้อแปลง

โดยรูปที่ 4.18 ใช้แบตเตอรี่ขนาด 36V ในการจ่ายให้ต้านอินพุต ผ่านวงจรอินเวอร์เตอร์ และใช้หม้อแปลงไฟฟ้าในการเพิ่มระดับแรงดันให้สูงขึ้นได้ถึง 220V ขณะไม่มีภาระทางไฟฟ้า

#### 4.4.6 สเปกตรัมและผลรวมความผิดเพี้ยนของรูปคลื่นแรงดันและกระแสหลังเข้าวงจรฟิลเตอร์



รูปที่ 4.19 กราฟสเปกตรัมของรูปคลื่นแรงดันหลังเข้าวงจรฟิลเตอร์

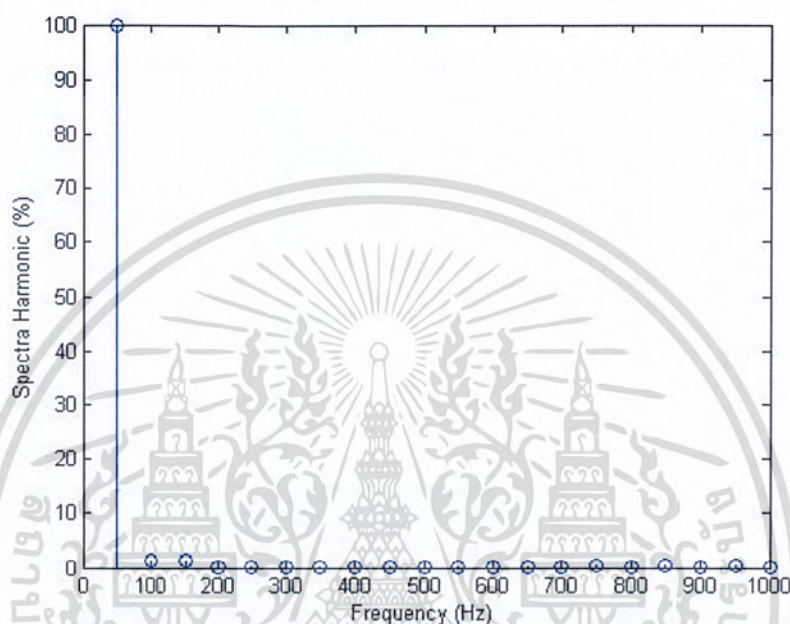


รูปที่ 4.20 กราฟสเปกตรัมของรูปคลื่นกระแสหลังเข้าวงจรฟิลเตอร์

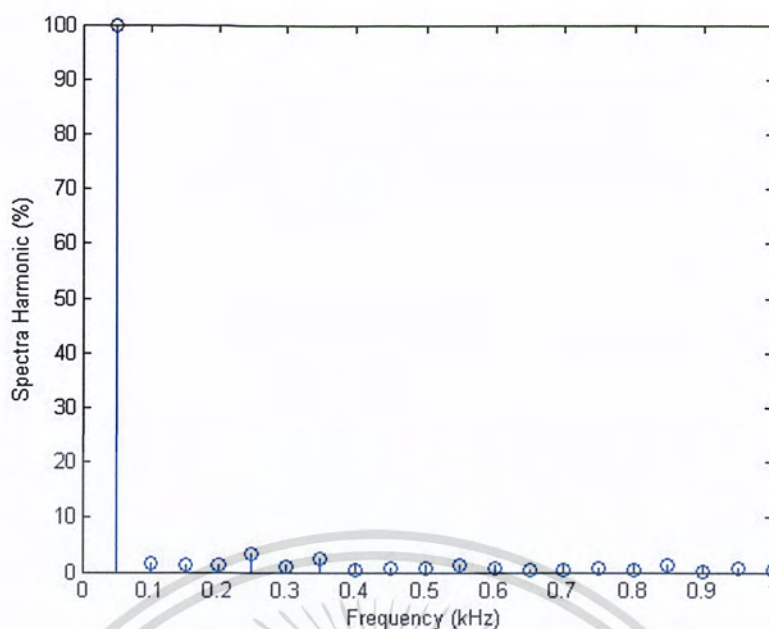
เอกสารนี้เป็นเอกสารที่สงวนไว้สำหรับการใช้งานเพื่อการศึกษาเท่านั้น ไม่อนุญาตให้นำไปใช้ประโยชน์ด้านการค้าไม่ว่ากรณีใดๆ ทั้งสิ้น อีกทั้งห้ามมิให้ดัดแปลงเนื้อหา และต้องอ้างอิงถึงเจ้าของเอกสารทุกครั้งที่มีการนำไปใช้

เมื่อใช้โปรแกรมจำลองทางคณิตศาสตร์ (MATLAB) มาคำนวณจะได้ค่าความผิดเพี้ยนของแรงดัน ( $THD_v$ ) และค่าความผิดเพี้ยนของกระแส ( $THD_i$ ) หลังผ่านวงจรฟิลเตอร์ ซึ่งสามารถหาค่า  $THD_v$  ได้เท่ากับ 17.82% และค่าของ  $THD_i$  ได้เท่ากับ 4.85%

#### 4.4.7 สเปกตรัมและผลรวมความผิดเพี้ยนของรูปคลื่นแรงดันและกระแสหลังผ่านหม้อแปลง



รูปที่ 4.21 กราฟ FFT ของรูปคลื่นแรงดันหลังผ่านหม้อแปลง



รูปที่ 4.22 กราฟ FFT ของรูปคลื่นกระแสหลังผ่านหม้อแปลง

เมื่อใช้โปรแกรมจำลองทางคณิตศาสตร์ (MATLAB) นำมาคำนวณจะได้ค่าความผิดเพี้ยนของแรงดัน (THD<sub>V</sub>) และค่าความผิดเพี้ยนของกระแส (THD<sub>I</sub>) ของรูปคลื่นหลังผ่านหม้อแปลง โดยที่สามารถหาค่า THD<sub>V</sub> หลังผ่านหม้อแปลงได้เท่ากับ 3.21% ส่วน THD<sub>I</sub> จะมีค่าเท่ากับ 3.57% ขณะมีภาระทางไฟฟ้า 25 W

ในโครงการนี้ได้ทำการสรุปค่าความผิดเพี้ยนทางกระแสไฟฟ้า (THD<sub>I</sub>) และค่าความผิดเพี้ยนของแรงดันไฟฟ้า (THD<sub>V</sub>) ที่การใช้ภาระไฟฟ้าต่าง ๆ ดังตารางที่ 4.2 ส่วนตารางที่ 4.3 จะแสดงค่าความผิดผลาดทางกระแสไฟฟ้าและแรงดันไฟฟ้าขณะก่อนผ่านและหลังผ่านตัวกรองความถี่สูง

ตารางที่ 4.2 ตารางแสดงค่าแรงดันไฟฟ้า กระแสไฟฟ้า ค่าความผิดเพี้ยนทางกระแสไฟฟ้าและค่าความผิดเพี้ยนของแรงดันไฟฟ้าขณะก่อนผ่านและหลังผ่านหม้อแปลง

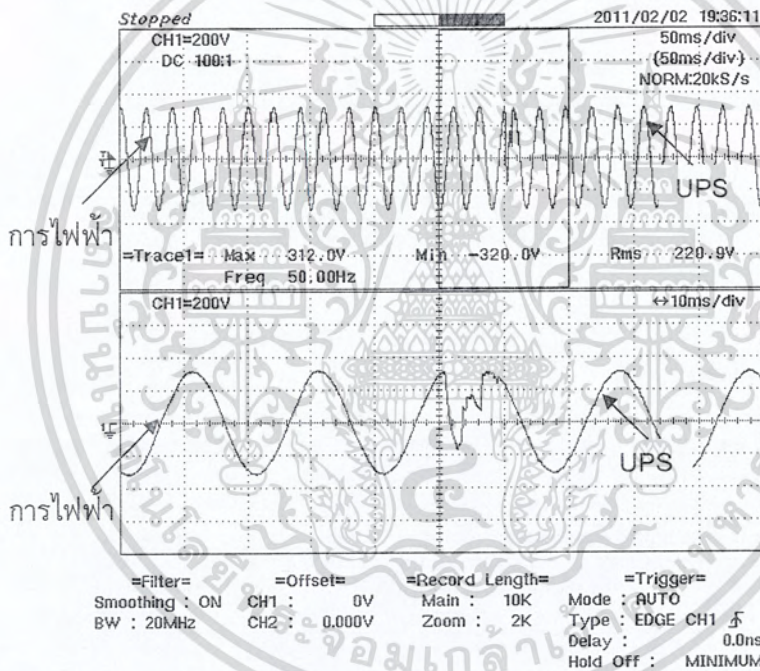
	ก่อนผ่านหม้อแปลง				หลังผ่านหม้อแปลง			
	V <sub>rms</sub>	I <sub>rms</sub>	THD <sub>I</sub>	THD <sub>V</sub>	V <sub>rms</sub>	I <sub>rms</sub>	THD <sub>I</sub>	THD <sub>V</sub>
<b>25W</b>	19.47	2.24	4.85%	2.26%	220.5	0.19	3.57%	3.21%
<b>40W</b>	18.82	2.69	6.59%	2.00%	206.7	0.23	2.72%	2.62%
<b>60W</b>	16.68	3.08	4.18%	1.77%	179.0	0.26	3.57%	3.27%

เอกสารนี้เป็นเอกสารที่สงวนไว้สำหรับการใช้งานเพื่อการศึกษาเท่านั้น ไม่อนุญาตให้นำไปใช้ประโยชน์ด้านการค้าไม่ว่ากรณีใดๆ ทั้งสิ้น อีกทั้งห้ามมิให้ตัดแปลงเนื้อหา และต้องอ้างอิงถึงเจ้าของเอกสารทุกครั้งที่มีการนำไปใช้

ตารางที่ 4.3 ตารางแสดงค่าแรงดันไฟฟ้า ค่าความผิดเพี้ยนทางกระแสไฟฟ้าและแรงดันไฟฟ้า ขณะก่อนผ่านและหลังผ่านตัวกรองความถี่สูง

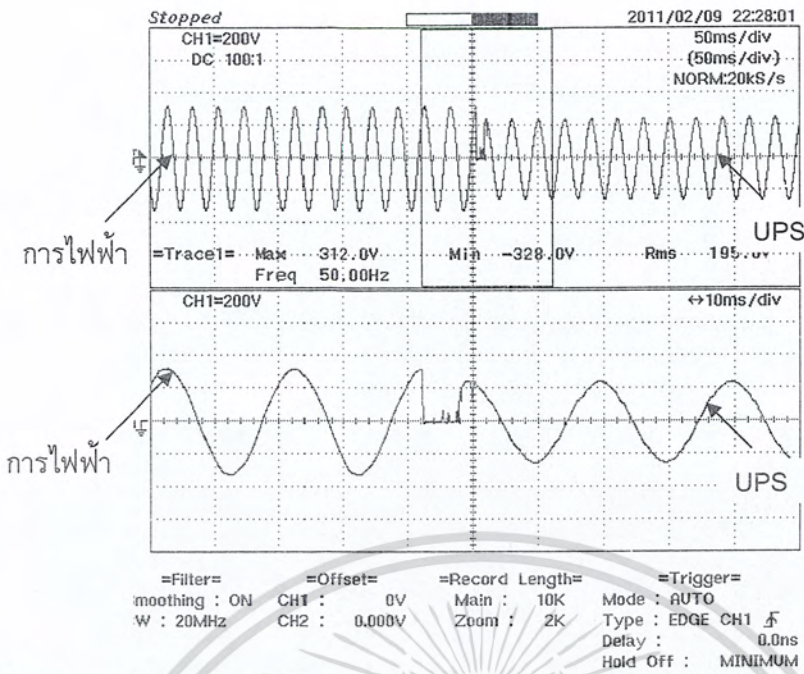
	$V_{rms}$	$THD_i$	$THD_v$
ก่อนผ่านตัวกรอง ความถี่สูง	33.30	5.37%	1501.51%
หลังผ่านตัวกรอง ความถี่สูง	19.47	4.85%	2.26%

4.4.8 รูปคลื่นแรงดันขณะทำการเปลี่ยนโหมดระหว่างการไฟฟ้ากับแรงดันจากยูพีเอส



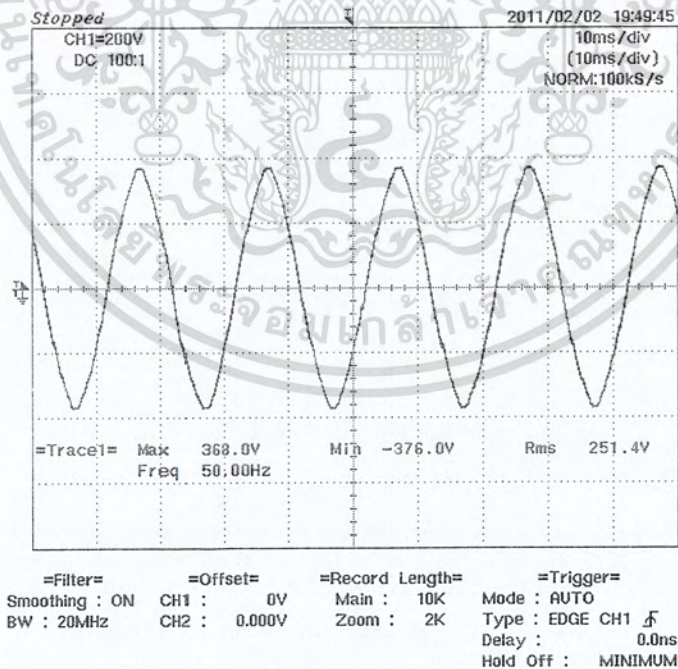
รูปที่ 4.23 รูปคลื่นแรงดันขณะทำการเปลี่ยนโหมดระหว่างการไฟฟ้ากับแรงดันจากยูพีเอสขณะไม่มีภาระ

เอกสารนี้เป็นเอกสารที่สงวนไว้สำหรับการใช้งานเพื่อการศึกษาเท่านั้น ไม่อนุญาตให้นำไปใช้ประโยชน์ด้านการค้า ไม่ว่าจะกรณีใดๆ ทั้งสิ้น อีกทั้งห้ามมิให้ตัดแปลงเนื้อหา และต้องอ้างอิงถึงเจ้าของเอกสารทุกครั้งที่มีการนำไปใช้



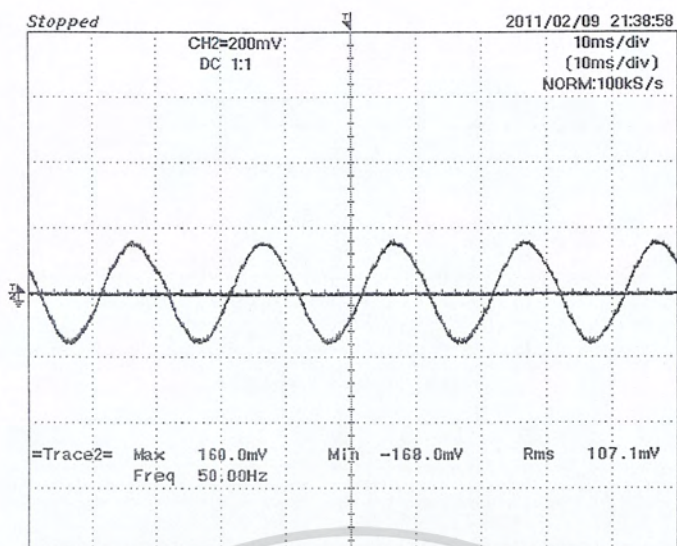
รูปที่ 4.24 รูปคลื่นแรงดันขณะทำการเปลี่ยนโหมดระหว่างการไฟฟ้ากับแรงดันจากยูทีเอสขณะรับภาระ 25 W โดยสัญญาณจะขาดช่วงประมาณ 10 ms ซึ่งการสวิตช์ของรีเลย์อาจจะไม่ได้ค่าที่แน่นอน เนื่องจากกระยะหน้าสัมผัสของตัวคอนแทคเตอร์นั้นไม่คงที่

#### 4.4.9 สัญญาณแรงดันและกระแสขณะไม่มีการควบคุม



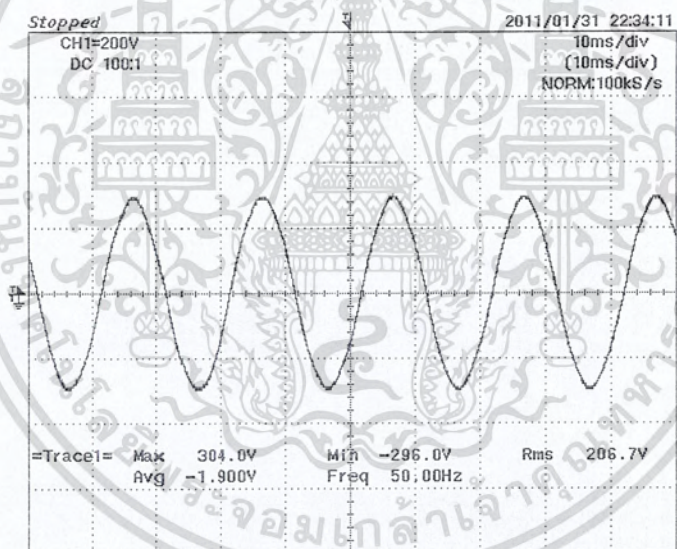
รูปที่ 4.25 รูปคลื่นแรงดันขณะจ่ายภาระที่ 25 W

เอกสารนี้เป็นเอกสารที่สงวนไว้สำหรับการใช้งานเพื่อการศึกษาเท่านั้น ไม่อนุญาตให้นำไปใช้ประโยชน์ด้านการค้าไม่ว่ากรณีใดๆ ทั้งสิ้น อีกทั้งห้ามมิให้ตัดแปลงเนื้อหา และต้องอ้างอิงถึงเจ้าของเอกสารทุกครั้งที่มีการนำไปใช้



=Filter= Smoothing : ON BW : 20MHz  
=Offset= CH1 : 0V CH2 : 0.000V  
=Record Length= Main : 10K Zoom : 10K  
=Trigger= Mode : AUTO Type : EDGE CH1 Delay : 0.0ns Hold Off : MINIMUM

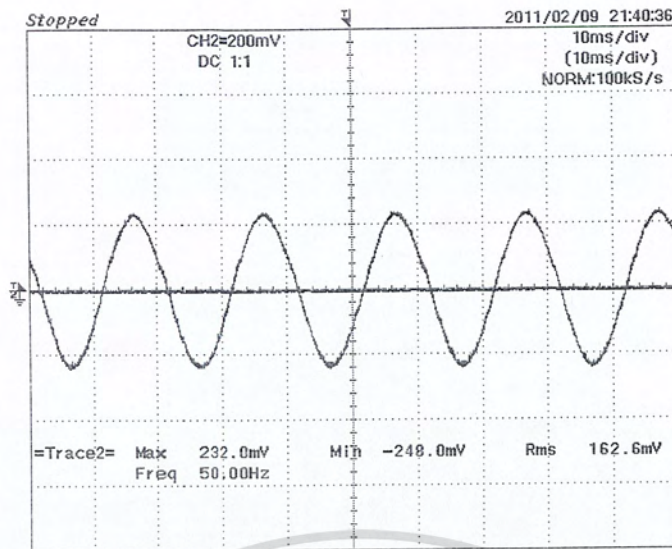
รูปที่ 4.26 รูปคลื่นกระแสขณะจ่ายภาระที่ 25 W



=Filter= Smoothing : OFF BW : 20MHz  
=Offset= CH1 : 0V CH2 : 0.0V  
=Record Length= Main : 10K Zoom : 10K  
=Trigger= Mode : AUTO Type : EDGE CH1 Delay : 0.0ns Hold Off : MINIMUM

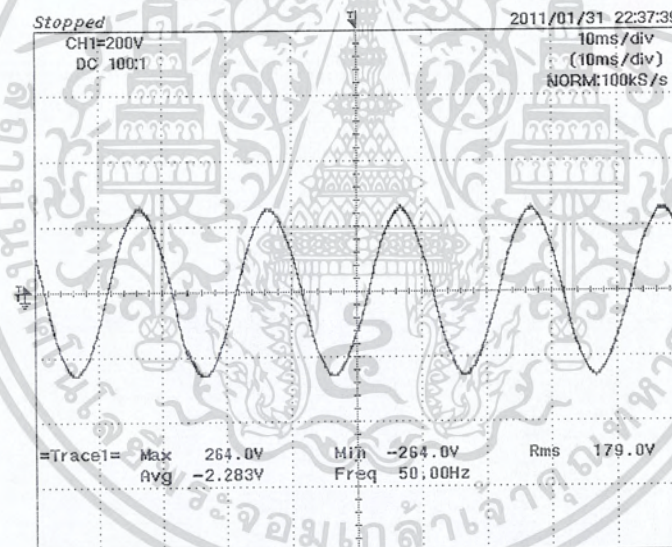
รูปที่ 4.27 รูปคลื่นแรงดันขณะจ่ายภาระที่ 40 W

เอกสารนี้เป็นเอกสารที่สงวนไว้สำหรับการใช้งานเพื่อการศึกษาเท่านั้น ไม่อนุญาตให้นำไปใช้ประโยชน์ด้านการค้า ไม่ว่าจะกรณีใดๆ ทั้งสิ้น อีกทั้งห้ามมิให้ตัดแปลงเนื้อหา และต้องอ้างอิงถึงเจ้าของเอกสารทุกครั้งที่มีการนำไปใช้



=Filter= Smoothing : ON BW : 20MHz  
=Offset= CH1 : 0V CH2 : 0.000V  
=Record Length= Main : 10K Zoom : 10K  
=Trigger= Mode : AUTO Type : EDGE CH1 Delay : 0.0ns Hold Off : MINIMUM

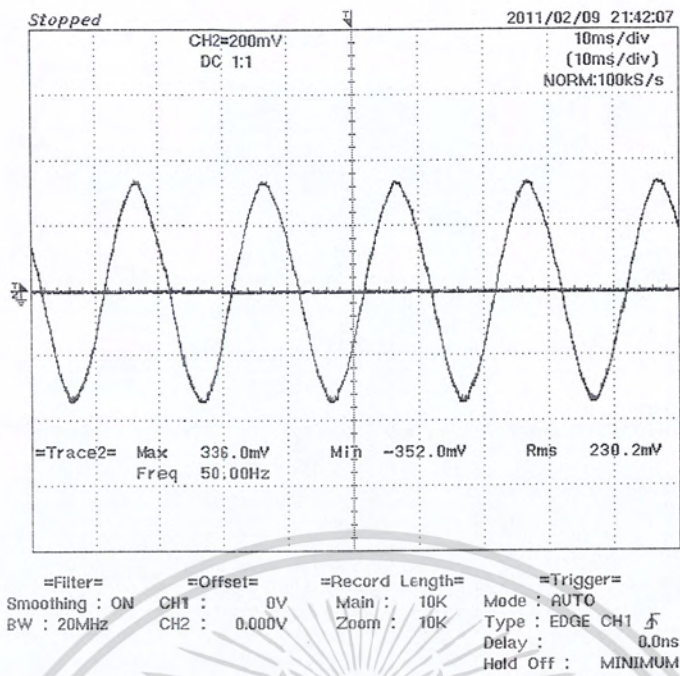
รูปที่ 4.28 รูปคลื่นกระแสขณะจ่ายภาระที่ 40 W



=Filter= Smoothing : OFF BW : 20MHz  
=Offset= CH1 : 0V CH2 : 0.0V  
=Record Length= Main : 10K Zoom : 10K  
=Trigger= Mode : AUTO Type : EDGE CH1 Delay : 0.0ns Hold Off : MINIMUM

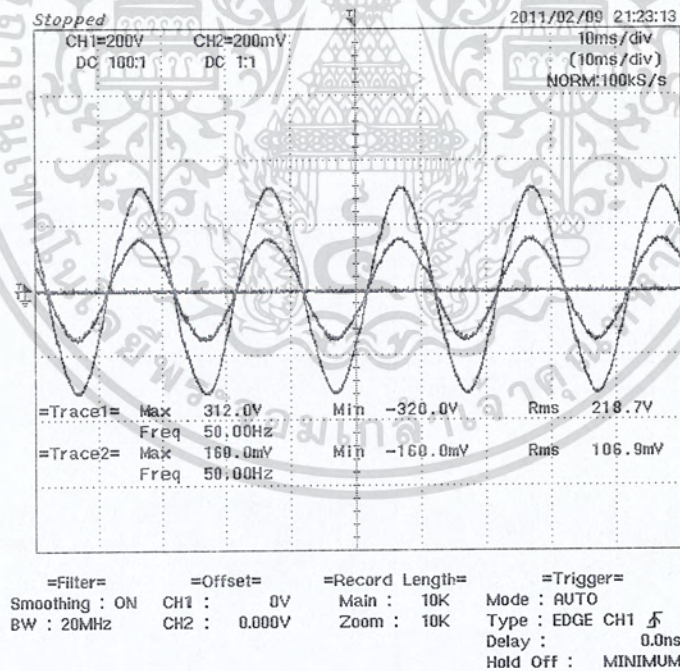
รูปที่ 4.29 รูปคลื่นแรงดันขณะจ่ายภาระที่ 60 W

เอกสารนี้เป็นเอกสารที่สงวนไว้สำหรับการใช้งานเพื่อการศึกษาเท่านั้น ไม่อนุญาตให้นำไปใช้ประโยชน์ด้านการค้า ไม่ว่าจะกรณีใดๆ ทั้งสิ้น อีกทั้งห้ามมิให้ตัดแปลงเนื้อหา และต้องอ้างอิงถึงเจ้าของเอกสารทุกครั้งที่มีการนำไปใช้



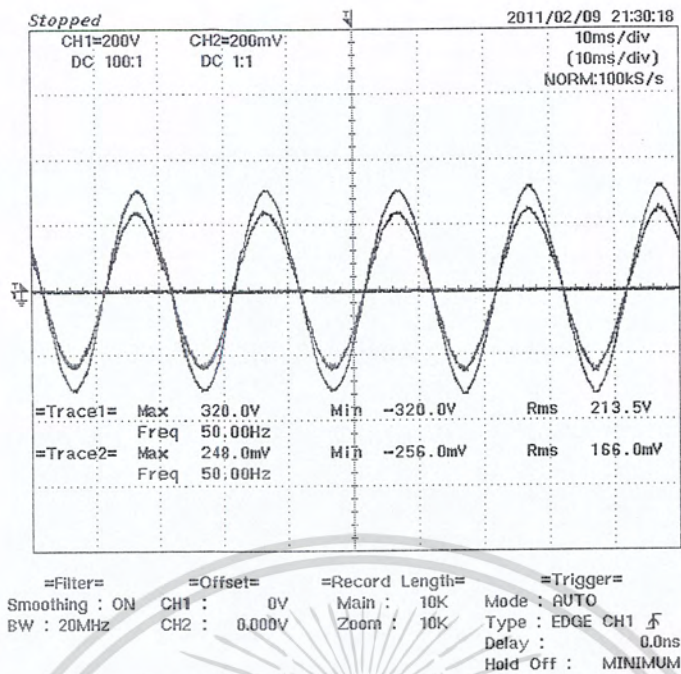
รูปที่ 4.30 รูปคลื่นกระแสขณะจ่ายภาระที่ 60 W

จากรูปที่ 4.25-4.30 เป็นรูปคลื่นสัญญาณที่ใช้ค่ามอดูเลชัน ( $m_a$ ) คงที่เท่ากับ 1

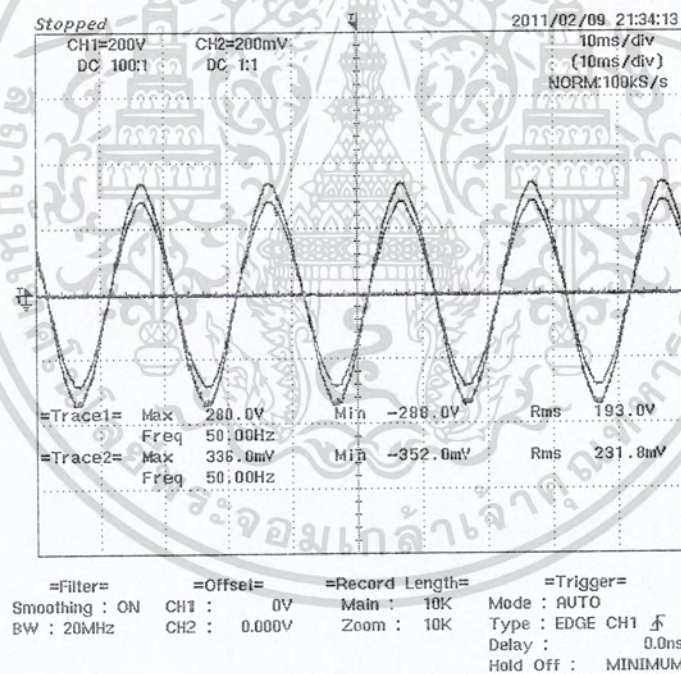


รูปที่ 4.31 รูปคลื่นแรงดันและกระแสขณะจ่ายภาระที่ 25 W

เอกสารนี้เป็นเอกสารที่สงวนไว้สำหรับการใช้งานเพื่อการศึกษาเท่านั้น ไม่อนุญาตให้นำไปใช้ประโยชน์ด้านการค้า ไม่ว่าจะกรณีใดๆ ทั้งสิ้น อีกทั้งห้ามมิให้ตัดแปลงเนื้อหา และต้องอ้างอิงถึงเจ้าของเอกสารทุกครั้งที่มีการนำไปใช้



รูปที่ 4.32 รูปคลื่นแรงดันและกระแสขณะจ่ายภาระที่ 40 W

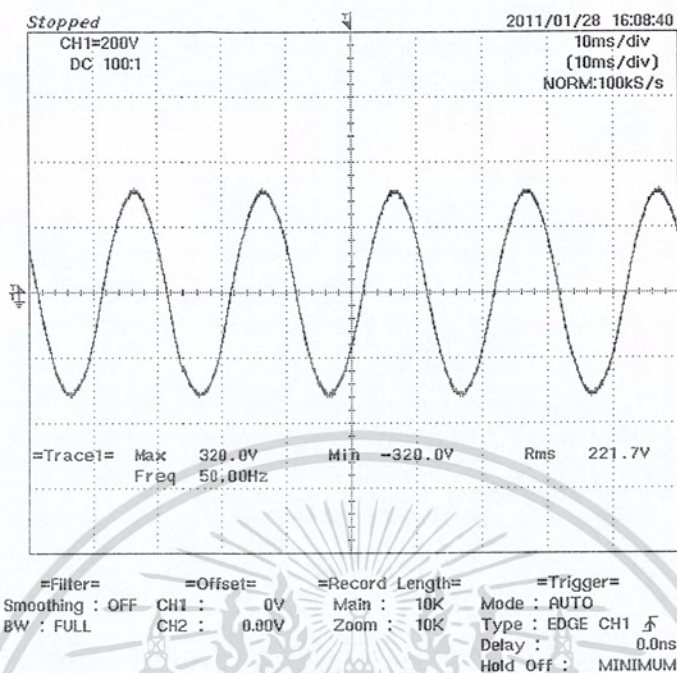


รูปที่ 4.33 รูปคลื่นแรงดันและกระแสขณะจ่ายภาระที่ 60 W

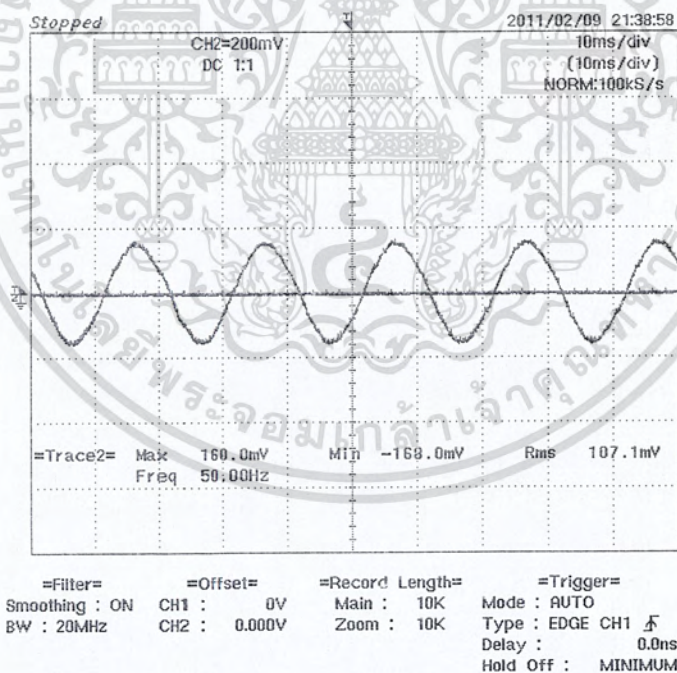
จากรูปที่ 4.31-4.33 แสดงรูปคลื่นแรงดันและกระแส โดยใช้ค่ามอดูละชัน ( $m_a$ ) คงที่เท่ากับ 0.8 ซึ่งขณะที่จ่ายภาระทางไฟฟ้าที่ 25 W แรงดันจะตกลงเล็กน้อยและเมื่อจ่ายภาระทางไฟฟ้ามากขึ้นเป็น 40W และ 60W แรงดันไฟฟ้าก็จะตกลงเรื่อยๆ

เอกสารนี้เป็นเอกสารที่สงวนไว้สำหรับการใช้งานเพื่อการศึกษาเท่านั้น ไม่อนุญาตให้นำไปใช้ประโยชน์ด้านการค้าไม่ว่ากรณีใดๆ ทั้งสิ้น อีกทั้งห้ามมิให้ตัดแปลงเนื้อหา และต้องอ้างอิงถึงเจ้าของเอกสารทุกครั้งที่มีการนำไปใช้

#### 4.4.10 รูปคลื่นแรงดันและกระแสขณะมีการควบคุม

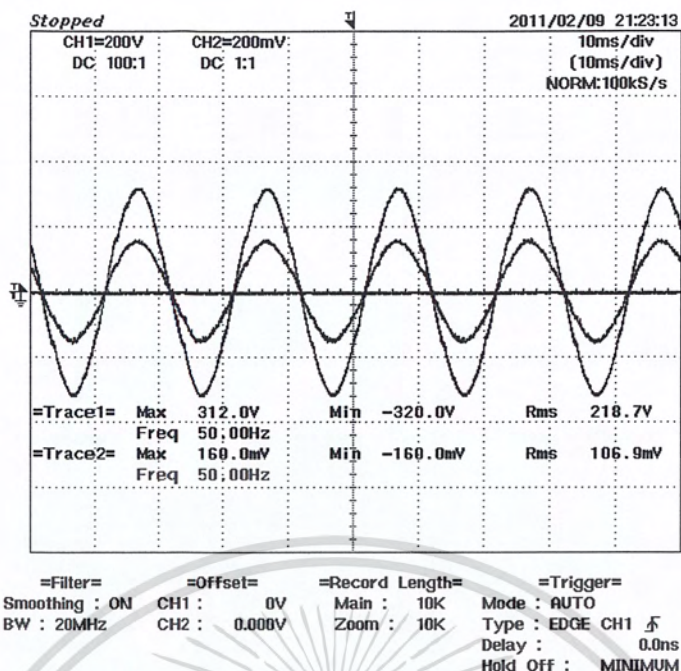


รูปที่ 4.34 รูปคลื่นแรงดันขณะมีการควบคุมที่ภาระไฟฟ้า 25 W

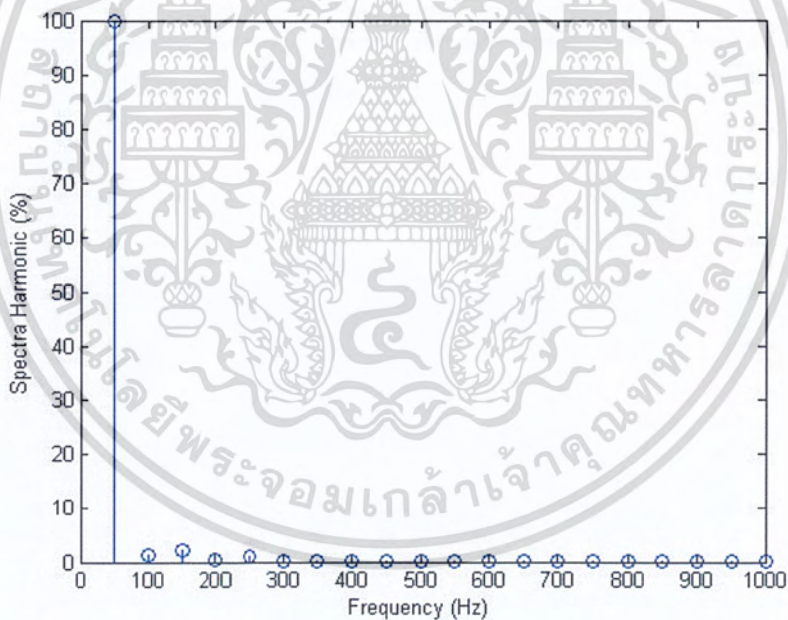


รูปที่ 4.35 รูปคลื่นกระแสขณะมีการควบคุมที่ภาระไฟฟ้า 25 W

เอกสารนี้เป็นเอกสารที่สงวนไว้สำหรับการใช้งานเพื่อการศึกษาเท่านั้น ไม่อนุญาตให้นำไปใช้ประโยชน์ด้านการค้าไม่ว่ากรณีใดๆ ทั้งสิ้น อีกทั้งห้ามมิให้ตัดแปลงเนื้อหา และต้องอ้างอิงถึงเจ้าของเอกสารทุกครั้งที่มีการนำไปใช้

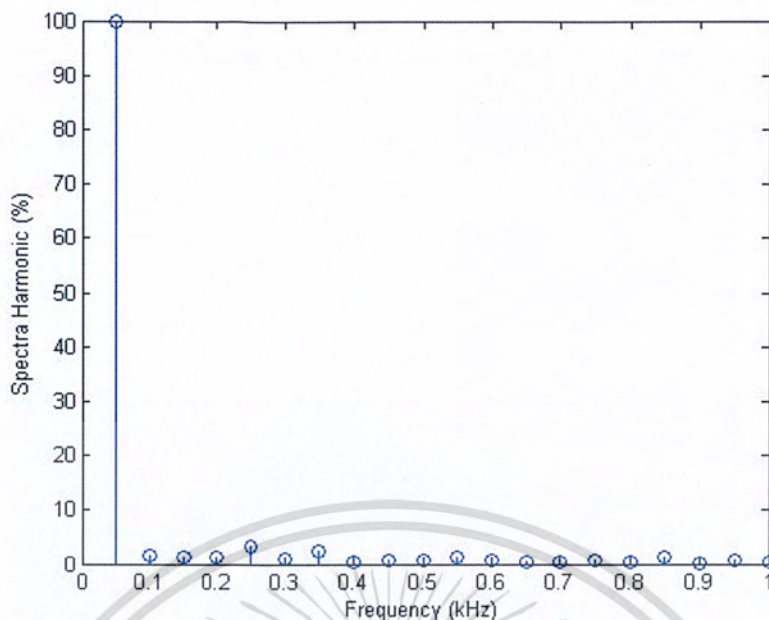


รูปที่ 4.36 รูปคลื่นแรงดันและกระแสขณะมีการควบคุมที่ภาระไฟฟ้า 25 W



รูปที่ 4.37 กราฟสเปกตรัมของแรงดันขณะมีการควบคุมที่ภาระไฟฟ้า 25 W

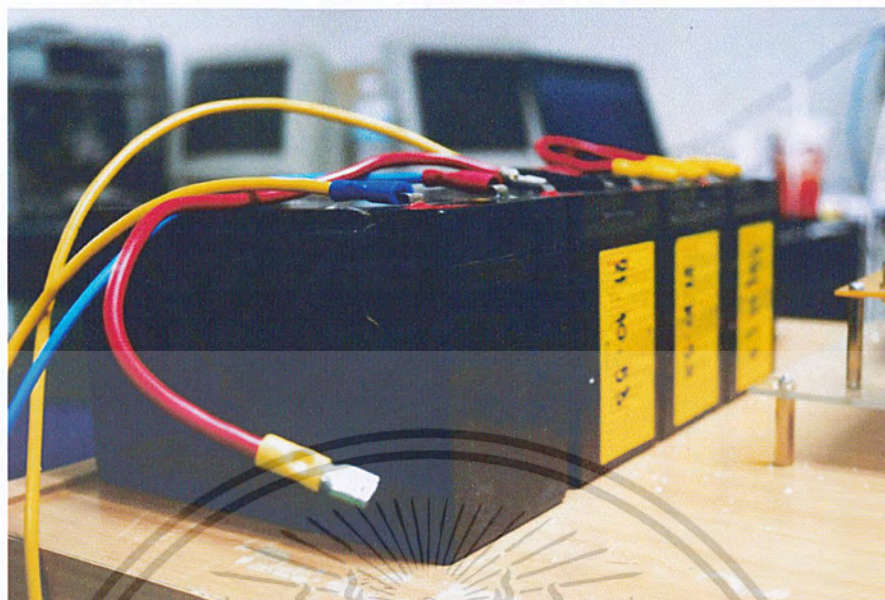
เอกสารนี้เป็นเอกสารที่สงวนไว้สำหรับการใช้งานเพื่อการศึกษาเท่านั้น ไม่อนุญาตให้นำไปใช้ประโยชน์ด้านการค้า ไม่ว่ากรณีใดๆ ทั้งสิ้น อีกทั้งห้ามมิให้ตัดแปลงเนื้อหา และต้องอ้างอิงถึงเจ้าของเอกสารทุกครั้งที่มีการนำไปใช้



รูปที่ 4.38 กราฟสเปกตรัมของกระแสขณะมีการควบคุมที่ภาระไฟฟ้า 25 W

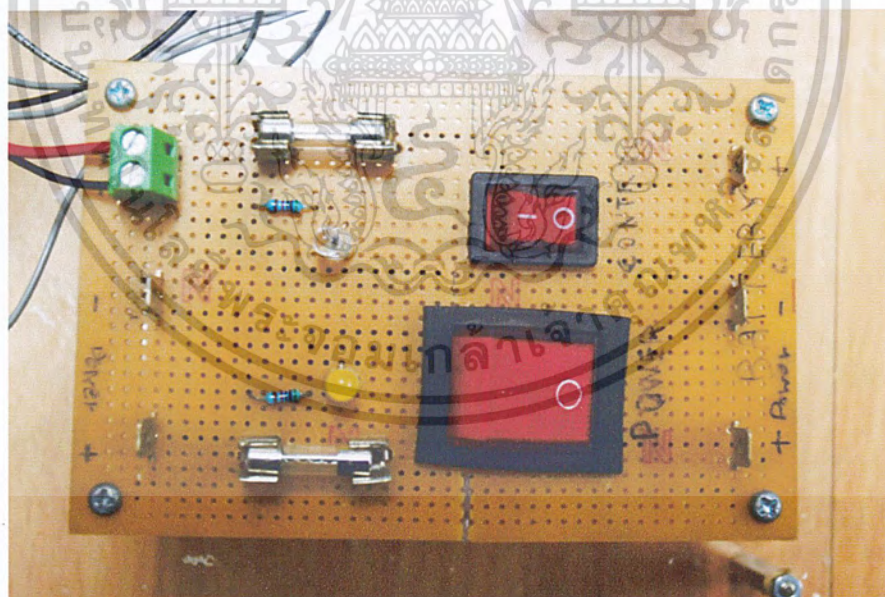
เมื่อใช้โปรแกรมจำลองทางคณิตศาสตร์ (MATLAB) นำมาคำนวณค่าความผิดเพี้ยนของแรงดัน ( $THD_V$ ) และค่าความผิดเพี้ยนของกระแส ( $THD_I$ ) ของรูปคลื่นหลังผ่านหม้อแปลงขณะมีการควบคุมด้วยพีไอ จะสามารถหาค่า  $THD_V$  หลังผ่านหม้อแปลงได้เท่ากับ 2.8% และค่า  $THD_I$  มีค่าเท่ากับ 5.62%

#### 4.4.11 รูปถ่ายวงจรที่ออกแบบ



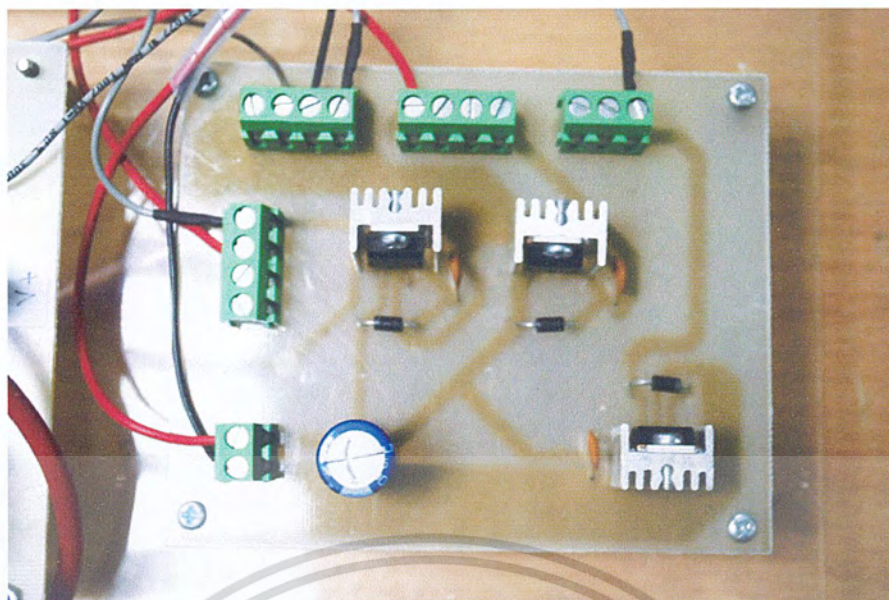
รูปที่ 4.39 แหล่งจ่ายจากแบตเตอรี่ 36 V

โครงการนี้ได้ใช้แหล่งจ่ายจากแบตเตอรี่ขนาด 36 V โดยการนำแบตเตอรี่ขนาด 12 V มาอนุกรมกันทั้งหมด 3 ก้อนเพื่อให้ได้ 36 V



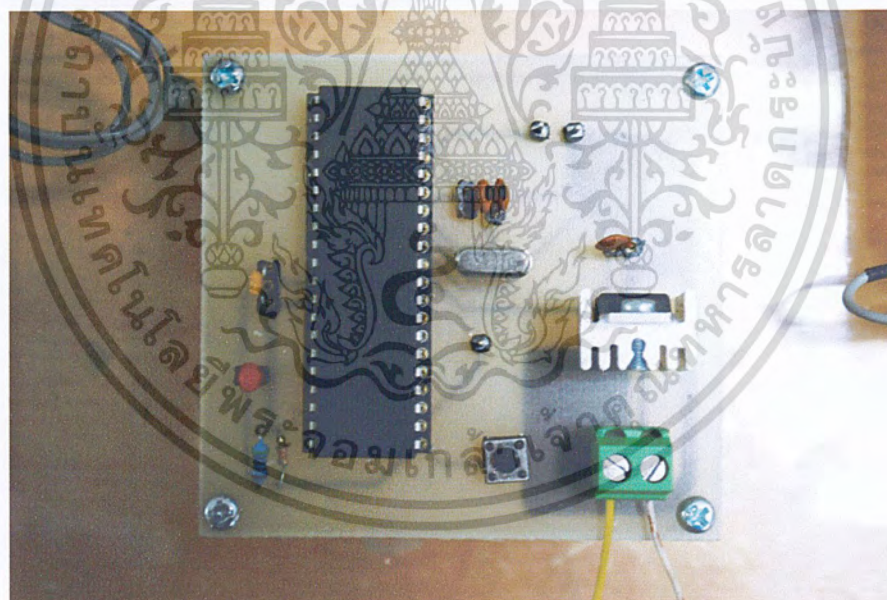
รูปที่ 4.40 วงจรสวิตช์แยกฝั่งควบคุมและฝั่งกำลังหลัก

เอกสารนี้เป็นเอกสารที่สงวนไว้สำหรับการใช้งานเพื่อการศึกษาเท่านั้น ไม่อนุญาตให้นำไปใช้ประโยชน์ด้านการค้า ไม่ว่าจะกรณีใดๆ ทั้งสิ้น อีกทั้งห้ามมิให้ตัดแปลงเนื้อหา และต้องอ้างอิงถึงเจ้าของเอกสารทุกครั้งที่มีการนำไปใช้



รูปที่ 4.41 วงจรไฟเลี้ยง

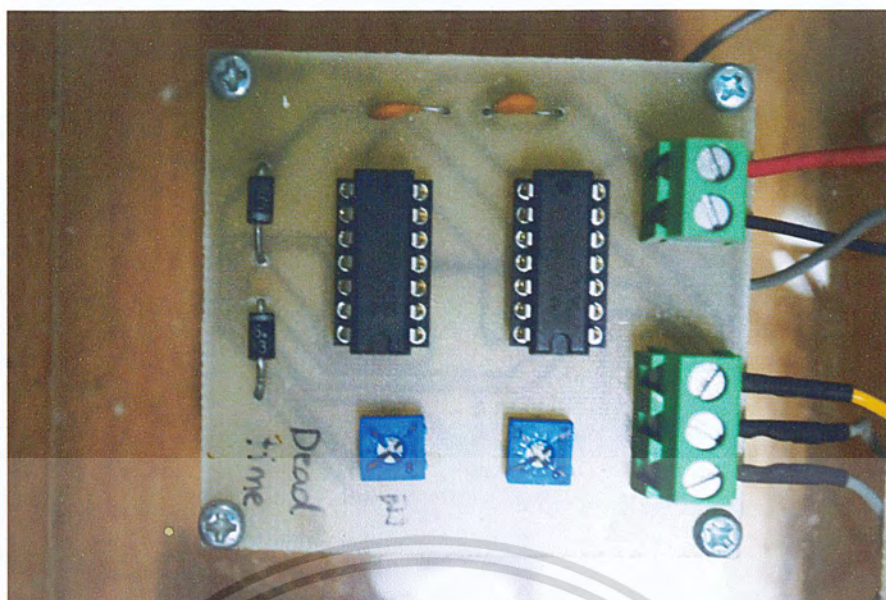
ในส่วนของวงจรไฟเลี้ยงได้ทำการแยกส่วนไฟเลี้ยง 5V, 15V และ ground ในการนำไฟเลี้ยงไปจ่ายให้กับอุปกรณ์ต่างๆ



รูปที่ 4.42 วงจรไมโครคอนโทรลเลอร์

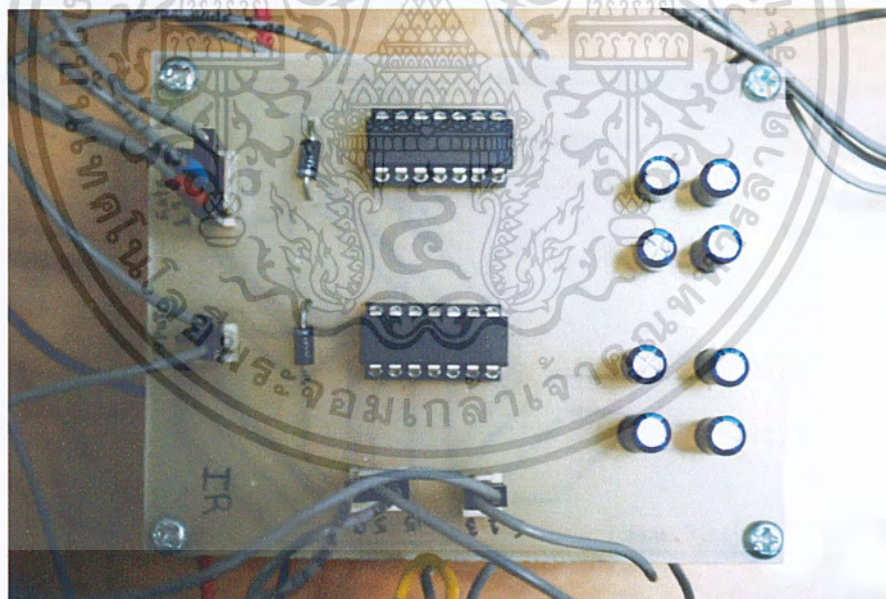
ในโครงการนี้ได้ใช้ไมโครคอนโทรลเลอร์ PIC16F877 สำหรับสร้างสัญญาณ SPWM และการควบคุมแบบพีไอ

เอกสารนี้เป็นเอกสารที่สงวนไว้สำหรับการใช้งานเพื่อการศึกษาเท่านั้น ไม่อนุญาตให้นำไปใช้ประโยชน์ด้านการค้าไม่ว่ากรณีใดๆ ทั้งสิ้น อีกทั้งห้ามมิให้ตัดแปลงเนื้อหา และต้องอ้างอิงถึงเจ้าของเอกสารทุกครั้งที่มีการนำไปใช้



รูปที่ 4.43 วงจรหน่วงเวลา

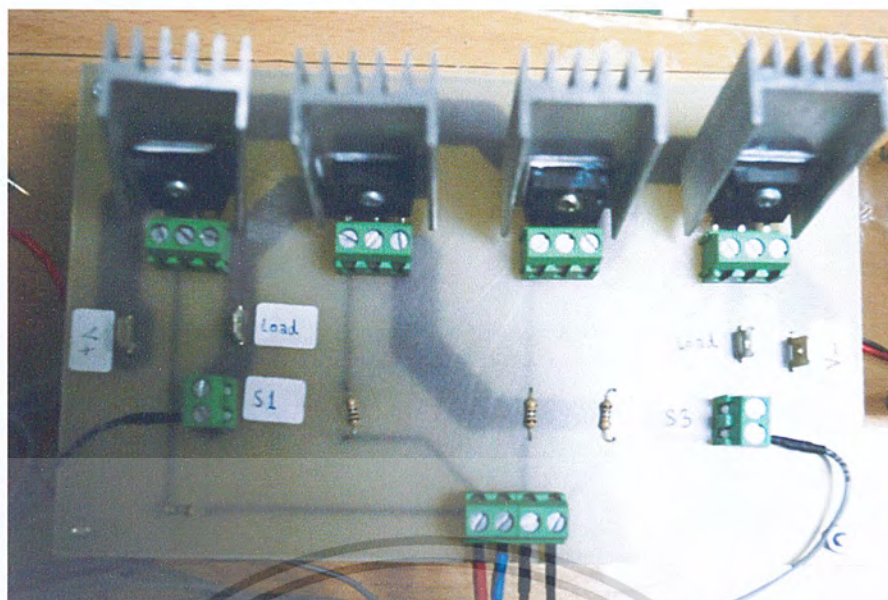
ในส่วนของวงจรหน่วงเวลา (Dead time) ได้รับสัญญาณจากไมโครคอนโทรลเลอร์เข้ามา ซึ่งจะทำให้การหน่วงเวลาของสัญญาณที่ได้โดยใช้คุณสมบัติของตัวเก็บประจุ เพื่อป้องกันการเกิดลัดวงจรเนื่องจากสัญญาณทับซ้อนกัน



รูปที่ 4.44 วงจรขั้วเกต

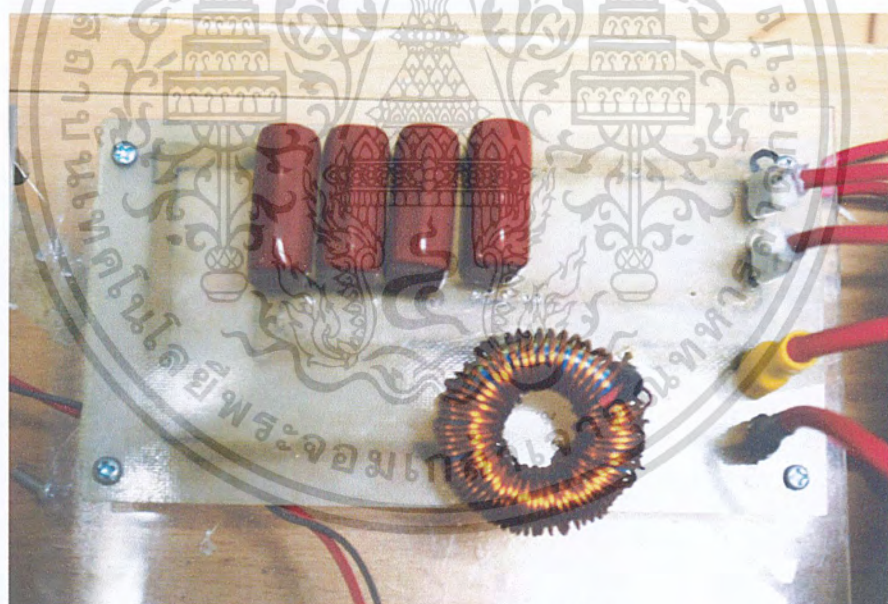
วงจรขั้วเกตเป็นวงจรที่ใช้ในการขยายสัญญาณของรูปคลื่นที่ออกมาจากวงจรหน่วงเวลาเพื่อให้สามารถนำไปขั้วขาเกตของมอสเฟตได้

เอกสารนี้เป็นเอกสารที่สงวนไว้สำหรับการใช้งานเพื่อการศึกษาเท่านั้น ไม่อนุญาตให้นำไปใช้ประโยชน์ด้านการค้า ไม่ว่าจะกรณีใดๆ ทั้งสิ้น อีกทั้งห้ามมิให้ตัดแปลงเนื้อหา และต้องอ้างอิงถึงเจ้าของเอกสารทุกครั้งที่มีการนำไปใช้



รูปที่ 4.45 วงจรฟูลบริดจ์อินเวอร์เตอร์

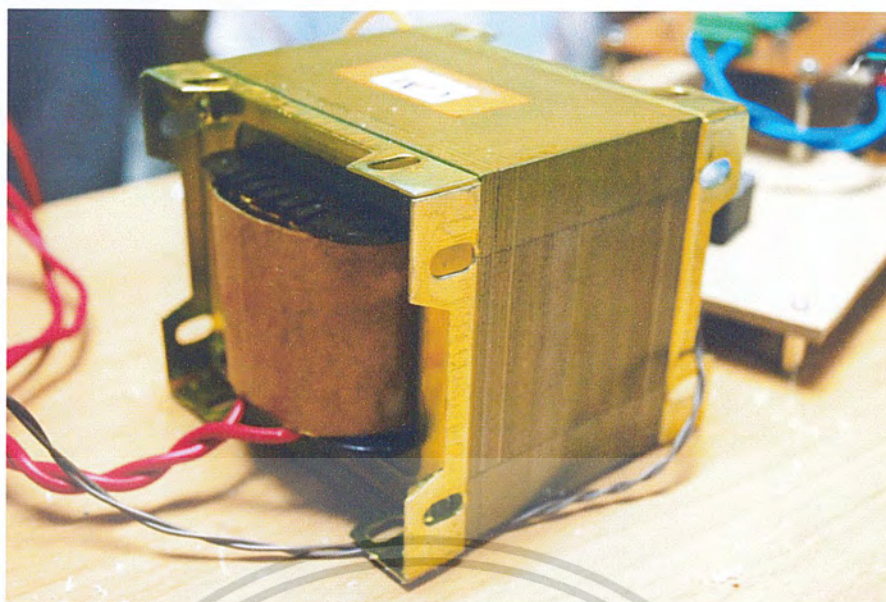
วงจรฟูลบริดจ์อินเวอร์เตอร์จะทำการแปลงไฟฟ้ากระแสตรงให้เป็นไฟฟ้ากระแสสลับ ส่วนด้านออกจะนำไปเข้าวงจรกรองความถี่สูงในส่วนต่อไป



รูปที่ 4.46 วงจรกรองความถี่สูง

วงจรกรองความถี่สูงเป็นวงจรที่ทำหน้าที่กรองรูปคลื่นที่มีฮาร์มอนิกลำดับสูงๆ(ความถี่สูงกว่าความถี่ตัดออฟ) ออก เพื่อให้ได้รูปคลื่นที่เหลือแต่ความถี่หลักมูล

เอกสารนี้เป็นเอกสารที่สงวนไว้สำหรับการใช้งานเพื่อการศึกษาเท่านั้น ไม่อนุญาตให้นำไปใช้ประโยชน์ด้านการค้า ไม่ว่าจะกรณีใดๆ ทั้งสิ้น อีกทั้งห้ามมิให้ตัดแปลงเนื้อหา และต้องอ้างอิงถึงเจ้าของเอกสารทุกครั้งที่มีการนำไปใช้



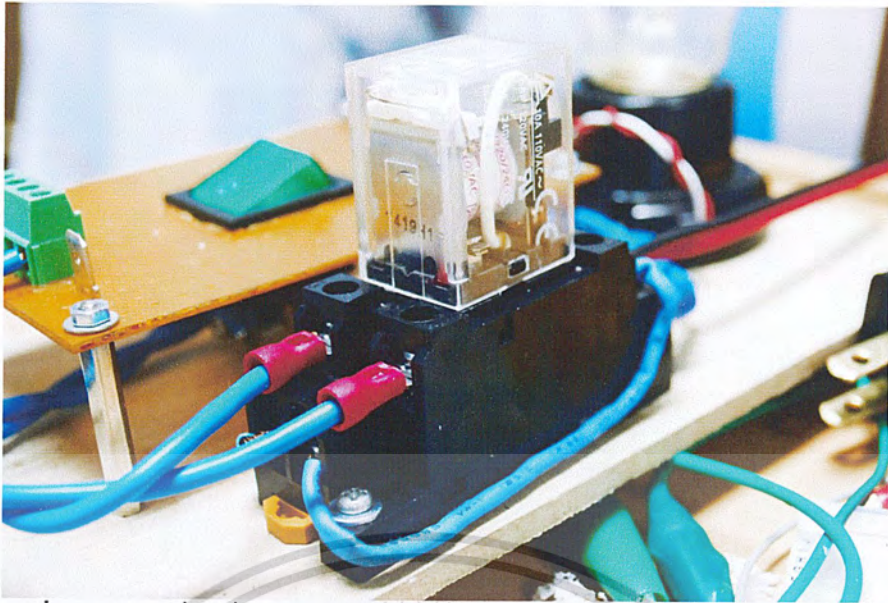
รูปที่ 4.47 หม้อแปลงเพิ่มระดับแรงดันไฟฟ้า

โครงการนี้ได้ใช้หม้อแปลงเพื่อเพิ่มระดับแรงดันไฟฟ้าให้ได้แรงดันไฟฟ้าตามที่ต้องการ เพื่อสามารถทำการจ่ายภาระทางไฟฟ้าต่างๆได้



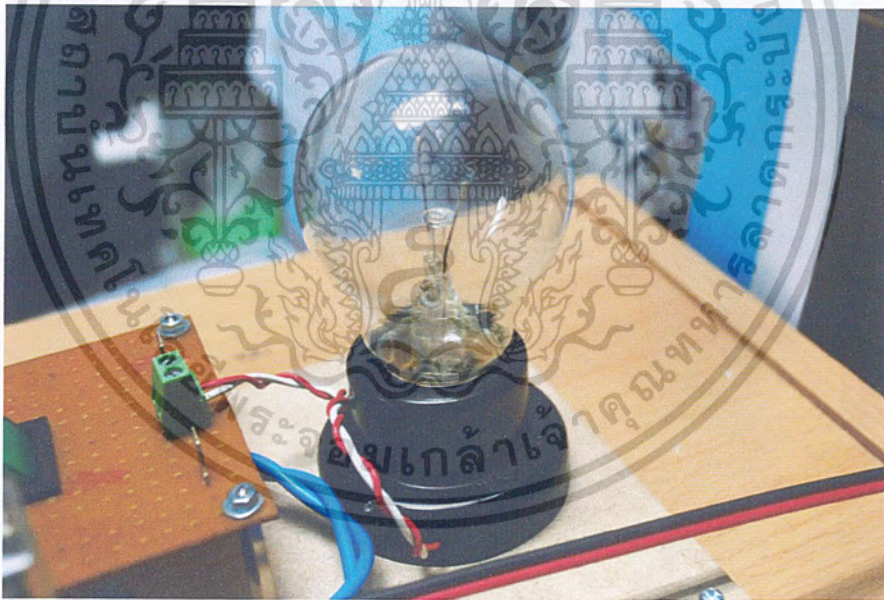
รูปที่ 4.48 สวิตช์เปิดปิดการเชื่อมต่อกับภาระทางไฟฟ้า

เอกสารนี้เป็นเอกสารที่สงวนไว้สำหรับการใช้งานเพื่อการศึกษาเท่านั้น ไม่อนุญาตให้นำไปใช้ประโยชน์ด้านการค้า ไม่ว่าจะกรณีใดๆ ทั้งสิ้น อีกทั้งห้ามมิให้ตัดแปลงเนื้อหา และต้องอ้างอิงถึงเจ้าของเอกสารทุกครั้งที่มีการนำไปใช้



รูปที่ 4.49 รีเลย์ที่ใช้เชื่อมต่อภาระทางไฟฟ้าระหว่างไฟยูพีเอสกับไฟจากการไฟฟ้า

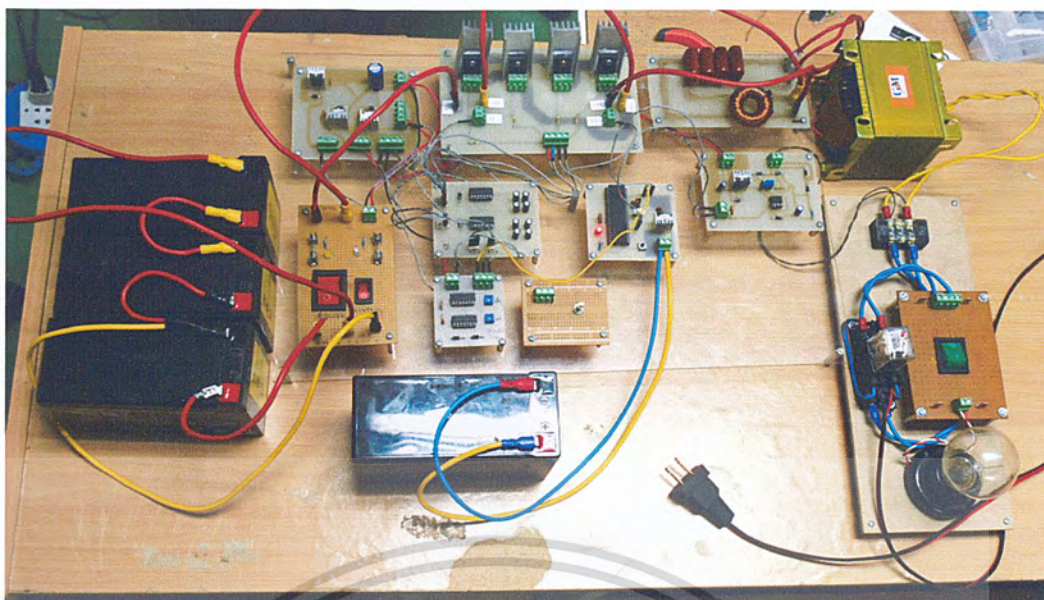
ซึ่งในการเปลี่ยนแหล่งจ่ายไฟระหว่างไฟจากการไฟฟ้ากับไฟจากยูพีเอสในโครงการนี้ได้ใช้รีเลย์เป็นตัวสวิตซ์แหล่งจ่าย



รูปที่ 4.50 ภาระทางไฟฟ้า

ในโครงการนี้ได้ใช้ภาระทางไฟฟ้าเป็นหลอดไฟฟ้าที่มีขนาดกำลังไฟฟ้าต่างๆกันในการทดลอง

เอกสารนี้เป็นเอกสารที่สงวนไว้สำหรับการใช้งานเพื่อการศึกษาเท่านั้น ไม่อนุญาตให้นำไปใช้ประโยชน์ด้านการค้าไม่ว่ากรณีใดๆ ทั้งสิ้น อีกทั้งห้ามมิให้ตัดแปลงเนื้อหา และต้องอ้างอิงถึงเจ้าของเอกสารทุกครั้งที่มีการนำไปใช้



รูปที่ 4.51 รูปวงจรรวมของโครงการ

#### 4.4.12สรุปผลการทดลอง

จากการทดลองเมื่อทำการจ่ายภาระทางไฟฟ้าต่างๆ เครื่องสำรองไฟฟ้าที่ทดลองสามารถจ่ายภาระต่างๆได้ โดยยิ่งภาระทางไฟฟ้ามากก็จะทำให้แรงดันตกมากขึ้นและเกิดความผิดเพี้ยนของรูปคลื่นมากขึ้นตามดั่งการทดลอง แต่โดยภาพรวมแล้วก็ยังสามารถจ่ายแรงดันให้กับภาระทางไฟฟ้าต่างๆได้ ซึ่งเป็นไปตามแนวทางที่ตั้งไว้ และเมื่อทำการควบคุมแรงดันด้วยการควบคุมแบบพีไอ ก็จะสามารถคงสถานะค่าแรงดันไว้ได้ตามที่ได้ออกแบบไว้ได้ ทำให้สามารถจ่ายภาระทางไฟฟ้าได้เมื่อเกิดปัญหาทางระบบไฟฟ้า

## บทที่ 5

### สรุปผลและเสนอแนวทางในการพัฒนา

#### 5.1 สรุปผลของโครงการ

จากผลการทดลอง โดยใช้สัญญาณขับพูลบริดจ์อินเวอร์เตอร์แบบ SPWM (Sinusoidal pulse width modulation) ที่ความถี่ 10 kHz โดยผ่านตัวกรองความถี่สูงซึ่งอาศัยตัวเหนี่ยวนำและตัวเก็บประจุ (LC Filter) ซึ่งจะได้สัญญาณเป็นรูปคลื่นไซน์แล้วผ่านหม้อแปลงยกกระดบแรงดันเป็น 220 VRMS เพื่อทำการจ่ายภาระทางไฟฟ้า ซึ่งพบว่าขณะทำการจ่ายภาระทางไฟฟ้าจะมีกระแสไหลผ่าน จะเกิดแรงดันตกภายในอุปกรณ์ต่างๆ และทำให้แรงดันที่ภาระไฟฟ้ตกตามไปด้วยซึ่งจะส่งผลกระทบต่อการทำงานของภาระทางไฟฟ้า

การควบคุมแรงดันไฟฟ้าโดยใช้การควบคุมแบบพีไอ (PI Controller) ซึ่งเป็นการควบคุมที่ใช้ในโครงการนี้ โดยที่ระบบนั้นจะสามารถรักษาระดับแรงดันให้คงที่ และทำให้สัญญาณแรงดันมีเสถียรภาพ เมื่อมีการเปลี่ยนแปลงภาระทางไฟฟ้าระบบนั้นก็ยังคงสามารถรักษาระดับแรงดันและเสถียรภาพของระบบได้ ในทางกลับกันระบบที่ไม่มีตัวควบคุมในการบ่อนกลับนั้น เมื่อมีการเปลี่ยนแปลงภาระทางไฟฟ้าจะไม่สามารถรักษาระดับแรงดันให้คงที่ได้ตามที่ต้องการ

#### 5.2 ข้อเสนอแนะ

ขณะทำการจ่ายโหลด จะเกิดแรงดันตกคร่อมขึ้นที่เกิดขึ้นที่มอสเฟตเนื่องจากค่าความต้านทานภายใน และความต้านทานของตัวเหนี่ยวนำ ซึ่งทำให้แรงดันของแหล่งจ่ายไฟฟ้านั้นตก ซึ่งทำให้โหลดไม่สามารถทำงานได้อย่างเต็มประสิทธิภาพ และผลของกระแสที่เพิ่มขึ้นนั้น จะทำให้กระแสเกินพิกัดของอุปกรณ์สวิตช์หรือมอสเฟตที่คำนวณไว้ในขั้นแรก จึงเป็นผลให้มอสเฟตที่อินเวอร์เตอร์เกิดความร้อนและเกิดความเสียหายได้

#### 5.3 แนวทางในการพัฒนา

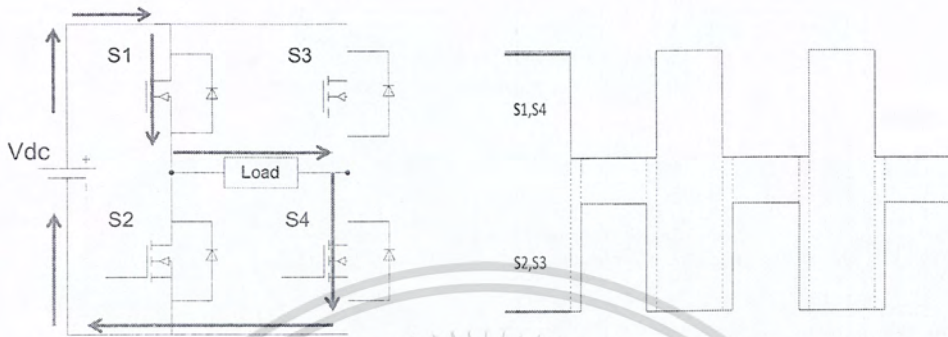
การออกแบบตัวกรองความถี่สูง (LC filter) ควรออกแบบให้มีการกรองความถี่สูงที่เหมาะสม ซึ่งจะทำให้ขนาดของตัวเหนี่ยวนำเล็กลงและช่วยให้ความต้านทานต่ำลงตามไปด้วย และในการออกแบบอุปกรณ์ป้องกันสวิตช์ ควรใส่วงจรถนั้บเบอร์คร่อมสวิตช์เพื่อช่วยในการลดสไปซ์หรือแรงดันเกินที่มอสเฟต และในการเลือกใช้งานมอสเฟตควรเลือกใช้ค่าพิกัดของแรงดันและกระแสให้เหมาะสม โดยกำหนดค่าให้สูงกว่าค่าที่ออกแบบไว้ เพื่อป้องกันระดับแรงดันและกระแสเกินที่เกิดขึ้น ซึ่งจะทำให้อุปกรณ์นั้นเสียหายได้



เอกสารนี้เป็นเอกสารที่สงวนไว้สำหรับการใช้งานเพื่อการศึกษาเท่านั้น ไม่อนุญาตให้นำไปใช้ประโยชน์ด้านการค้า  
ไม่ว่ากรณีใดๆ ทั้งสิ้น อีกทั้งห้ามมิให้ดัดแปลงเนื้อหา และต้องอ้างอิงถึงเจ้าของเอกสารทุกครั้งที่มีการนำไปใช้

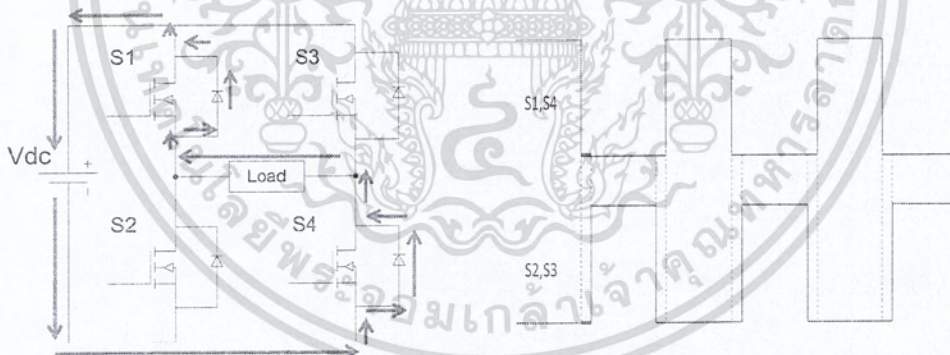
ภาคผนวก ก  
การวิเคราะห์สมการโหมดการทำงาน

โหมดการทำงานที่ 1



ในโหมดการทำงานนี้ สวิตช์มอสเฟต (Mosfet) ตัวที่ 1 และ ตัวที่ 4 จะทำการ ปิดสวิตช์ ในขณะที่ สวิตช์มอสเฟต ตัวที่ 2 และ ตัวที่ 3 เปิดสวิตช์ เนื่องจากสัญญาณขั้วเกิด ทำให้กระแสไหลผ่าน สวิตช์มอสเฟต ตัวที่ 1 และ ตัวที่ 4 ดังรูปทำให้  $V_{Load} = V_{dc}$

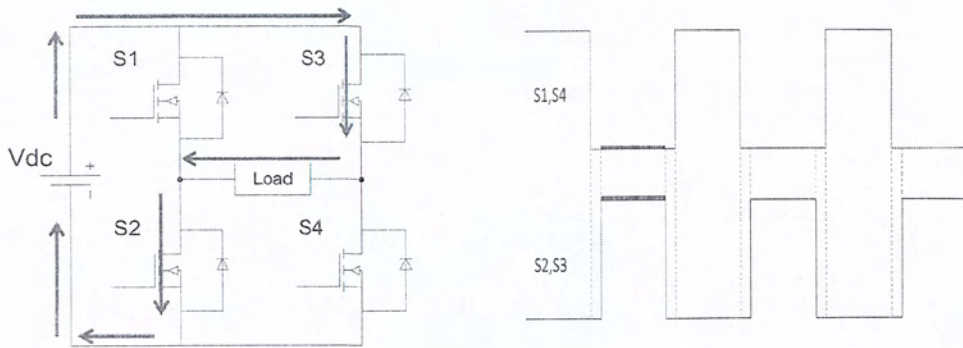
โหมดการทำงานที่ 2



ในโหมดการทำงานนี้ เป็นโหมดการทำงานในช่วง Dead Time ของวงจร ซึ่งสวิตช์มอสเฟต ตัวที่ 1, 2, 3 และ ตัวที่ 4 จะทำการ เปิดสวิตช์ เนื่องจากสัญญาณขั้วเกิด แต่เนื่องจากผลของตัวเหนี่ยวนำ L หรือ di/dt ทำให้กระแสเปลี่ยนแปลงทันทีทันใดไม่ได้ จึงมีกระแสไหลย้อนผ่านไดโอดที่คู่ร่วม สวิตช์มอสเฟต ตัวที่ 1 และ ตัวที่ 4 ดังรูปทำให้  $V_{Load} = -V_{dc}$

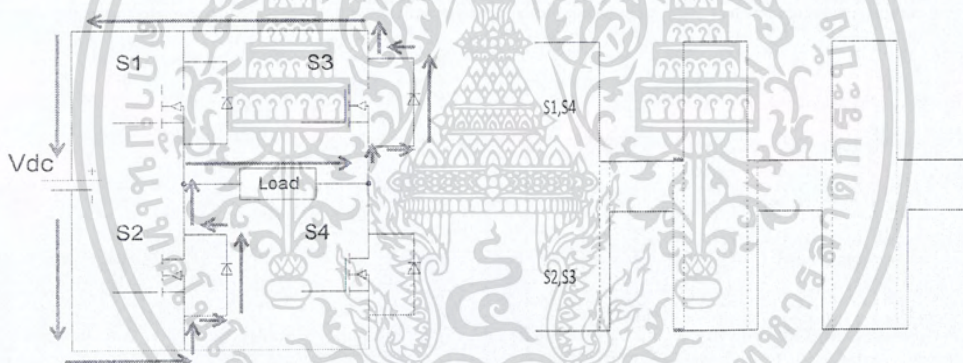
เอกสารนี้เป็นเอกสารที่สงวนไว้สำหรับการใช้งานเพื่อการศึกษาเท่านั้น ไม่อนุญาตให้นำไปใช้ประโยชน์ด้านการค้าไม่ว่ากรณีใดๆ ทั้งสิ้น อีกทั้งห้ามมิให้ตัดแปลงเนื้อหา และต้องอ้างอิงถึงเจ้าของเอกสารทุกครั้งที่มีการนำไปใช้

### โหมดการทำงานที่ 3



ในโหมดการทำงานนี้ สวิตช์มอสเฟต ตัวที่ 2 และ ตัวที่ 3 จะทำการ ปิดสวิตช์ ในขณะที่ สวิตช์มอสเฟต ตัวที่ 1 และ ตัวที่ 4 เปิดสวิตช์ เนื่องจากสัญญาณขั้วเบส ทำให้กระแสไหลผ่าน สวิตช์มอสเฟต ตัวที่ 2 และ ตัวที่ 3 ทำให้  $V_{Load} = -V_{dc}$

### โหมดการทำงานที่ 4



ในโหมดการทำงานนี้ เป็นโหมดการทำงานในช่วง Dead Time ของวงจร ซึ่งสวิตช์ mosfet ตัวที่ 1, 2, 3 และ ตัวที่ 4 จะทำการ เปิดสวิตช์ เนื่องจากสัญญาณขั้วเบส แต่เนื่องจาก ผลของ L หรือ  $di/dt$  ทำให้กระแสเปลี่ยนแปลงทันทีทันใดไม่ได้ จึงมีกระแสไหลย้อนผ่านไดโอด ที่คร่อมสวิตช์มอสเฟต ตัวที่ 2 และ ตัวที่ 3 ดังรูปทำให้  $V_{Load} = -V_{dc}$



เอกสารนี้เป็นเอกสารที่สงวนไว้สำหรับการใช้งานเพื่อการศึกษาเท่านั้น ไม่อนุญาตให้นำไปใช้ประโยชน์ด้านการค้า  
ไม่ว่ากรณีใดๆ ทั้งสิ้น อีกทั้งห้ามมิให้ตัดแปลงเนื้อหา และต้องอ้างอิงถึงเจ้าของเอกสารทุกครั้งที่มีการนำไปใช้

### บรรณานุกรม

- [1] Ali Emadi, Abdolhosein Nasiri and Stoyan B., **Uninterruptible power supplies and active filters**, Boca Raton : CRC Press, c2005
- [2] มนัส สังวรศิลป์ และ วรรัตน์ ภัทรอมรกุล, **คู่มือการใช้งาน MATLAB ฉบับสมบูรณ์**, กรุงเทพฯ, สนพ. อินโฟเพรส, 2543.
- [3] รศ.ร.อ.ดร.วีระเชษฐ์ ชันเงิน และ วุฒิพล ธาราธีรเศรษฐ์, **อิเล็กทรอนิกส์กำลัง**, พิมพ์ ครั้งที่ 4, ห้างหุ้นส่วนจำกัด วิ.เจ.พรินต์ติ้ง, 2549.
- [4] ชำนาญ โกยทรัพย์, **การออกแบบตัวควบคุมแบบการจัดสัญญาณของรอบ  $H_{\infty}$  สำหรับอินเวอร์เตอร์ของยูทีไอส์แบบเฟสเดียว**, บทความเสนอในการสัมมนาวิชา MI, 2551.
- [5] ชวตชัย สันภัย และ วิรัตน์ สุตรมย์, **“เครื่องปรับแรงดันไฟฟ้าในบ้านให้คงที่และมีประสิทธิภาพสูง”** วิทยานิพนธ์วิศวกรรมศาสตรบัณฑิต, มหาวิทยาลัยขอนแก่น, 2545.
- [6] จิรพัฒน์ เพ็ญพิมพ์ ไชยกร เจริญวิทย์ ฐานวีร์ บุญวงษ์ และ ฌวรา ชนยุท, **“แหล่งจ่ายกำลังไฟฟ้าต่อเนื่อง”**, วิทยานิพนธ์วิศวกรรมศาสตรบัณฑิต, สถาบันเทคโนโลยีพระจอมเกล้าเจ้าคุณทหารลาดกระบัง, 2549.
- [7] สมยศ เกียรติวนิชวิไล, **“การวิเคราะห์และออกแบบสัญญาณควบคุมพีดีบิลิเอมอินเวอร์เตอร์ 3 เฟสโดยใช้โปรแกรม MATLAB”**, วิทยานิพนธ์วิศวกรรมศาสตรมหาบัณฑิต, สถาบันเทคโนโลยีพระจอมเกล้าเจ้าคุณทหารลาดกระบัง, 2537.

เอกสารนี้เป็นเอกสารที่สงวนไว้สำหรับการใช้งานเพื่อการศึกษาเท่านั้น ไม่อนุญาตให้นำไปใช้ประโยชน์ด้านการค้าไม่ว่ากรณีใดๆ ทั้งสิ้น อีกทั้งห้ามมิให้ตัดแปลงเนื้อหา และต้องอ้างอิงถึงเจ้าของเอกสารทุกครั้งที่มีการนำไปใช้

## ประวัติผู้เขียน



นาย อติปตย์ จันทรดี เกิดวันที่ 13 สิงหาคม พ.ศ. 2531  
 ที่อยู่ 79/3 ม.7 ต.บางจาก อ.เมือง จ.นครศรีธรรมราช 80330  
 ปัจจุบันกำลังศึกษาในระดับปริญญาตรี ภาควิชาวิศวกรรมไฟฟ้า  
 คณะวิศวกรรมศาสตร์ สถาบันเทคโนโลยีพระจอมเกล้าเจ้าคุณทหารลาดกระบัง  
 เบอร์โทรศัพท์ 085-9034232  
 Email: atip7@hotmail.com



นาย อภินันท์ จตุพรสมบัติ เกิดวันที่ 27 เมษายน พ.ศ. 2532  
 ที่อยู่ 74 ซ.รังสิต - ปทุมธานี 14 ต.ประชาธิปัตย์ อ.ธัญบุรี  
 จ.ปทุมธานี 12130  
 ปัจจุบันกำลังศึกษาในระดับปริญญาตรี ภาควิชาวิศวกรรมไฟฟ้า  
 คณะวิศวกรรมศาสตร์ สถาบันเทคโนโลยีพระจอมเกล้าเจ้าคุณทหารลาดกระบัง  
 เบอร์โทรศัพท์ 084-2089207  
 Email: apinun\_99@hotmail.com



นาย อานนท์ สันทนะสุวรรณ เกิดวันที่ 18 พฤษภาคม พ.ศ. 2532  
 ที่อยู่ 223/110 ซ.วัดอัมพวา ถ.เจริญสุขุมวิท แขวงบ้านช่างหล่อ เขตบางกอก  
 น้อย กรุงเทพมหานคร 10700  
 ปัจจุบันกำลังศึกษาในระดับปริญญาตรี ภาควิชาวิศวกรรมไฟฟ้า  
 คณะวิศวกรรมศาสตร์ สถาบันเทคโนโลยีพระจอมเกล้าเจ้าคุณทหารลาดกระบัง  
 เบอร์โทรศัพท์ 089-1772380  
 Email: popaia@hotmail.com

เอกสารนี้เป็นเอกสารที่สงวนไว้สำหรับการใช้งานเพื่อการศึกษาเท่านั้น ไม่อนุญาตให้นำไปใช้ประโยชน์ด้านการค้า  
 ไม่ว่าจะกรณีใดๆ ทั้งสิ้น อีกทั้งห้ามมิให้ตัดแปลงเนื้อหา และต้องอ้างอิงถึงเจ้าของเอกสารทุกครั้งที่มีการนำไปใช้